



TUGAS AKHIR – TM141585

**ANALISIS KINERJA TRAKSI DAN *REDESIGN RASIO
TRANSMISI PADA PANSER ANOA APC 3 6X6***

MUHAMAD JOHAN PUTRA PRASETYA
NRP. 2111100176

Dosen Pembimbing:
Prof. Ir. I Nyoman Sutantra, M.Sc., Ph.D

PROGRAM SARJANA
JURUSAN TEKNIK MESIN
FAKULTAS TEKNOLOGI INDUSTRI
INSTITUT TEKNOLOGI SEPULUH NOPEMBER
SURABAYA 2017



FINAL PROJECT – TM141585

**TRACTION PERFORM ANALYSIS AND TRANSMISSION
RATIO REDESIGN FOR PANJER ANOA APC 3 6X6**

MUHAMAD JOHAN PUTRA PRASETYA
NRP. 2112100176

Advisory Lecturer
Prof. Ir. I Nyoman Sutantra ,M.Sc., Ph.D

BACHELOR PROGRAM
DEPARTMENT OF MECHANICAL ENGINEERING
FACULTY OF INDUSTRIAL TECHNOLOGY
SEPULUH NOPEMBER INSTITUTE OF TECHNOLOGY
SURABAYA

**ANALISA KINERJA TRAKSI DAN *REDESIGN RASIO*
TRANSMISI PADA PANSER ANOA APC 3 6X6**

TUGAS AKHIR

Diajukan Untuk Memenuhi Salah Satu Syarat
Memperoleh Gelar Sarjana Teknik
pada

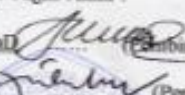
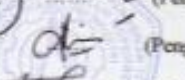
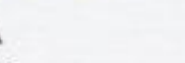
Program Studi S-1 Jurusan Teknik Mesin
Fakultas Teknologi Industri
Institut Teknologi Sepuluh Nopember

Oleh :

MUHAMAD JOHAN PUTRA PRASETYA

NRP. 2111100 176

Disetujui oleh Tim Pengaji Tugas Akhir :

1. Prof. Ir. I Nyoman Sutantra, MSc, PhD 
(Penulis) NIP. 195106051978031002
2. Ir. Julendra Bombang Aristedja, M.T 
(Pengaji I) NIP. 196807061999031004
3. Aida Annisa Amin D., ST., MT. 
(Pengaji II) NIP. 198907052015042005
4. Dr. Agus Sigit Pramono, DEA 
(Pengaji III) NIP. 196508101991021001

SURABAYA
JANUARI, 2017

ANALISIS KINERJA TRAKSI DAN REDESIGN RASIO TRANSMISI PADA PANSEN ANOA APC 3 6x6

Nama Mahasiswa : Muhamad Johan Putra Prasetya
NRP : 2111100176
Jurusan : Teknik Mesin FTI-ITS
Dosen Pembimbing : Prof.Ir.I Nyoman Sutantra M.Sc.,Ph.D

Abstrak

Perindustrian di bidang kendaraan militer saat ini sudah sangat maju.PT.PINDAD sebagai produsen utama alat alat kemiliteran untuk Indonesia harus mempunyai kemampuan untuk memproduksi alat militer yang canggih agar tidak ketinggalan oleh negara lain di bidang kemiliteran. Panser buatan russia yang mampu melalui tanjakan dengan sudut kemiringan hingga 60 derajat (<http://englishrussia.com/2012/06/17/hellish-vehicles-under-control/> ,diakses tanggal 21 januari 2017).Salah satu produk dari PT.PINDAD adalah Panser ANOA APC yang merupakan kendaraan untuk kebutuhan militer dari negara Indonesia.Dari informasi yang di dapat dari PT.PINDAD bahwa Panser ANOA APC 3 6x6 memiliki permasalahan yaitu terbatasnya kemampuan panser untuk menanjak pada jalan dengan gradeability rendah

Dalam penelitian ini, penulis melakukan dua tahapan pengujian.Tahap pertama, dilakukan analisa karakteristik panser anoa apc 3 6x6 pada kondisi standar. Selanjutnya tahap kedua dilakukan evaluasi terhadap grafik karakteristik traksi kondisi rasio panser anoa apc 3 6x6 standar, dilanjutkan dengan proses redesign tingkat transmisi untuk mengoptimalkan kinerja panser anoa apc 3 6x6 menggunakan teori progressi geometri.

Dari penelitian ini diperoleh grafik karakteristik traksi mobil untuk kondisi rasio gigi standar serta hasil redesign dengan 5,6 dan 7 tingkat kecepatan. Setelah dilakukan analisa, ternyata

kendaraan Panser ANOA APC 3 6x6 tidak dapat melewati jalan dengan gradeability 40% dan 50%. Hasil redesign dengan menggunakan teori progressi geometry menunjukan bahwa panser ANOA APC 3 6x6 mampu melewati jalanan dengan gradeability 40% tetapi panser ANOA APC 3 6x6 masih belum mampu melewati tanjakan dengan gradeability 50% dikarenakan setelah dilakukan redesign,gaya traksi maksimum yang di hasilkan oleh panser adalah 58,82 kN untuk 5 dan 6 tingkat kecepatan sedangkan untuk 7 tingkat kecepatan 59,468 kN yang tidak lebih besar dari gaya hambat tanjakan pada gradeability 50% yaitu sebesar 60,542 kN.

Kata kunci : karakteristik traksi, Panser ANOA APC 3 6x6, automatic transmission, redesign, rasio transmission, progressi geometry ,gradeability

**TRACTION PERFORM ANALYSIS AND
TRANSMISSION RATIO REDESIGN FOR PANSER
ANOA APC 3 6X6**

Name : Muhamad Johan Putra Prasetya
NRP : 2111100176
Departement : Teknik Mesin FTI-ITS
Advisor Lecturer : Prof.Ir.I Nyoman Sutantra M.Sc.,Ph.D

Abstract

Industry in military vehicles is already so advanced from now on. PT. PINDAD as one of the producer military vehicle in Indonesia must be having technology to produce a sophisticated vehicle that wasn't fall behind to other's country. Russia's Panser is already so advanced it is able to pass through a 60^o gradient tracks (<http://englishrussia.com/2012/06/17/hellish-vehicles-under-control/10/>, diakses tanggal 21 januari 2017). One of the product of PT. PINDAD is Panser ANOA APC which is a military vehicle for military needed in Indonesia. The information from PT. PINDAD says that Panser ANOA PAC 3 6x6 is limited to some road with low gradeability.

In this research, the writers do two methods experiment research. The first method was characteristic analysis Panser Anoa APC 3 6x6 in standart condition, the next method was evaluation from the characteristic ratio Panser Anoa APC 3 6x6 standart traction graphics, continued with the redesign transmition process to optimize the performance of Panser Anoa APC 3 6x6 using progressions geometry theory.

From this research, the traction characteristic graphics for standart gear ratio and the redesign result for 5,6, and 7 level speed was obtained. After being analyzed, it is known that Panser Anoa APC 3 6x6 isn't able to pass throgh the tracks with 40% and 50% gradeability. The redesign with progresstion theory shown

that Panser ANOA APC 3 6x6 is able to pass through the tracks with 40% greadability but isn't able to pass through the tracks with 50% greadability. Even after the redesign process, the maximum traction force produced from Panser is 58,82 kN for 5 and 6 level of speed, while for 7 level of speed is 59,468 kN which is still smaller compared to drag force in 50% gradeability that was 60,542 kN.

Keywords : Traction Characteristic, Panser ANOA APC 3 6x6, automatic transmission, redesign, rasio transmission, progressi geometry, gradeability.

KATA PENGANTAR

Puji syukur kehadirat Allah Subhannahuata'alla hanya karena tuntunan-Nya penulis dapat menyelesaikan Tugas Akhir ini. Tugas Akhir ini disusun untuk memenuhi persyaratan kelulusan pendidikan Sarjana S-1 di Jurusan Teknik Mesin, Fakultas Teknologi Industri, Institut Teknologi Sepuluh Nopember Surabaya.

Penyusunan Tugas Akhir ini dapat terlaksana dengan baik atas bantuan dan kerjasama dari berbagai pihak. Pada kesempatan ini penulis ingin mengucapkan terima kasih kepada:

1. Orang tua penulis,Ayah Husaini Machmud dan Ibu Sandra Aviani, yang selalu memberi semangat dan do'a untuk penulis.
2. Prof.Ir.I Nyoman Sutantra yang selalu memberikan dan arahan dalam semua penulisan Tugas Akhir ini.
3. Diri penulis sendiri, karena tanpa diri penulis sendiri segala hal yang dikerjakan, semua bantuan dan kerjasama dari berbagai pihak tidak akan terjadi.
4. Pak Suwardiyono PT.PINDAD kepala bagian *drive train* yang telah memberikan ilmu,data-data yang di perlukan untuk menunjang studi kasus dalam Tugas Akhir ini.
5. Saudari kandung,Sribuginda Dwi Andriani,Andriana Tri Saputri dan Amanda Ayu Dewi Andriciana terima kasih selalu ada di saat-saat sulit.
6. Idabagus Putu Putra Mahartana dan Muhamad Jundulloh,yang selalu siap untuk membantu penulis dalam menyelesaikan Tugas Akhir ini.
7. Sahabat Kontrakkan F-22A,terima kasih canda tawanya dalam masa-masa kritis kehidupan kampus.
8. Dessy kusumayanti, Terima kasih karena selalu ada dan setia menemani penulis di masa-masa sulit hidup penulis termasuk saat pembuatan Tugas Akhir ini.
9. Sahabat tercinta, Iqbal Januari, Andhika Antrada, Aditya Affandi, Tranggana Nugraha, Fachri Askar, Ibrahim Risyad, Ahmad Malik, Gweta Saldana, Wianty, Armeita Lestari, Dewi

- Paramita, terima kasih atas canda tawa yang diberikan untuk penulis.
10. Kawan-Kawan Fossil M54, terima kasih kebersamaannya dalam masa-masa kritis kehidupan di kampus.
 11. Seluruh keluarga penulis yang tidak bisa di sebutkan satu persatu.

Dengan segala keterbatasan kemampuan serta pengetahuan penulis, tidak menutup kemungkinan Tugas Akhir ini jauh dari sempurna. Oleh karena itu, penulis bersedia menerima kritik dan saran dari berbagai pihak untuk penyempurnaan lebih lanjut. Semoga hasil penulisan Tugas Akhir ini dapat bermanfaat bagi semua pihak.

Surabaya, Januari 2017

Penulis

DAFTAR ISI

HALAMAN JUDUL	
LEMBAR PENGESAHAN	
ABSTRAK	i
ABSTRACT	iii
KATA PENGANTAR	v
DAFTAR ISI	vii
DAFTAR GAMBAR	xi
DAFTAR TABEL	xiii

BAB I PENDAHULUAN

1.1. Latar Belakang	1
1.2. Rumusan Masalah	2
1.3. Tujuan	2
1.4. Batasan Masalah	2
1.5. Manfaat	3

BAB II TINJAUAN PUSTAKA

2.1 Kinerja Traksi Kendaraan.....	5
2.2 Penelitian Terdahulu.....	5
2.3 Dinamika Kendaraan.....	10
2.3.1 Gaya Hambat Kendaraan.....	10
2.3.1.1 Gaya hambat Aerodinamik(<i>drag</i>)	11
2.3.1.2 Gaya hambat <i>rolling</i> (<i>rolling resistance</i>)	12
2.3.1.3 Gaya Hambat Tanjakan.....	14
2.3.2 Gaya Dorong Kendaraan	17
2.3.3 Kecepatan dan Percepatan Kendaraan	19
2.4 Karakteristik Transmisi Kendaraan	21
2.5 Karakteristik Kinerja <i>engine</i> Panser ANOA APC 3 6x6 Dxi7 renault truck defence	22
2.6 Desain Tingkat gigi(Progressi Geometris).....	23
2.7 Komponen Penyalur Daya.....	24
2.7.1 Tipe Penyalur daya(<i>drive train</i>) berdasarkan gerak roda	24

2.7.1.1 <i>differential</i>	25
2.7.1.2 <i>Transfer case</i>	26
2.7.1.3 <i>Locking Hub</i>	27
2.7.2 Komponen Penyalur Daya Jenis <i>Automatic Transmission</i>	27
BAB III METODOLOGI	
3.1 Metode Penelitian	29
3.2 Tahap Studi Literatur	31
3.3 <i>Flowchart</i> Perhitungan.....	31
3.3.1 <i>Flowchart</i> Perhitungan Gaya Hambat Kendaraan	31
3.3.2 <i>Flowchart</i> Perhitungan Gaya Dorong Kendaraan 5 Tingkat Kecepatan	33
3.3.3 <i>Flowchart</i> Perhitungan Rasio dan Tingkat Gigi Transmisi	35
3.4 Spesifikasi Panser ANOA APC 3 6x6	36
3.4.1 Informasi Umum.....	36
BAB IV ANALISI DATA DAN PEMBAHASAN	
4.1 Pperhitungan Gaya Dorong Kendaraan	39
4.1.1 Perhitungan Gaya Hambat Udara	39
4.1.2 Perhitungan Gaya Hambat <i>rolling (rr)</i>	40
4.1.3 Perhitungan Gaya Hambat Tanjakan	41
4.1.4 Perhitungan Gaya Dorong Standar Panser ANOA APC 3 6x6	42
4.2 Karakteristik Traksi Panser ANOA APC 3 6x6 Standar.....	44
4.3 Perhitungan Rasio Transmisi(Teori progressi geometri)....	47
4.3.1 Menentukan Tingkat Gigi Pertama.....	48
4.3.2 Menentukan Rasio gigi Tingkat Akhir	49
4.3.3 Menentukan Tingkatan Rasio Gigi	50
4.4 Hasil <i>redesign</i> Traksi Panser	51
4.4.1 Karakteristik Traksi Panser 5 Tingkat Kecepatan.....	51
4.4.2 Karakteristik Traksi Panser 6 Tingkat Kecepatan.....	54
4.4.3 Karakteristik Traksi Panser 7 Tingkat Kecepatan.....	56
4.5 Hasil dari Analisis	57

BAB V KESIMPULAN DAN SARAN

5.1 Kesimpulan.....	59
5.2 Saran.....	60

DAFTAR PUSTAKA	61
-----------------------------	----

LAMPIRAN.....	65
----------------------	----

BIODATA PENULIS

“Halaman ini sengaja dikosongkan”

DAFTAR GAMBAR

Gambar 2.1	Hasil desain rasio transmisi mobil GEA	6
Gambar 2.2	Grafik karakteristik traksi kijang 1997 standar (a)4 tingkat,hasil <i>redesign</i> ,(b)5 tingkat,(c) 6 tingkat dan (d) 10 tingkat.....	7
Gambar 2.3	3 Grafik karakteristik Toyota fortuner 4.0 V6 SR standar (a) 5 tingkat kecepatan, hasil <i>redesign</i> (b) 5 tingkat kecepatan (c) 6 tingkat kecepatan (d) 7 tingkat kecepatan	9
Gambar 2.4	Dinamika kendaraan panser anoa apc 3 6x6	10
Gambar 2.5	Grafik pengaruh tekanan ban pada fo dan fs	13
Gambar 2.6	Diagram Bodi Bebas Kendaraan Saat Menanjak ..	16
Gambar 2.7	Grafik karakteristik kinerja transmisi dari suatu kendaraan penumpang MT(<i>manual transmission</i>)	21
Gambar 2.8	Grafik karakteristik kinerja transmisi dari suatu kendaraan penumpang AT(<i>automatic transmission</i>).....	22
Gambar 2.9	Grafik kinerja engine Renault <i>truck defence</i> Dxi7-V1	22
Gambar 2.10	Grafik Pemilihan Perbandingan Gigi dengan Rasio Geometri	23
Gambar 2.11	<i>Front wheel differential mazda cx5</i>	25
Gambar 2.12	<i>Transfer Case</i>	26
Gambar 2.13	<i>Locking Hub</i>	27
Gambar 2.14	Susunan Komponen Gearbox transmisi <i>automatic</i>	27
Gambar 3.1	Flowchart metode penelitian	29
Gambar 3.2	Flowchart perhitungan gaya hambat	32
Gambar 3.3	Flowchart perhitungan gaya dorong.....	33
Gambar 3.4	Flowchart Perhitungan Rasio dan Tingakt gigi Transmisi.....	34

Gambar 4.1	Grafik Gaya Hambat Udara Panser ANOA APC 3 6x6	39
Gambar 4.2	Grafik Gaya Hambat <i>rolling</i> Panser ANOA APC 3 6x6.....	40
Gambar 4.3	Grafik Gaya Hambat Total Tanjakan	42
Gambar 4.4	Grafik Gaya Dorong Standar Panser ANOA APC 3 6x6.....	42
Gambar 4.5	Grafik 4.5 Karakteristik Kinerja Torsi Koneverter	43
Gambar 4.6	Grafik Karakteristik Traksi Panser ANOA APC 3 6x6 Standar	44
Gambar 4.7	Grafik Percepatan Panser ANOA APC 3 6x6 tingkat 5 Standar	45
Gambar 4.8	Eksponensial Rasio Gyrasi terhadap karakteristik Panser ANOA APC 3 6x6 kondisi standar 5 tingkat kecepatan.....	47
Gambar 4.9	Grafik karakteristik traksi Panser ANOA APC 3 6x6 5 tingkat kecepatan hasil <i>redesign</i>	51
Gambar 4.10	Grafik percepatan Panser ANOA APC 3 6x6 5 tingkat kecepatan hasil <i>redesign</i>	52
Gambar 4.11	Grafik Ekponensial Rasio Gyrasi Terhadap Karakteristik Traksi Panser 5 Tingkat Kecepatan Hasil <i>Redesign</i>	53
Gambar 4.12	Grafik karakteristik traksi Panser ANOA APC 3 6x6 6 tingkat kecepatan hasil <i>redesign</i>	54
Gambar 4.13	Grafik percepatan Panser ANOA APC 3 6x6 6 tingkat kecepatan hasil <i>redesign</i>	55
Gambar 4.14	Grafik karakteristik traksi Panser ANOA APC 3 6x6 7 tingkat kecepatan hasil <i>redesign</i>	56
Gambar 4.15	Grafik percepatan Panser ANOA APC 3 6x6 7 tingkat kecepatan hasil <i>redesign</i>	

DAFTAR TABEL

Tabel 2.1 Tabel umum referensi untuk koefisien hambat tentang bentuk bodi kendaraan.....	12
Tabel 2.2 Nilai rata-rata dari koefisien hambatan rolling untuk berbagai jenis dan berbagai.....	14
Tabel 3.1 Spesifikasi Engine Renault <i>Truck Defence Dxi7-V1..</i>	36
Tabel 3.2 Dimensi Panser Anoa APC 3 6x6.....	37
Tabel 3.3 Rasio Gigi Transmisi <i>ZF6 HP 502 S.....</i>	37

“Halaman ini sengaja dikosongkan”

BAB I

PENDAHULUAN

1.1 Latar Belakang

Perindustrian di bidang kendaraan militer saat ini sudah sangat maju.PT.PINDAD sebagai produsen utama alat alat kemiliteran untuk Indonesia harus mempunyai kemampuan untuk memproduksi alat militer yang canggih agar tidak ketinggalan oleh negara lain di bidang kemiliteran.Otokar Arma 6x6 adalah Produk Panser buatan russia yang mampu melalui tanjakan dengan sudut kemiringan hingga 60 derajat (<http://englishrussia.com/2012/06/17/hellish-vehicles-under-control/10/>,diakses tanggal 21 januari 2017).Salah satu produk dari PT.PINDAD adalah Panser ANOA APC yang merupakan kendaraan untuk kebutuhan militer dari negara Indonesia.Dari informasi yang di dapat dari PT.PINDAD bahwa Panser ANOA APC 3 6x6 memiliki permasalahan yaitu tidak mampunya Panser menanjak pada kemiringan jalan tertentu.Dari permasalahan tersebut perlu di lakukan analisis transmisi dan kinerja traksi pada Panser ANOA APC 3 6x6 untuk mengetahui gaya dorong yang di hasilkan oleh Panser dan perlu juga dilakukan *redesign* dari transmisi Panser ANOA APC 3 6x6 yang bertujuan untuk menyelesaikan permasalahan yang terdapat pada Panser ANOA APC 3 6x6.*Redesign* yang akan dilakukan oleh penulis adalah dengan melakukan penambahan tingkat gigi dikarenakan dengan menambah tingkat gigi mempunya keuntungan seperti *losses* yang di akibatkan oleh perpindahan gigi akan lebih kecil dan pemilihan tingkat gigi akhir bisa lebih kecil sehingga kecepatan kendaraan bisa ditingkatkan untuk mencapai *overdrive*.

Diharapkan dengan terlaksananya penelitian yang mengkaji analisis kinerja traksi serta melakukaan *redesign* terhadap rasio gigi dari transmisi Panser ANOA APC 3 6x6 akan meningkatkan performa dari Panser dan menjadi acuan PT.PINDAD dalam pemilihan transmisi untuk Panser ANOA APC 3 6x6.

1.2 Rumusan Masalah

Adapun rumusan masalah yang terdapat dalam proposal tugas akhir ini adalah sebagai berikut :

1. Bagaimana gaya hambat kendaraan pada kondisi jalan datar dan jalan tanjakan?
2. Bagaimana karakteristik traksi dari transmisi dan laju kendaraan panser anoa apc 3 6x6?
3. Bagaimana hasil *redesign* rasio transmisi Panser Anoa APC 3 6x6 AT dengan teori progressi geometri?

1.3 Tujuan Tugas Akhir

Mengacu pada rumusan masalah,maka tujuan dari proposal tugas akhir ini adalah,

1. Mengetahui gaya hambat kendaraan pada kondisi jalan datar dan jalan tanjakan
2. Mengetahui karakteristik traksi dari transmisi dan laju kendaraan panser anoa apc 3 6x6
3. Mengetahui hasil *redesign* Rasio Transmisi Mobil Panser Anoa APC 3 6x6 dengan Teori *Progressi Geometri*

1.4 Batasan Masalah

Adapun beberapa batasan masalah yang digunakan dalam penggerjaan proposal tugas akhir ini antara lain :

1. Kendaraan yang di analisa adalah panser Anoa Apc 3 6x6 dengan tipe *engine Renault defence truck Dxi7-V1 keluaran 2014 6x6 Automatic Transmission*
2. Analisa yang dilakukan dalam kondisi panser terisi 13 orang s dengan berat 65 kg setiap orangnya
3. Kinerja engine tidak di pengaruhi oleh lingkungan sekitar

4. Menggunakan bahan bakar solar
5. Jalan yang di lalui menanjak dan rata(tidak bergelombang)
6. Beban angin yang terjadi pada kendaraan yaitu gaya hambat(drag)
7. Tekanan ban 50 psi
8. Type ban yang di gunakan 160/377 R20 *runflat tyre*

1.5 Manfaat Tugas Akhir

Dengan mengetahui analisa grafik traksi , sudut tanjak, percepatan yang mampu dilalui kendaraan, serta desain transmisi berdasarkan progresi geometris maka diharapkan hasil penelitian tugas akhir ini dapat digunakan sebagai referensi Panser Anoa APC 3 6x6 dalam penggunaan operasional,serta acuan desain penelitian dan pengembangan produk Panser PT.PINDAD selanjutnya.

“Halaman ini sengaja dikosongkan”

BAB II

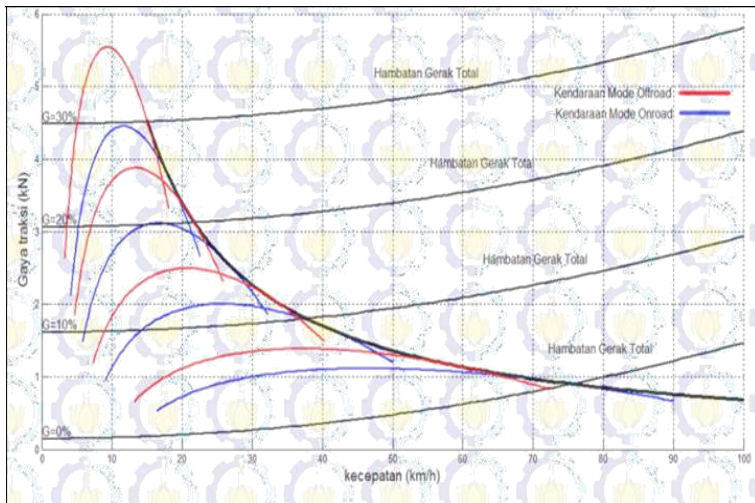
TINJAUAN PUSTAKA

2.1 Kinerja traksi kendaraan

Secara umum, kinerja dari sebuah kendaraan dapat dibedakan menjadi 3 jenis kinerja,yaitu kinerja traksi kendaraan, kestabilan arah, serta kinerja pengaman kendaraan. Secara umum, kinerja traksi kendaraan dapat diartikan sebagai kemampuan kendaraan untuk melaju melawan gaya hambat yang ada pada saat kendaraan beroperasi. Gaya-gaya hambat tersebut adalah gaya hambat angin, gaya hambat tanjakan, serta gaya hambat *rolling* yang terjadi pada komponen kendaraan yang bergerak. Kemampuan kendaraan tersebut sangat dipengaruhi oleh kemampuan mesin kendaraan, pemilihan tingkat rasio transmisi, serta jenis transmisi yang dipakai.^[3]. Pada umumnya, informasi mengenai karakteristik traksi sebuah kendaraan ditampilkan dalam sebuah grafik yang menampilkan data kecepatan kendaraan, gaya dorong kendaraan (pada masing-masing gigi), gaya hambat kendaraan, serta pengaruh kondisi jalan terhadap gaya hambat.

2.2 Penelitian terdahulu

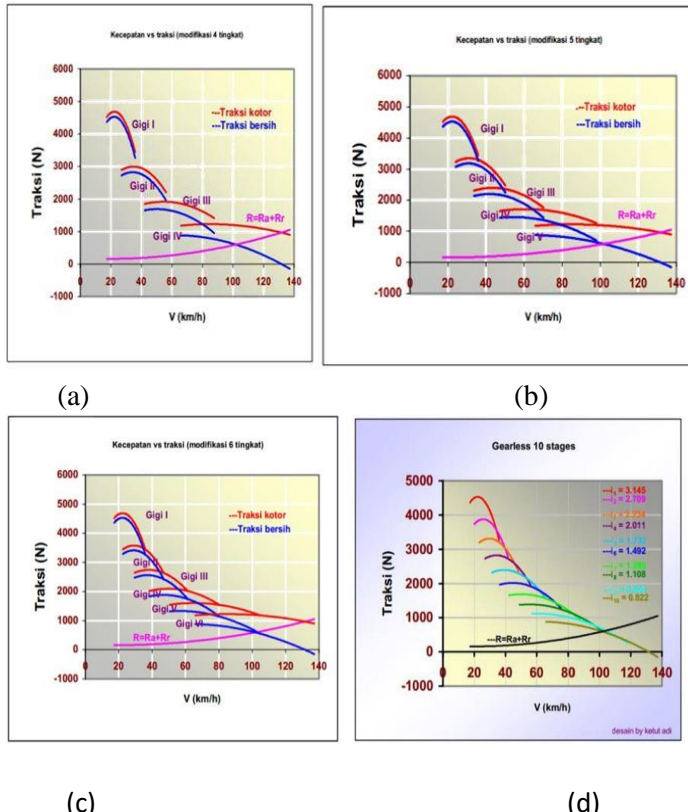
Penelitian mengenai analisa karakteristik kendaraan sebelumnya pernah dilakukan oleh Mohamad Fikki Rizki dengan judul “*Analisa Kinerja Sistem Transmisi pada Kendaraan Multiguna Pedesaan untuk Mode Pengaturan Kecepatan Maksimal pada Putaran Maksimal Engine dan Daya Maksimal Engine*” membahas mengenai mobil angkutan desa. Dalam penelitian tersebut, penulis membuat desain rasio overall transmisi (Gambar 2.1) dari kendaraan kemudian menganalisisanya agar kendaraan mampu berjalan pada kondisi *on-road* dan *off-road*.



Gambar 2.1 Hasil desain rasio transmisi mobil GEA

Hasil penelitian tersebut berupa kecepatan maksimum mobil GEA pada kondisi *on road* dan *offroad* kemudian selanjutnya didapatkan nilai konsumsi bahan bakar pada masing-masing medan. Selain itu, pada penelitian ini juga di dapatkan detail konsumsi bahan bakar pada masing-masing tingkat roda gigi sehingga terlihat pada tingkat transmisi mana yang mengkonsumsi bahan bakar paling besar. Penelitian kedua, mengenai perancangan tingkat transmisi menggunakan metode progresi geometri pada mobil toyota kijang. Penelitian tersebut dilakukan oleh ananda IGNP Tenaya dan I Ketut

Adi Atmika dalam tugas akhirnya di Fakultas Teknik Mesin Universitas Udayana.

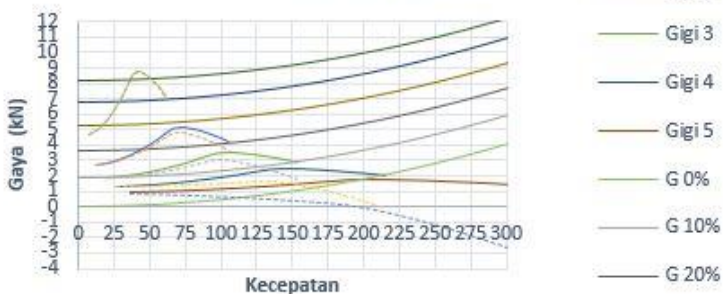


Gambar 2.2 Grafik karakteristik traksi kijang 1997 standar (a) 4 tingkat, hasil redesign (b) 5 tingkat (c) 6 tingkat (d) 10 tingkat.

Dalam penelitian tersebut, mereka merancang kemudian membandingkan efisiensi transmisi pada 4,6 dan 10 tingkat kecepatan kendaraan (gambar 2.2). Sesuai grafik traksi yang dihasilkan pada masing-masing tingkat kecepatan.

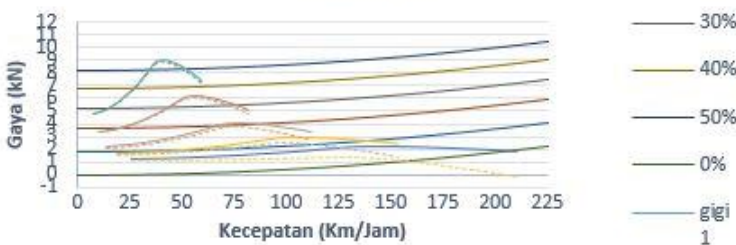
Penelitian ketiga mengenai Analisa kinerja traksi dan *redesign* pada Toyota fortuner 4.0 V6 SR menggunakan metode progresi geometri. Penelitian tersebut dilakukan oleh nico yudha dalam tugas akhirnya di jurusan Teknik Mesin Institut Teknologi Sepuluh Nopember.

Karakteristik Traksi Toyota FORTUNER _{gigi 1} 4.0 V6 SR



(a)

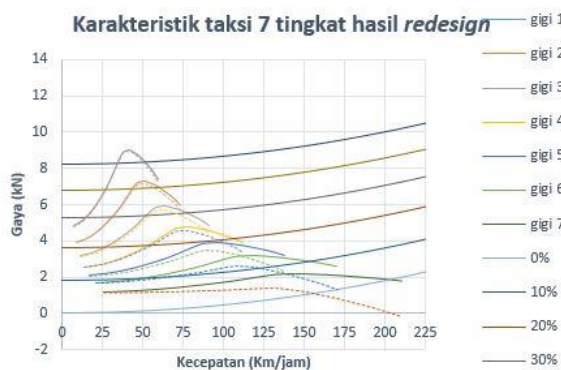
Karakteristik taksi 5 tingkat hasil *redesign*



(b)



(c)



(d)

Gambar 2.3 Grafik karakteristik Toyota fortuner 4.0 V6 SR standar (a) 5 tingkat kecepatan, hasil *redesign* (b) 5 tingkat kecepatan (c) 6 tingkat kecepatan (d) 7 tingkat kecepatan.

Dalam penelitian tersebut, mereka merancang kemudian membandingkan efisiensi transmisi pada 5,6 dan 7 tingkat

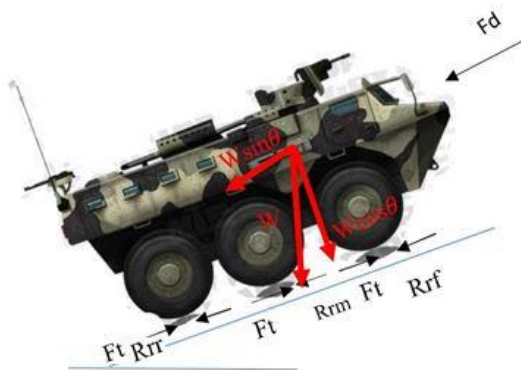
kecepatan kendaraan (gambar 2.3). Sesuai grafik traksi yang dihasilkan pada masing-masing tingkat kecepatan

Pada akhirnya ditarik kesimpulan bahwa semakin banyak tingkat transmisi yang digunakan, akan semakin sedikit traksi yang terbuang, serta karakteristik traksi kendaraan akan mendekati karakteristik idealnya pada *gearless transmission systems*. *Gearless transmission* sistem sendiri merupakan istilah lain untuk transmisi ideal yang tidak menimbulkan *losses* traksi.

2.3 Dinamika Kendaraan

2.3.1 Gaya Hambat Kendaraan

Gaya-gaya yang bekerja pada sebuah kendaraan yang melaju pada sudut tanjakan tertentu bisa dilihat pada gambar 2.3 berikut ini:



Gambar 2.4 Dinamika kendaraan panser anoa apc 3 6x6

F_t adalah gaya dorong kendaraan oleh mesin pada roda penggerak. Sesuai tujuannya agar dapat memenuhi driver demand, pada gambar 2.4 F_t (gaya dorong) dibagi menjadi tiga yaitu F_f (gaya dorong pada roda depan), F_m (gaya dorong pada roda tengah) dan F_r (gaya dorong pada roda belakang). Gaya dorong pada kendaraan kendaraan yang sedang

berjalan,dihambat oleh tiga macam gaya hambat yaitu, *drag force*, *rolling resistance* serta gaya hambat kendaraan akibat sudut tanjak

2.3.1.1 Gaya Hambat Aerodinamik (Drag)

Gaya hambat karena udara pada mobil disebut dengan *drag force*. Pada dasarnya, terdapat beberapa jenis gaya hambat angin pada kendaraan yaitu hambatan bentuk, hambatan pusaran, hambatan tonjolan, serta hambatan aliran dalam. Namun, pada dasarnya gaya hambat yang paling besar adalah akibat gaya hambat bentuk dan pusaran.Dengan demikian besarnya gaya hambat angina dapat dihitung dengan persamaan berikut,

$$Ra = \frac{1}{2} \times \rho \times Cd \times Af \times V_a^2 \dots(2.1)$$

dimana, Ra = hambatan aerodinamika (N)

ρ = massa jenis udara (kg/m^3)

Cd = koefisien drag

Af = Luas frontal kendaraan (m^2)

Va = kecepatan relatif angin terhadap kendaraan(m/s)

Tabel 2.1 adalah tabel umum referensi untuk koefisien hambat tentang bentuk bodi kendaraan yang mempengaruhi gaya hambat aerodinamis.

No	jenis kendaraan	koefisien hambat
1	kendaraan penumpang	0,3 - 0,6
2	kendaraan convertible	0,4 - 0,65
3	kendaraan balap	0,25 - 0,3
4	Bus	0,6 - 0,7
5	Truck	0,8 – 1
6	tractor – trailer	0,8 - 1,3
7	sepeda motor + pengendara	1,8
	

2.3.1.2 Gaya hambat rolling (*rolling resistance*)

Hambatan rolling yang terjadi pada ban adalah utamanya disebabkan oleh sifat histerisis ban karena adanya defleksi dari ban. Untuk mencari besarnya gaya hambat rolling, pertama kita harus menentukan besarnya koefisien hambatan rolling (fr) terlebih dahulu. Besarnya fr dapat dicari menggunakan persamaan hasil eksperimen J.J Taborek berikut.

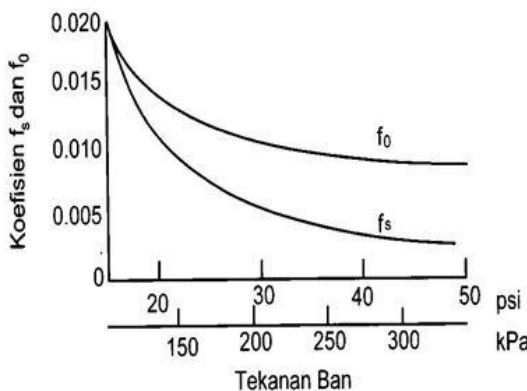
$$fr = fo + fs \left(\frac{V_k}{100}\right)^{2,5} \dots\dots(2.2)$$

dimana,

- fr = koefisien hambat rolling
 fo dan fs = koefisien yang nilainya
 tergantung pada tekanan ban,didapat dari grafik gambar
 2.4
 V_k = Kecepatan kendaraan(km/h)

Sedangkan untuk kondisi tekanan ban sekitar 26 psi, maka perumusan diatas dapat disederhanakan sebagai berikut ,

$$fr = 0.01[1 + \frac{V_k}{160}](2.3)$$



Gambar 2.5 Grafik pengaruh tekanan ban pada f_o dan f_s

Tabel 2.2 Nilai rata-rata dari koefisien hambatan rolling untuk berbagai jenis dan berbagai kondisi jalan

Jenis Kendaraan	Permukaan Jalan		
	Beton	Keras/Aspal	Pasir
Kendaraan penumpang	0.015	0.08	0.3
Truk	0.012	0.06	0.25
Traktor	0.02	0.04	0.2

Setelah mendapatkan koefisien hambat roling (fr) , maka dengan menggunakan rumus 2.4 besarnya gaya hambat roling dapat dicari,

$$Rrr = fr \times (Wf + W) \dots\dots(2.4)$$

dimana,

Rrr = gaya hambat resistance pada roda belakang (N)

Wf = berat roda depan (N)

Wr = berat roda belakang (N)

2.3.1.3 Gaya hambat tanjakan

Gaya hambat yang ketiga adalah gaya hambat tanjakan, yaitu gaya hambat yang diakibatkan adanya sudut tanjak yang dilewati oleh kendaraan sehingga beban kendaraan akan bertambah akibat gaya gravitasi yang muncul. Besarnya gaya

hambat akibat sudut tanjak dapat dihitung dengan rumus berikut,

$$Rg = W \sin \theta = \text{hambatan tanjakan (N)} \dots \dots \dots (2.5)$$

Dimana:

$$Rg = \text{Gaya hambat tanjakan}$$

$$W = \text{Berat kendaraan}$$

Ketika kendaraan dalam posisi menanjak, digunakan satuan *gradeability* sebagai acuan. *Gradeability* adalah kemampuan suatu kendaraan untuk mendaki suatu tanjakan. Jika kendaraan didesain dengan gradient 30% misalnya, maka kemampuan kendaraan tersebut harus mampu menanjak dengan gradient sebesar 30%. Jika kendaraan tersebut belum mampu menempuh tanjakan tersebut, maka kendaraan tersebut dikatakan tidak memenuhi kriteria *gradeability* yang disyaratkan.

Perhitungan gradient tanjakan (G) dapat dilakukan dengan rumus berikut,

$$G = \tan \theta = \frac{\text{vertical projection}}{\text{horizontal projection}} \dots \dots \dots (2.6)$$

Dengan demikian, setelah meninjau tiga buah gaya hambat yang bekerja pada kendaraan sesuai penjelasan sebelumnya, maka gaya hambat total pada kendaraan dapat dirumuskan sesuai persamaan 2.7 dibawah ini,

$$Fr = Ra + Rr + Rg \dots \dots \dots (2.7)$$

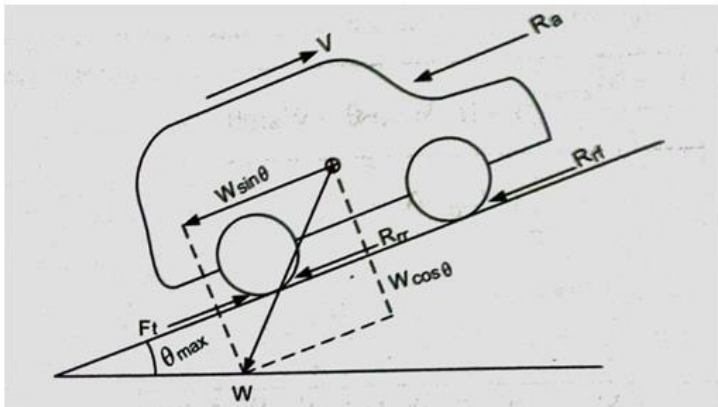
Dimana:

$$Fr = \text{Total gaya hambat}$$

R_a = Gaya drag

R_r = Hambatan rolling

R_g = Hambatan tanjakan



Gambar 2.6 Diagram bodi bebas kendaraan saat menanjak.

Akan tetapi, pada saat kendaraan dalam posisi menanjak, besarnya sudut tanjak juga akan berpengaruh terhadap besarnya *Rolling Resistance* kendaraan akibat perbedaan gaya normal pada kendaraan yang besarnya lebih kecil dibandingkan saat berjalan mendatar (gambar 2.4, besar gaya normal kendaraan sama dengan Gaya berat kendaraan dikali cos sudut tanjak). Sehingga rumus gaya dorong kendaraan total (rumus 2.8) sedikit dimodifikasi menjadi seperti berikut,

$$F_r = F_d + R_r + R_g$$

$$F_r = f_r \cdot W \sin\theta_{\max} + \frac{1}{2} \rho C_d A V^2 + W \sin\theta_{\max}. \quad (2.8)$$

2.3.2 Gaya Dorong kendaraan

Gaya Dorong adalah gaya yang bekerja berlawanan dengan arah gerak gaya hambat kendaraan. Gaya dorong ini dihasilkan dari daya yang dihasilkan oleh mesin kendaraan (*engine*) yang kemudian disalurkan melalui sistem transmisi sehingga akhirnya dapat menggerakan roda . Untuk menghitung besarnya gaya dorong yang mampu dihasilkan kendaraan, dapat digunakan persamaan 2.13. Selain melalui metode analitis/ perhitungan, untuk mencari besarnya nilai gaya dorong (Ft) aktual pada kendaraan juga dapat dilakukan dengan cara lain. Yaitu dengan melakukan pengujian menggunakan mesin *dynotest* pada mobil.

Torsi mesin pada mobil (Me) dihasilkan langsung oleh pembakaran pada *combustion engine*. Torsi dari *engine* kemudian akan masuk ke *drivetrain*. Setelah melalui *drivetrain*, daya yang disalurkan besarnya akan menurun akibat adanya loses pada *drivetrain*, kemudian daya akan langsung disalurkan menuju roda kendaraan, torsi yang muncul pada roda disebut Tr. Tr sendiri merupakan kebutuhan torsi untuk menggerakkan kendaraan. Torsi yang muncul pada roda nantinya akan digunakan untuk memutar roda agar bisa bergerak. Pada permukaan roda, ketika berputar akan timbul gaya tangensial. Gaya inilah yang biasa kita sebut dengan gaya dorong (Ft).

Proses transmisi dan transformasi torsi yang dihasilkan oleh mesin menjadi menjadi gaya dorong (Ft) yang terjadi pada roda penggerak dipengaruhi beberapa faktor berikut,

1. Perbandingan transmisi

$$it = \frac{ne}{ntr} \dots(2.9)$$
2. Perbandingan putaran pada gardan

$$ig = \frac{ntr}{np} \dots(2.10)$$
3. Torsi yang keluar dari transmisi

$$M_{tr} = i_t \cdot M_e \dots (2.11)$$

4. Torsi pada poros penggerak setelah M_{tr} ditransmisikan melalui gardan

$$M_p = i_g \cdot M_{tr} = i_t \cdot i_g \cdot M_e \dots (2.12)$$

Maka, gaya dorong pada roda penggerak (F_t) dengan memperhatikan efisiensi (η_t) pada semua proses transmisi untuk mobil pada umumnya dirumuskan sebagai berikut,

$$F_t = \frac{i_t \cdot i_g \cdot M_e}{r} \eta_t \dots (2.13)$$

dimana,

$F_t = F_f + F_r =$ gaya dorong pada kendaraan roda penggerak depan dan belakang (N)

$F_t = F_f =$ gaya dorong pada kendaraan dengan roda penggerak depan (N)

$F_t = F_r =$ gaya dorong pada kendaraan dengan roda penggerak belakang (N)

$M_e =$ torsi keluaran dari mesin (N.m)

$n_e =$ putaran mesin

$n_{tr} =$ putaran transmisi

$n_p =$ putaran poros penggerak

$r =$ jari-jari roda (m)

$\eta_t =$ efisiensi transmisi,

(0.88-0.92) untuk mesin yang letaknya memanjang, poros penggerak belakang

(0.91-0.95) untuk mesin yang letaknya melintang

it = perbandingan gigi transmisi

ig = perbandingan transmisi pada garden

Sedangkan, untuk jenis transmisi pada kendaraan *Automatic Transmission 4X4 AT* terdapat rasio torsi konverter serta *transfer case*, maka perhitungan gaya dorongnya adalah sebagai berikut,

$$F_t = \frac{Ctr \cdot it \cdot ig \cdot itc \cdot Me}{r} \cdot \eta_t \cdot \eta_{ctr} \cdot \eta_{tc} \dots (2.14)$$

dimana,

Ctr = rasio torsi konverter

Itc = rasio transfer case

η_{ctr} = efisiensi torsi konverter

η_{tc} = efisiensi transfer case

2.3.3 Kecepatan dan Percepatan Kendaraan

Kecepatan maksimum kendaraan dalam setiap tingkat transmisi (k) dapat dirumuskan:

$$V_k = \frac{Rpm \text{ output engine} \times Csr}{ik \times ig \times ctr \cdot itc} \times \frac{2\pi}{60} \times jari - \\ jari roda aktif \times \frac{3600}{1000} \dots (2.15)$$

dimana,

V_k = kecepatan pada tingkat k (km/h)

Ik = rasio transmisi pada tingkat k

Csr = rasio kecepatan torsi converter

Dalam gerakan lurus besarnya percepatan dapat dilakukan oleh kendaraan adalah merupakan faktor penting sebagai parameter kinerja laju kendaraan. Untuk kendaraan yang bergerak dari keadaan diam sampai kecepatan tertentu (percepatan) atau dari kecepatan tertentu sampai berhenti (perlambatan), maka percepatan (a), waktu (t), dan jarak (S) dapat dihitung dengan rumus sebagai berikut,

- Untuk kondisi percepatan, kendaraan diam mencapai kecepatan akhir (V_t)

$$a = \frac{Vt^2}{2.S} = \frac{Vt}{t} = \frac{2.S}{t^2} \dots(2.16)$$

$$t = \frac{Vt}{a} = \frac{2.S}{Vt} = \sqrt{\frac{2.S}{a}} \dots(2.17)$$

$$S = \frac{Vt^2}{2.a} = \frac{Vt \cdot t}{2} = \frac{2.t^2}{2} \dots(2.18)$$

- Sedangkan untuk mencari percepatan untuk setiap tingkat gigi (k), dapat dirumuskan sebagai berikut:

$$a_k = \frac{(Ft - Rrr - Ra)}{massa penuh} \dots(2.19)$$

dimana,

a = percepatan (m/s)

Ft = gaya dorong (N)

Rrr = gaya hambat resistance pada roda belakang (N)

Ra = hambatan hambat aerodinamika (N)

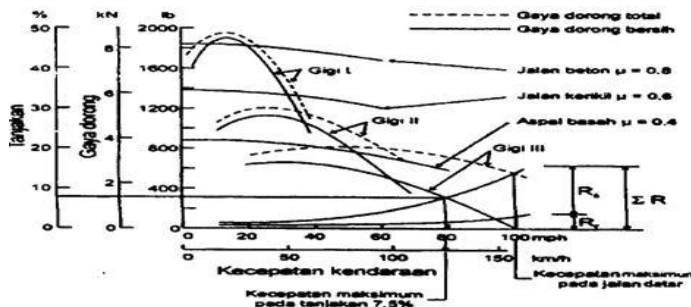
2.4 Karakteristik Transmisi Kendaraan

Untuk memudahkan kita mengetahui karakteristik transmisi kendaraan, maka dibuat grafik untuk gaya dorong – kecepatan. Contoh grafik karakteristik kendaraan untuk suatu

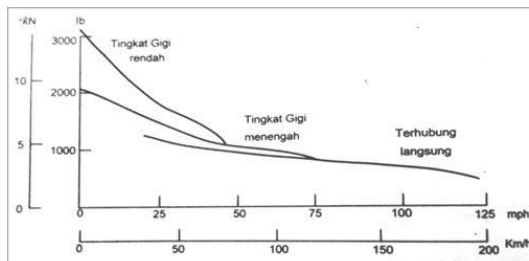
transmisi 4 tingkat ditunjukkan pada gambar 2.7 dibawah. Pada gambar tersebut ditunjukkan hambatan rolling (R_r) dan hambatan aerodinamik (R_a) yang terjadi pada kendaraan, serta gaya dorong total, gaya dorong bersih, dan gaya dorong maksimum yang dapat terjadi pada bidang kontak ban dan jalan dengan asumsi koefisien gesek tertentu. Gaya dorong bersih (F_n) yang dimaksudkan adalah gaya dorong total dikurangi hambatan rolling dan hambatan aerodinamika, dirumuskan sebagai berikut:

$$F_n = F - Rr - Ra \dots (2.20)$$

Disamping itu juga pada gambar tersebut ditunjukkan gradability sehingga besarnya kecepatan maksimum yang dapat dicapai kendaraan pada gradability tertentu pada jalan datar. Selanjutnya, apabila kita tinjau grafik karakteristik traksi mobil *Automatic Transmission*, maka grafik nya akan cenderung lebih landai (gambar 2.8) dibandingkan *manual transmission*. Hal ini diakibatkan oleh adanya *torsion controller* yang bisa mengatur torsi *output engine* sesuai dengan kebutuhan gaya dorong kendaraan.

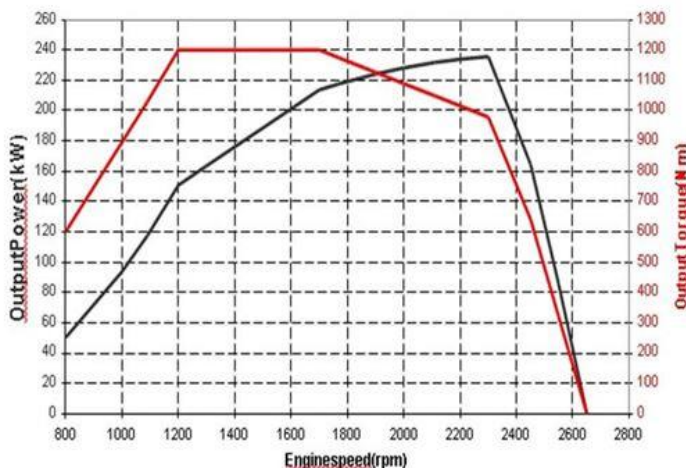


Gambar 2.7 Grafik karakteristik kinerja transmisi dari suatu kendaraan penumpang MT(*manual transmission*)



Gambar 2.8 Grafik karakteristik kinerja transmisi dari suatu kendaraan penumpang AT(*automatic transmission*)

2.5 Karakteristik kinerja engine panser anoa apc 3 6x6 Dxi7 Renault Truck Defence



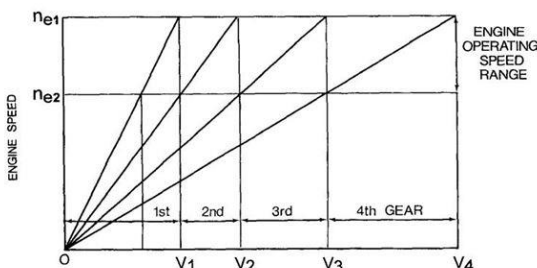
Gambar 2.9 Grafik kinerja *engine Renault truck defence Dxi7-V1*

Dari grafik di atas dapat diketahui bahwa mesin mengeluarkan daya sebesar 40 kW pada putaran 800 rpm dan Torsi sebesar 600 N.m pada putaran 800 rpm. Output daya dan Torsi terus meningkat untuk Torsi meningkat hingga putaran 1200 rpm dan

konstan hingga rpm 1700 torsi yang di hasilkan adalah 1200N.m, setelah itu mengalami penurunan ketika melewati rpm 1700 hingga 2650. Sedangkan untuk Output daya(kW) yang dikeluarkan terus meningkat dari rpm 800 hingga rpm 2300 yaitu 40 kW hingga 230kW. setelah melewati rpm 2300 output daya yang di keluarkan oleh mesin menurun.

2.6 Desain Tingkatan Gigi (Progressi Geometris)

Transmisi merupakan bagian dari sistem pemindah tenaga dari sebuah kendaraan, yaitu sistem yang berfungsi mengatur tingkat kecepatan dalam proses pemindahan tenaga dari sumber penggerak ke roda kendaraan. Salah satu cara untuk mencari perbandingan gigi antara tingkat transmisi terendah dan tertinggi adalah dengan cara progresi geometris. Cara ini umumnya dipakai sebagai langkah iterasi awal. Batas kecepatan operasi dari mesin terendah (n_{e1}) dan tertinggi (n_{e2}) harus ditetapkan terlebih dahulu. Penetapan ini berdasarkan karakteristik torsi dari mesin, batas ini biasa dipilih disekitar torsi maksimum mesin. Konsep dari progresi geometris ditunjukkan pada gambar 2.10, dimana menggambarkan transmisi dengan 4 tingkat kecepatan.



Gambar 2.10 Grafik pemilihan perbandingan gigi dengan rasio geometri

Berdasarkan gambar 2.10, dengan perbandingan geometris maka untuk transmisi 4 tingkat didapat hubungan perbandingan gigi sebagai berikut :

$$\text{dimana, } \frac{i_2}{i_1} = \frac{i_3}{i_2} = \frac{i_4}{i_3} = \frac{ne_2}{ne_1} = Kg \dots(2.21)$$

i1, i2, i3, i4 = perbandingan gigi pada tingkat transmisi I, II, III, IV
 Kg = konstanta perbandingan

Langkah pertama untuk mendesain tingkat transmisi, harus ditentukan terlebih dahulu rasio transmisi pertama dan rasio transmisi terakhir kendaraan. Untuk menentukan rasio transmisi pertama (I), dapat dihitung dengan rumus:

$$i_1 = \frac{F_1.r}{Me \cdot i_d \cdot \eta_t} \dots(2.22)$$

Kemudian, rasio transmisi pada tingkat terakhir (n) dirumuskan sebagai berikut :

$$i_n = \frac{F_n.r}{Me \cdot i_d \cdot \eta_t} \dots(2.23)$$

Dengan demikian, nilai faktor Kg dapat ditentukan dengan rumus 2.21. Selanjutnya, nilai Kg tersebut digunakan untuk menentukan nilai i2, i3 dst.

$$Kg = \left(\frac{i_n}{i_1}\right)^{\frac{1}{n-1}} \dots(2.24)$$

2.7 Komponen Penyalur Daya

2.7.1 Tipe Penyalur Daya (*Drive Train*) berdasarkan gerak roda

Secara umum jenis drive train berdasarkan jumlah roda yang dibagi menjadi tiga, yaitu: 2WD (*two wheel drive*), 4WD (*four wheel drive*) dan AWD (*All wheel drive*). Pembagian ini

didasarkan pada kemana saja daya dari mesin yang ditransferkan pada setiap roda mobil tersebut. Secara singkat 2WD mentransmisikan daya mesin hanya pada dua roda yang satu poros (shaft) pada kendaraan, sementara roda yang lainnya hanya akan mengikuti pergerakan dari kedua roda tersebut. Untuk 4WD, daya mesin akan ditransmisikan ke empat roda dengan memindahkan daya pada poros roda depan dan roda belakang. Namun biasanya 4WD hanya bersifat parsial atau sementara (*part time*). Sedangkan AWD bisa disebut dengan *full time 4WD*, dimana fungsi kerja roda dirancang untuk mampu menghadapi segala jenis permukaan jalan.

Sistem *four wheel* telah dikembangkan mulai dari tahun 1940. Dan pada saat itu diaplikasikan pada kendaraan-kendaraan militer yang sering menghadapi medan yang sulit. Meskipun pada awalnya sistem ini membutuhkan kemampuan pengemudi yang berada di atas rata-rata, namun dengan perkembangannya sistem ini mulai mudah untuk digunakan oleh semua pengemudi. Terdapat beberapa komponen utama yang digunakan pada transmisi 4wd, diantaranya adalah sebagai berikut,

2.7.1.1 *Differential*



Gambar 2.11 *Front wheel differensial mazda cx5*

Differential (gambar 2.11) merupakan komponen pada 4WD yang berfungsi untuk meneruskan torsi dari mesin menuju poros penggerak roda. Selain itu, *differential* dapat mengatur putaran pada roda ketika berbelok. Dimana pada kondisi berbelok, roda bagian dalam harus berputar dengan kecepatan yang lebih rendah dari pada roda bagian luar. Pada sistem 4WD, *differential*

ditempatkan diantara kedua roda belakang maupun roda depan. Jenis *differential* pun berbeda-beda, sesuai dengan desain kendaraan yang dipakai

2.7.1.2 Transfer Case.



Gambar 2.12 *Transfer case*

Transfer Case (gambar 2.12) merupakan komponen yang berfungsi untuk membagi daya antara penggerak roda depan dengan penggerak roda belakang. Untuk kondisi berbelok, ketika *differential* mengatur kecepatan roda bagian dalam dan bagian luar, *transfer case* pada sistem 4WD mengunci penggerak depan dengan penggerak roda belakang sehingga menghasilkan kecepatan putar yang sama antara depan dan belakang. Pada *part-time four wheel drive*, kebanyakan *transfer case* dilengkapi dengan gear-gear tambahan yang memberikan *low range* pada kendaraan. Penambahan gear ini akan memberikan kendaraan torsi tambahan dan kecepatan yang sangat lambat. Dalam penelitian ini, Posisi *shifting gear transfer case* berada pada posisi HL, sehingga distribusi daya oleh *transfer case* pada roda depan dan belakang 50:50.

2.7.1.3 Locking hub.

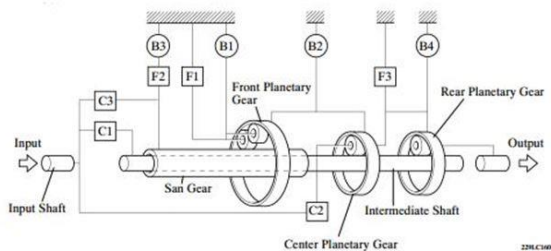


Gambar 2.13 Locking hub

Locking hub (gambar 2.13) ini berada pada setiap roda. Ketika *four wheel drive* tidak digunakan, *locking hub* ini akan berfungsi sebagai pemutus roda depan dengan *differential*, *half shaft* (penggerak yang menghubungkan *differential* menuju *hub*) dan *driveshaft* (poros penggerak). Sehingga pada kondisi ini kendaraan sedang menggunakan sistem 2WD.

2.7.2 Komponen Penyalur Daya Jenis Automatic Transmission.

Gambar 2.14 Susunan komponen *gearbox* transmisi



automatic.

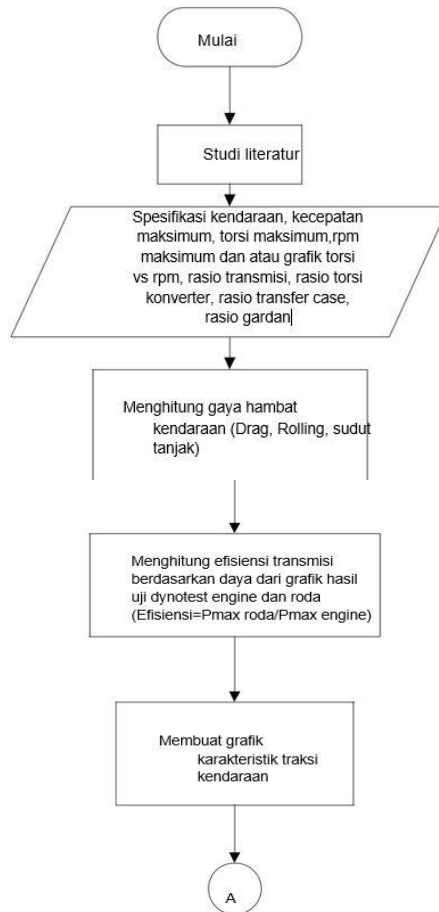
Komponen penyalur daya adalah sekelompok komponen kendaraan yang berfungsi untuk menyalurkan dan merubah daya

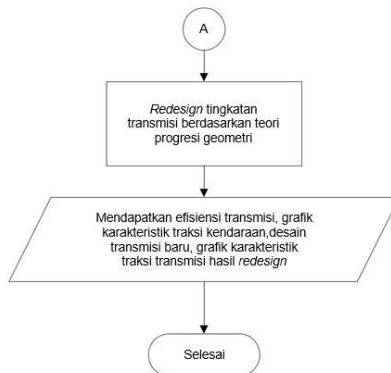
dan torsi mekanis yang dihasilkan mesin menjadi gaya dorong atau gaya traksi yang terjadi pada bidang kontak roda penggerak dan jalan. Untuk dapat merubah dan menyalurkan daya dan torsi tersebut, umumnya komponen penyalur daya pada kendaraan terdiri dari: kopling, transmisi, poros-propeller, gardan, poros penggerak dan roda penggerak. ^[3]. Pada umumnya, terdapat beberapa tingkat transmisi pada sebuah kendaraan. Hal ini bertujuan supaya torsi dan kecepatan puratan yang dikeluarkan oleh komponen penyalur daya sesuai dengan kebutuhan gaya dorong. Sebab, kebutuhan gaya dorong mobil berbeda bergantung pada kondisi lintasan yang dilalui. Secara umum, komponen penyalur daya pada kendaraan dibagi menjadi dua tipe, yaitu tipe manual (*manual transmission*) dan otomatis (*automatic transmission*). Pada automatic transmission, komponen penyalur daya secara otomatis akan memindahkan rasio gigi sesuai dengan traksi yang dibutuhkan roda dengan bantuan sensor serta aktuator berupa *clutch* dan *brake* seperti terlihat pada gambar 2.14.

BAB III METODOLOGI

3.1 Metode Penelitian

Berikut ini disajikan langkah-langkah penelitian dalam bentuk *flowchart*.





Gambar 3.1 *Flowchart Metode Penelitian*

Pada penulisan tugas akhir ini, prosedur penelitian dilakukan dengan beberapa tahapan yang dilakukan sebagai berikut:

1. Tahap awal, melakukan analisa-analisa dengan sumber studi literatur terhadap buku, catalogue, jurnal dan penelitian terdahulu mengenai karakteristik kendaraan
2. Tahap berikutnya adalah mencari data dan spesifikasi Panser Anoa APC 3 6x6
3. Tahap ketiga adalah penentuan variabel-variabel yang dipakai dalam melakukan analisa dan perhitungan sebagai batasan dari penelitian
4. Tahap keempat, melakukan perhitungan gaya hambat yang terjadi pada mobil berdasarkan data dan variabel yang didapatkan pada beberapa tingkat kecepatan
5. Tahap kelima, membuat perhitungan gaya dorong pada masing-masing tingkat transmisi dengan efisiensi yang telah didapatkan dari grafik hasil pengujian *dynotest*
6. Tahap keenam, memplot hasil perhitungan gaya dorong dan gaya hambat pada grafik karakteristik traksi

7. Tahap ketujuh, mengevaluasi dan membuat rancangan tingkat transmisi berdasarkan teori progresi geometris
8. Menyusun saran dan rekomendasi rasio tingkat transmisi agar lebih efisien

3.2 Studi Literatur

Pada penelitian ini langkah awal yang dilakukan adalah studi literatur tentang panser anoa apc 3 6x6 yang ada, dan mempelajari literatur atau studi pustaka terkait teori-teori yang berkaitan dengan penelitian yang akan dilakukan.

3.3 Flowchart Perhitungan

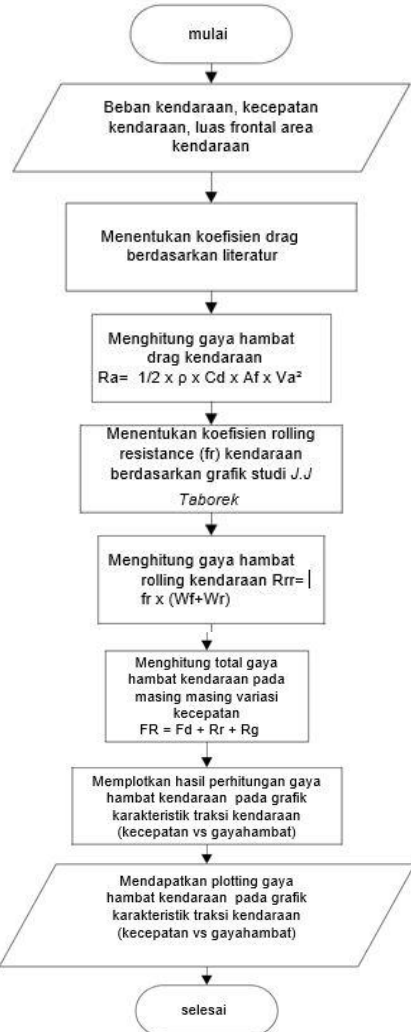
3.3.1 Flowchart perhitungan gaya hambat kendaraan

Langkah-langkah yang perlu dilakukan dalam perhitungan gaya hambat ditunjukkan pada gambar 3. skema penelitian pada gambar 3.1, dapat dijelaskan sebagai berikut:

Langkah-langkah perhitungan gaya hambat kendaraan

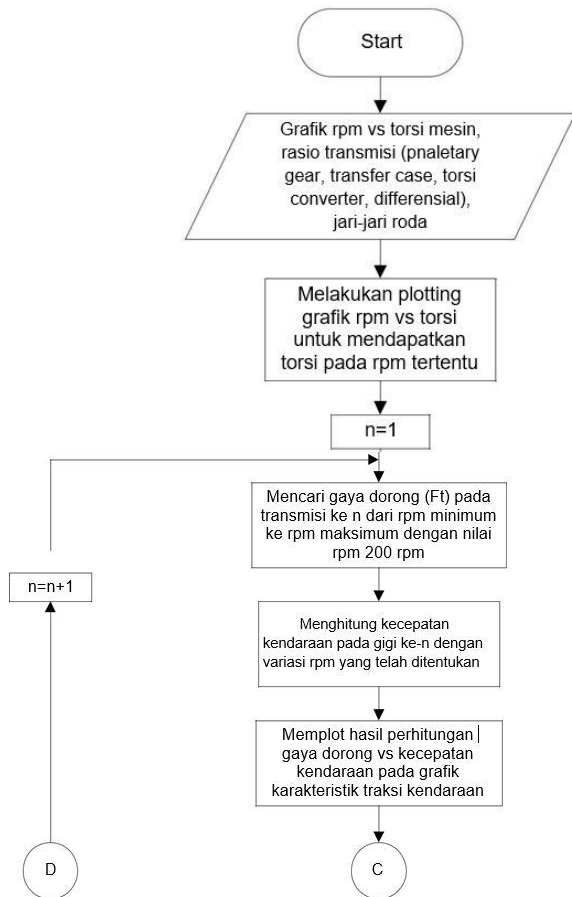
1. Menentukan variasi kecepatan kendaraan yang diinginkan, serta menghitung luas area frontal kendaraan
2. Menentukan koefisien drag berdasarkan literature
3. Menghitung gaya hambat aerodinamis kendaraan dengan rumus 2.1
4. Menentukan koefisien *rolling resistance* ban berdasarkan tekanan ban kendaraan
5. Menghitung gaya hambat *rolling* kendaraan dengan variasi sudut tanjakan yang berbeda ($R_r = f_r W$ pada kondisi jalan datar ; $R_r = f_r W \cos \theta$ pada kondisi tanjakan)
6. Menghitung gaya hambat tanjakan kendaraan dengan beberapa variasi sudut tanjak

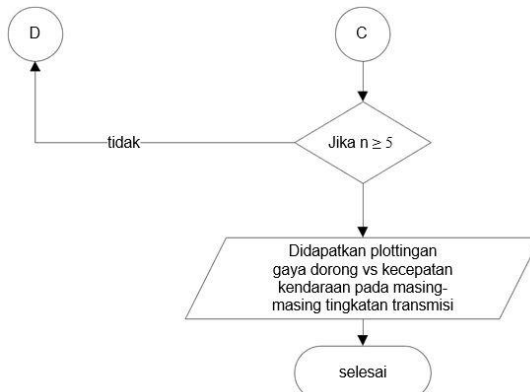
7. Menghitung gaya hambat total kendaraan



Gambar 3.2 Flowchart Perhitungan Gaya Hambat

3.3.2 Flowchart perhitungan gaya dorong kendaraan 5 Tingkat Kecepatan





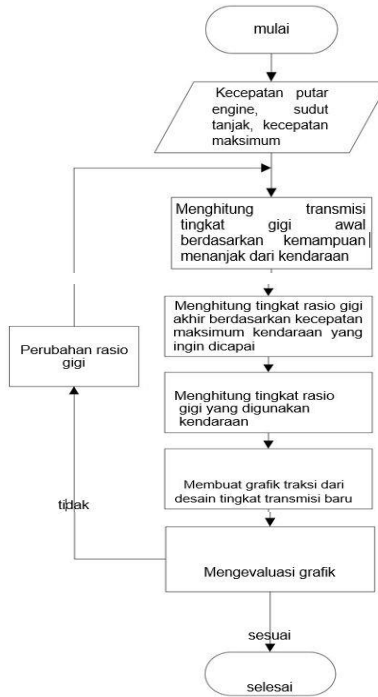
Gambar 3.3 *Flowchart* perhitungan gaya dorong

Langkah-langkah perhitungan gaya dorong kendaraan,

1. Mencari nilai Grafik rpm vs torsi mesin, rasio transmisi (planetary gear, transfer case, torsi converter, differensial), jari-jari roda sebagai data acuan
2. Selanjutnya memplotting gradik rpm vs torsi yang telah di dapatkan untuk menentukan besarnya torsi mesin pada masing-masing kecepatan sudut (rpm) mesin dengan variasi (Δrpm 200)
3. Menghitung besarnya gaya dorong kendaraan untuk masing-masing variasi kecepatan sudut kendaraan (rpm)
4. Menghitung besarnya kecepatan kendaraan untuk masing-masing kecepatan sudut mesin (rpm)
5. Melakukan plotting hasil perhitungan kecepatan kendaraan (V_k) vs gaya dorong (F_t) pada grafik karakteristik transmisi kendaraan
6. Mengulangi perhitungan gaya dorong (F_t) dan kecepatan kendaraan (V_k) pada tingkatan transmisi 2,3,4 dan 5, kemudian memplotting pada grafik karakteristik transmisi kendaraan

7. Mendapatkan plottingan gaya dorong (F_t) vs kecepatan kendaraan (V_k) pada masing-masing tingkat transmisi kendaraan

3.3.3 Flowchart perhitungan rasio dan tingkat gigi transmisi.



Gambar 3.4 *Flowchart* perhitungan rasio dan tingkat transmisi gigi

Langkah-langkah perhitungan rasio tingkat transmisi

1. Menentukan sudut maksimum kendaraan yang akan dilalui

2. Menghitung rasio transmisi awal, desain harus dapat melewati sudut tanjakan maksimum dengan rumus 2.22 seperti berikut

$$i_1 = \frac{F_1 r}{M e \cdot i_d \cdot \eta_t}$$

dimana, saat kondisi menanjak besarnya $F_1 = W \cdot \sin \Theta_{\text{maks}} + f_r \cdot W$.

3. Menentukan rasio gigi terakhir, desain harus dapat menahan gaya hambat angin (*drag force*) yang timbul. Perhitungan menggunakan rumus 2.23 berikut,

$$i_n = \frac{F_n r}{M e \cdot i_d \cdot \eta_t}$$

dimana, saat kondisi menanjak besarnya $F_1 = f_r \cdot W + \frac{1}{2} \rho x C_d A f_x V_a^2$

4. Menyesuaikan rasio gigi dari perhitungan yang telah dilakukan dengan gaya dorong.

3.4 Spesifikasi Panser ANOA APC 3 6x6

3.1.1 Informasi Umum

Berikut di sajikan beberapa informasi umum mengenai Panser Anoa APC 3 6x6

Tabel 3.1 Spesifikasi *Engine Renault Truck Defence Dxi7-V1*

Designation	Unit	Data
Rated power/engine speed	rpm	2300
Maximum power at rated speed	kW	235
Maximum torque/ eng. speed	Nm / rpm	1200 /[1200– 1700]
Idling speed	rpm	600 ^{+0/-50}
High idle speed	rpm	2650
Emission level	w/o	EURO4/ EURO3

Tabel 3.2 Dimensi Panser Anoa APC 3 6X6

Dimensi Keseluruhan	
Panjang kendaraan	6,000 m
Lebar kendaraan	2,500 m
Tinggi kendaraan	2,170 m
<i>Road clearance</i>	0,4 m
Jejari dinamis roda	0,6 m
Beban	
Massa Kendaraan Kosong	12.500 kg
Massa Muatan Penuh	13.280 kg

Tabel 3.3 Rasio Gigi Transmisi ZF 6 HP 502S

1	6,893
2	4,247
3	2,607
4	1,564
5	1
R	3,2
final drive	5,428

“Halaman ini sengaja dikosongkan”

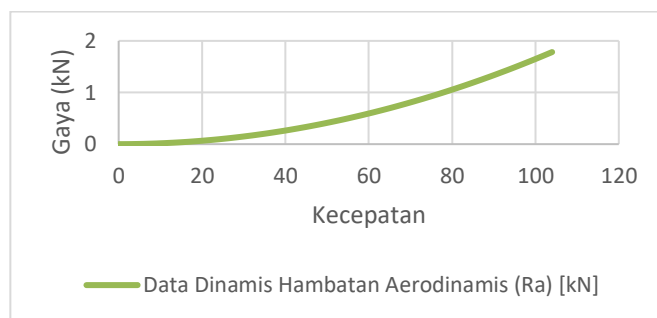
BAB IV

ANALISIS DATA DAN PEMBAHASAN

4.1 Perhitungan Gaya Dorong Kendaraan

Kebutuhan gaya dorong kendaraan ditentukan berdasarkan tinjauan beban yang dialami kendaraan, yaitu beban saat kendaraan berjalan dalam kondisi lurus yang terdiri dari gaya hambat udara, gaya hambat angin dan gaya hambat *rolling*, serta saat kendaraan dalam kondisi menanjak. Perhitungan gaya dorong digunakan untuk mengetahui kecepatan serta percepatan yang mampu dihasilkan kendaraan saat beroperasi.

4.1.1 Perhitungan Gaya Hambat Udara

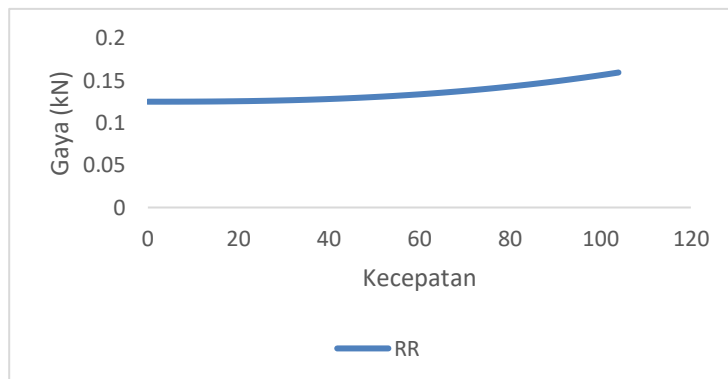


Grafik 4.1 Gaya Hambat Udara Panser ANOA APC 3 6x6

Grafik 4.1 menunjukkan hasil perhitungan gaya hambat udara (*drag*) kendaraan saat melaju pada kecepatan tertentu. Gaya hambat udara diatas didapat dari input data variabel bebas kendaraan berupa luasan penampang *frontal* kendaraan (A_f) yang dihitung menggunakan rumus *coastdown* sebesar 4.452 m^2 , koefisien *drag* (C_d) dari jenis kendaraan (berdasarkan bentuk bodi

yang persis dengan panser 0,8) serta kecepatan kendaraan yang divariasikan dari kecepatan 0 sampai 90 km/jam. Sementara, variabel tetap berupa massa jenis udara (ρ) sebesar 1.2 kg/m^3 . Terlihat melalui persamaan gaya hambat udara, $R_a = \frac{1}{2} \cdot \rho \cdot \text{udara} \cdot C_d \cdot A_f \cdot V^2$ maka semakin besar kecepatan dari kendaraan maka semakin besar juga gaya hambat udara yang terjadi pada kendaraan,dikarenakan fungsi gaya hambat udara kendaraan berbanding lurus dengan fungsi kecepatan.

4.1.2 Perhitungan Gaya Hambat *Rolling* (R_r)



Grafik 4.2 Gaya Hambat *Rolling* Panser ANOA APC 3 6x6

Grafik 4.2 menunjukkan hasil perhitungan gaya hambat *rolling* kendaraan saat melaju pada kecepatan tertentu. Gaya hambat *rolling* didapat dari input data variabel bebas kendaraan berupa koefisien *rolling* yang berbeda pada tiap tingkat kecepatan, yang diperoleh dari tabel hasil uji JJ. Taborek^[3]. Besarnya koefisien ini juga bergantung pada jenis ban dan tekanan dari ban (rumus 2.2), pada ban bertekanan 50 psi nilai f_0 sebesar 0.01 dan

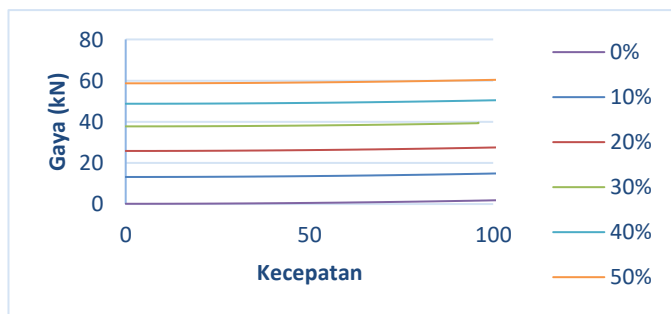
f_s sebesar 0.0025 (didapat dari gambar 2.4). Besarnya gaya hambat *rolling* merupakan hasil perkalian antara koefisien hambatan *rolling* dengan gaya normal kendaraan (rumus 2.4).

Berdasarkan grafik, terlihat bahwa semakin besar kecepatan kendaraan maka semakin besar pula hambatan *rolling* yang muncul, meskipun dalam grafik di atas kenaikan dari hambatan *rolling* sangatlah sedikit.

4.1.3 Perhitungan Gaya Hambat Tanjakan

Gaya hambat ketika mobil menanjak merupakan akumulasi dari gaya hambat total saat melaju pada tanjakan dengan nilai gradeability tertentu (rumus 2.7). Pada penelitian ini, perhitungan gradeability dilakukan pada 0-50 %. Gaya hambat tanjak sendiri nilainya berbanding lurus dengan sinus dari sudut tanjakan. Besarnya gaya tanjak merupakan hasil perkalian antara berat kendaraan dengan sinus sudut tanjak yang dilalui kendaraan (rumus 2.5).

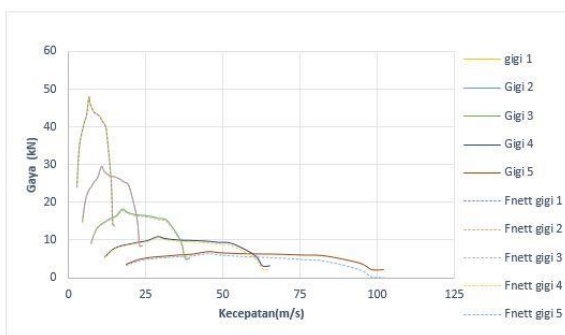
Besarnya gaya hambat tanjak pada setiap kemiringan bernilai konstan. Setelah mendapatkan gaya tanjak, maka selanjutnya pada masing-masing kemiringan nilai gaya tanjak diakumulasikan dengan gaya hambat angin dan *rolling resistance* menjadi gaya hambat total tanjakan. Grafik 4.3 menperlihatkan gaya hambat total (F_t) saat kendaraan melaju pada tanjakan untuk masing-masing *gradeability*



Grafik 4.3 Gaya hambat total tanjakan

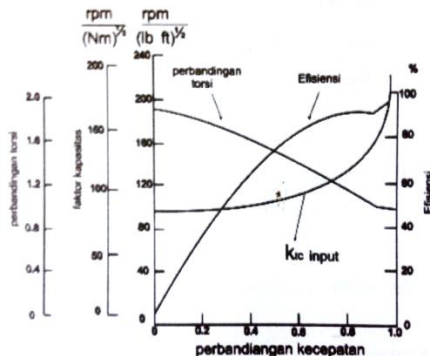
Dari grafik 4.3 terlihat bahwa semakin besar nilai kemiringan dari tanjakan, maka akan semakin besar pula gaya hambat yang dialami kendaraan seiring bertambahnya kecepatan kendaraan.

4.1.4 Perhitungan Gaya Dorong Standar Panser ANOA APC 3 6x6



Grafik 4.4 Gaya dorong (Traksi) Standar Panser ANOA APC 3 6x6

Grafik 4.4 menunjukkan besarnya gaya dorong yang dihasilkan kendaraan pada masing-masing tingkatan transmisi. Dalam melakukan perhitungan gaya dorong (rumus 2.14), nilai rasio j gigi (it) , rasio gardan (ig), torsi mesin (Me), jari-jari roda (r), serta rasio transfer case (itc) menggunakan spesifikasi data yang di dapat dari PT.PINDAD.



Grafik 4.5 Karakteristik Kinerja Torsi Koneverter

Untuk nilai Ctr sendiri didapatkan dari grafik 4.5 dengan cara menarik garis lurus dari perbandingan kecepatan ke garis perbandingan torsi setelah mendapatkan titik pada perbandingan torsi barulah di hubungkan pada parameter perbandingan torsi. Ctr sendiri diperlukan untuk mendapatkan torsi mesin (Me) dimana torsi output yang didapatkan dari grafik kinerja *engine renault Dxi7-V1 Truck defence*(Gambar 2.9) dibagi dengan Ctr yang didapatkan dari grafik karakteristik kinerja torsi konverter

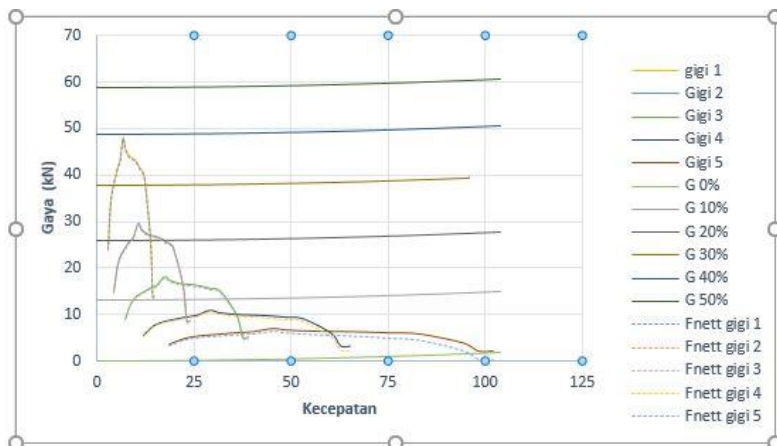
Selanjutnya, hubungan dari nilai rasio torsi(ctr) dan efisiensi torsi konverter terhadap gaya dorong terlihat dari peramaan $Ft = \frac{Ctr \cdot it \cdot ig \cdot itc \cdot Me}{r} \cdot \eta_t \cdot \eta_{ctr} \cdot \eta_{tc}$ dimana semakin besar Ctr dan efisiensi torsi konverter maka semakin besar juga nilai gaya dorong kendarannya.untuk nilai rasio (ctr) dan efisiensi (η) torsi konverter diperoleh dari grafik karakteristik torsi

converter diatas (grafik 4.5). Untuk mencari c_{tr} dan η torsi converter, pertama diasumsikan nilai kapasitas mesin (K_e) sama dengan nilai kapasitas torsi converter (K_{tc}),

$$K_e = \frac{ne}{\sqrt{Me}}$$

Dimana ne dan Me adalah putaran dan torsi mesin. Berikutnya, setelah didapat faktor kapasitas pada masing-masing putaran mesin dilakukan plotting nilai K_{tc} pada grafik 4.5 menggunakan bantuan software agar nilai absis dan ordinat yang didapatkan akurat.

4.2 Karakteristik Traksi Panser ANOA APC 3 6x6 Standar

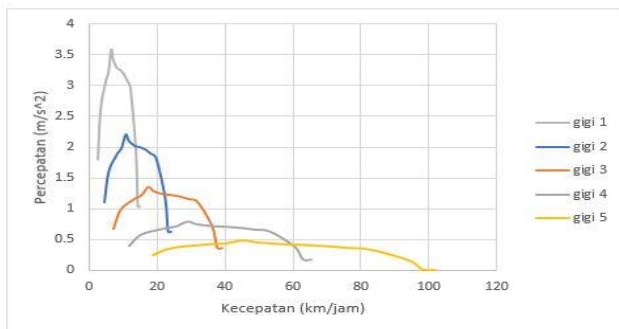


Grafik 4.6 Karakteristik Traksi Panser ANOA APC 3 6x6 Standar

Setelah melakukan perhitungan gaya hambat total dan gaya dorong kendaraan, kedua grafik di plotkan menjadi satu (grafik 4.6). Berdasarkan grafik 4.6 diatas dapat diperoleh

beberapa informasi mengenai kinerja yang mampu dihasilkan oleh kendaraan, seperti traksi yang dihasilkan kendaraan, kecepatan maksimum yang mampu ditempuh, tanjakan maksimum yang mampu dilalui, serta percepatan yang mampu dihasilkan pada masing-masing gigi.

Pada grafik 4.6 terlihat bahwa pada tingkat gigi pertama besarnya traksi maksimum untuk tingkat gigi pertama sebesar 47975,8072 N pada 1700 rpm sehingga mobil ini mampu melewati jalanan dengan *gradeability* sebesar 30%, tetapi tidak mampu melewati jalanan dengan *gradeability* sebesar 40 dan 50 %. Untuk tingkat gigi kedua, nilai traksi maksimum nya sebesar 29,559 kN , pada tingkat gigi ketiga sebesar 18,144 kN, pada tingkat gigi keempat sebesar 10,885 kN dan pada tingkat gigi kelima sebesar 6,96 kN. Gaya traksi yang di hasilkan oleh tingkat gigi yang lebih rendah lebih besar di bandingkan dengan gaya traksi yang di hasilkan oleh tingkat gigi yang lebih tinggi di karenakan rasio di tingkat gigi rendah lebih besar di bandingkan dengan rasio gigi di tingkat gigi yang lebih tinggi dan besarnya rasio gigi di tiap tingkat gigi berbanding lurus dengan gaya traksi yang di hasilkan. Besarnya percepatan yang mampu dicapai kendaraan dapat disajikan dalam bentuk seperti grafik 4.7



Grafik 4.7 Percepatan Panser ANOA APC 3 6x6 tingkat 5 Standar

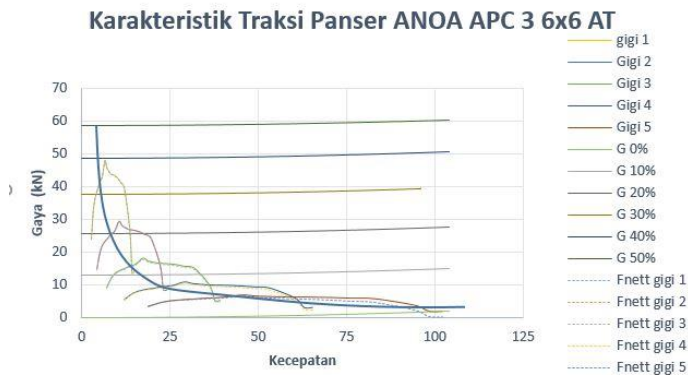
Pada tingkat gigi pertama, percepatan maksimum yang mampu dihasilkan sebesar $3,585 \text{ m/s}^2$, tingkat gigi kedua sebesar $2,204 \text{ m/s}^2$, tingkat gigi ketiga sebesar $1,345 \text{ m/s}^2$, tingkat gigi ke empat sebesar $0,7958 \text{ m/s}^2$, dan pada tingkat gigi kelima sebesar $0,486 \text{ m/s}^2$. Terlihat bahwa antara grafik gaya dorong dengan grafik percepatan kendaraan memiliki kesamaan *trendline*, sebab besarnya percepatan kendaraan merupakan gaya dorong bersih kendaraan yang dibagi dengan masa total kendaraan yang nilainya konstan.

Seperti terlihat pada grafik 4.6 diatas, antara tingkatan gigi 1 menuju tingkatan gigi 2 terdapat jarak yang cukup banyak (loses traksi) ketika dilakukan perpindahan gigi. Pada kecepatan sama 6,6 km/jam, dari tingkat gigi pertama menuju tingkat gigi kedua terdapat loses traksi sebesar 18,416 kN. Pada kecepatan yang sama 10,67 km/jam, dari tingkat gigi kedua menuju tingkat gigi ketiga terdapat loses traksi sebesar 11,414 kN. Begitu juga pada tingkatan berikutnya, yang dari grafik terlihat masih terdapat celah yang cukup besar. Artinya, masih terdapat traksi yang hilang sia-sia pada saat kendaraan dengan rasio gigi standar beroperasi.

Permasalahan yang bisa di lihat dari grafik karakteristik traksi standar Panser ANOA APC 3 6x6 adalah tidak mampunya Panser untuk melewati jalanan dengan *gradeability* 40% dan 50%

ketidak mampuan kendaraan panser untuk melewati *gradeability* sebesar 40% dan 50% adalah parameter yang akan diperbaiki dalam penelitian ini dengan membuat rasio transmisi baru menggunakan teori progresi geometri.

Berikutnya adalah grafik perbandingan eksponensial dari rasio gyrasi dan karakteristik standar dari Panser ANOA APC 3 6x6.



Grafik 4.8 Eksponensial Rasio Gyrasi terhadap karakteristik Panser ANOA APC 3 6x6 kondisi standar 5 tingkat kecepatan

Dari grafik tersebut terlihat bahwa eksponensial dari rasio gyrasi lebih landai di bandingkan dengan grafik karakteristik traksi panser ANOA APC 3 6x6 kondisi standar 5 tingkat kecepatan. Dari grafik tersebut maka perlu di lakukan *redesign* rasio transmisi pada tingkat gigi pertama agar bisa menghasilkan gaya dorong yang lebih besar untuk melewati jalanan dengan *gradeability* 40% dan 50%. Tingkat gigi terakhir pun harus di *redesign* agar menghasilkan kecepatan yang lebih tinggi.

4.3 Perhitungan Rasio Transmisi (Teori Progressi Geometri)

Untuk melakukan perhitungan rasio transmisi yang baru, dibutuhkan informasi daya maksimum yang mampu dihasilkan oleh engine, berdasarkan spesifikasi sebesar 235 kW. Langkah untuk menentukan rasio transmisi menggunakan teori progresi geometri adalah adalah pertama, menghitung rasio tingkat gigi pertama, kemudian menentukan rasio tingkat gigi terakhir, dilanjutkan dengan menghitung nilai kg (ratio gyrasi) agar dapat

menentukan rasio tingkatan gigi berdasarkan banyak tingkatan yang diinginkan.

4.3.1 Menentukan Tingkat Gigi Pertama

Tingkat gigi pertama dirancang dengan mempertimbangkan percepatan yang ingin dicapai pada gigi awal tersebut. Dengan memisalkan kecepatan maksimum yang akan dicapai mobil pada tingkat gigi pertama adalah 14 km/jam, asumsi saat mobil melaju pada tingkat gigi pertama gaya hambat yang dialami hanya gaya hambat rolling ditambah dengan percepatan yang ingin dicapai kendaraan. Daya maksimum engine sebesar 235 kW. Nilai percepatan mobil dapat didapatkan dengan rumus berikut,

$$P_{max} = Rr \cdot V + \frac{W}{g} \cdot a \cdot V$$

Berdasarkan perhitungan gaya hambat kendaraan, nilai Rr pada saat kecepatan 60 km/jam (lih. Tabel Rr di lampiran) sebesar 125,27 newton ($fr=0.06$). Setelah semua parameter dari rumus diatas kita dapatkan, maka didapatkan nilai percepatan kendaraan (a) sebesar $4,529 \text{ m/s}^2$. Dengan demikian, besarnya gaya hambat total yang dialami mobil pada tingkat gigi pertama adalah,

$$\begin{aligned} F &= W \left(fr + \frac{a}{g} \right) \\ F &= 130914,5 \left(0,06 + \frac{4,529}{9,81} \right) \\ F &= 68294,372 \text{ newton} \end{aligned}$$

Pertimbangan selanjutnya dalam mendesain tingkat gigi pertama dengan meninjau traksi yang mampu ditahan bidang kontak antara ban dan jalan, besarnya traksi kendaraan tidak boleh melebihi nilai gaya gesek tersebut agar kendaraan tidak mengalami slip. Besarnya gaya gesek ban dengan bidang kontak adalah,

$$F_{maks} = \mu \times Wr$$

$$F_{maks} = 0.8 \times 130914,5 \\ F_{maks} = 104731,56 \text{ newton}$$

Melihat keadaan traksi maksimal yang terjadi pada roda lebih kecil dari gaya maksimal yang mampu ditahan oleh bidang kontak, maka dapat dipastikan roda tidak akan mengalami slip. Sehingga, rasio pada tingkat transmisi pertama adalah (rumus 2.21),

$$i_1 = \frac{68294,372 \times 0.6}{991,7 \times 5,482 \times 0.9}$$

$$i_1 = 38,46$$

4.3.2 Menentukan Rasio Gigi Tingkat Akhir

Rasio tingkat gigi terakhir ditentukan berdasarkan kecepatan maksimum yang ‘diharapkan mampu dicapai oleh kendaraan. Saat berada pada tingkat gigi terakhir, beban yang dialami kendaraan terdiri dari gaya hambat angin serta gaya hambat rolling, sehingga besarnya gaya total adalah,

$$F = Rr + Ra \\ F = 159,46 + 17383 \\ F = 1942,46 \text{ newton}$$

Selanjutnya dengan persamaan 2.22 didapatkan rasio gigi ke n,

$$i_n = \frac{1942,46 \times 0.6}{333,86 \times 0.9 \times 5,482}$$

$$i_n = 0,707$$

4.3.3 Menentukan Tingkatan Rasio Gigi

- Pemasangan 5 tingkat kecepatan

$$Kg = \left(\frac{0,707}{8,46} \right)^{\frac{1}{4}}$$

$$Kg = 0.537$$

Sehingga,

$$i_2 = 0.537 \times 8,46 = 4,54$$

$$i_3 = 0,537 \times 4,54 = 2,442$$

$$i_4 = 0.537 \times 2,442 = 1,331$$

- Pemasangan 6 tingkat kecepatan

$$Kg = \left(\frac{0,707}{8,46} \right)^{\frac{1}{5}}$$

$$Kg = 0.6$$

Sehingga,

$$i_2 = 0.6 \times 8,46 = 5,149$$

$$i_3 = 0.6 \times 5,149 = 3,0890$$

$$i_4 = 0.6 \times 3,08980 = 1.853$$

$$i_5 = 0.6 \times 1.853 = 1.1123$$

- Pemasangan 7 tingkat kecepatan

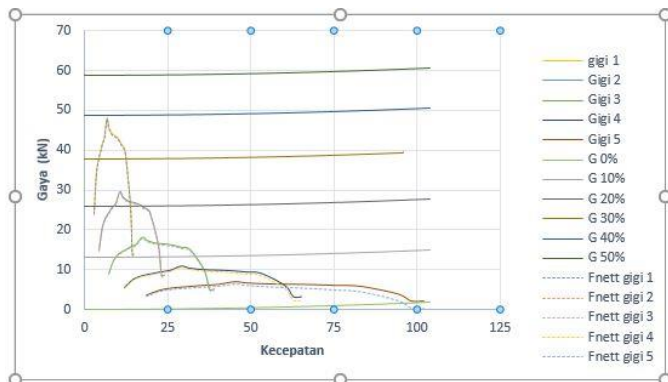
$$Kg = \left(\frac{0,707}{8,46} \right)^{\frac{1}{6}}$$

$$Kg = 0.661$$

- Sehingga,
- $i_2 = 0.661 \times 8,46 = 5,5938$
- $i_3 = 0.661 \times 5,5938 = 3,6975$
- $i_4 = 0.661 \times 3,6975 = 2,44080$
- $i_5 = 0.661 \times 2,44080 = 1.615537$
- $i_6 = 0.661 \times 1.615537 = 1.06787$

4.4 Hasil *redesign* Traksi Panser

4.4.1 Karakteristik Traksi Panser 5 Tingkat Kecepatan

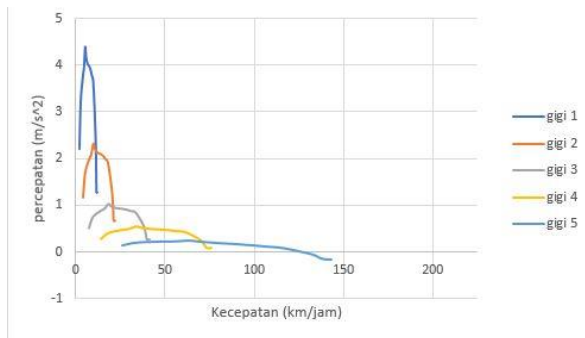


Grafik 4.9 Grafik karakteristik traksi Panser ANOA APC 3 6x6 5 tingkat kecepatan hasil *redesign*

Hasil *redesign* rasio transmisi dengan menggunakan 5 tingkat kecepatan seperti terlihat pada grafik 4.9 menunjukkan bahwa pada tingkat gigi pertama, berbeda dengan kondisi mobil standar, kecepatan maksimum yang mampu dicapai sebesar 12,06 km/jam serta traksi maksimum 58,82 kN pada 1700 rpm. Traction maximum pada tigkat gigi kedua sebesar 31,15 kN, tingkat gigi ketiga 13,93 kN, tingkat gigi keempat 7,593 dan tingkat gigi ke lima sebesar 4,03 kN dengan kecepatan maksimum yang mampu dicapai sama melebihi kondisi standar yaitu sebesar 116,3 km/jam. Secara umum, traksi yang dihasilkan pada masing-masing tingkatan gigi nilainya lebih besar dibandingkan kondisi standar.

Selanjutnya, jika dibandingkan dengan kondisi standar, loses yang di alami ketika perpindahan gigi dari tingkat satu ke tingkat dua pada kecepatan 6,6 km/jam adalah 25,406 kN dan perpindahan dari tingkat dua ke tingkat tiga mengalami loses sebesar 15,78 kN. Terlihat bahwa loses yang di alami setelah

dilakukan *redesign* semakin besar tetapi permasalahan kemampuan kendaraan melewati *gradeability* 40 % terselesaikan meskipun setelah dilakukan *redesign* traksi yang dihasilkan masih belum bisa melewati *gradeability* 50%. Setelah dilakukan *redesign* transmisi kecepatan maksimum Panser Ano APC 3 6x6 mampu melewati kecepatan kondisi standar yaitu dari 102,04 km/jam menjadi 116,3 km/jam.

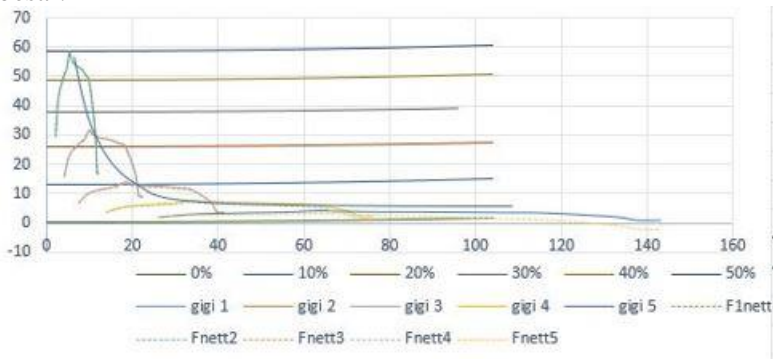


Grafik 4.10 percepatan Panser ANOA APC 3 6x6 5 tingkat kecepatan hasil *redesign*

Grafik 4.10 menunjukkan percepatan yang mampu dihasilkan kendaraan pada masing-masing tingkatan gigi. Secara keseluruhan nilai percepatan pada masing-masing tingkat kecepatan hasil *redesign* lebih rendah dibandingkan dengan kondisi standar, hanya pada tingkat pertama lebih tinggi dibanding kondisi standar. Pada tingkat gigi pertama, percepatan maksimumnya sebesar $4,40 \text{ m/s}^2$, tingkat gigi kedua $2,323 \text{ m/s}^2$, tingkat gigi ketiga $1,09 \text{ m/s}^2$, tingkat gigi keempat $0,544 \text{ m/s}^2$ dan tingkat gigi terakhir sebesar $0,2424 \text{ m/s}^2$.

Untuk percepatan hasil *redesign* lebih baik dibandingkan percepatan pada kondisi standar dikarenakan lebih tingginya

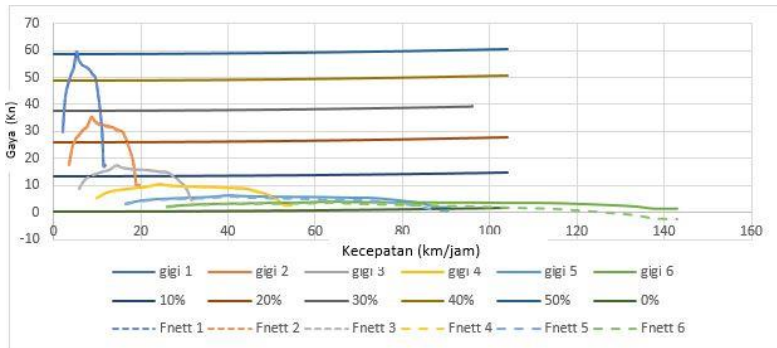
percepatan maka kecepatan maksimum yang di capai akan lebih besar.



Gambar 4.11 Eksponensial Rasio Gyrasi terhadap karakteristik Panser ANOA APC 3 6x6 5 tingkat kecepatan hasil *redesign*

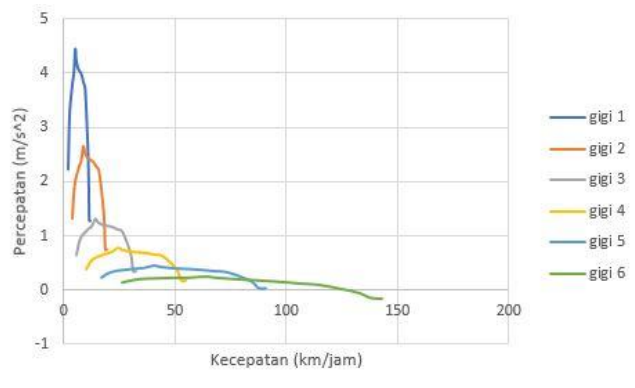
Dari grafik 4.11 terlihat bahwa eksponensial rasio gyrasi sedikit lebih ke kanan dari grafik karakteristik traksi Panser ANOA APC 3 6x6. Dari grafik tersebut terlihat bahwa hasil *redesign* sudah sesuai karena gaya traksi maksimal yang dihasilkan oleh kendaraan sudah sejajar dengan garis eksponensial dari rasio gyrasi akan tetapi untuk tingkat kecepatan pertama kecepatan yang dihasilkan masih belum maksimal di karenakan grafik eksponensial sedikit lebih ke kanan dan tidak sejajar dengan grafik karakteristik traksi hasil *redesign* pada tingkat kecepatan pertama. Untuk tingkat gigi akhir, kecepatan yang dihasilkan sudah sesuai dengan grafik eksponensial rasio gyrasi.

4.4.2 Karakteristik Traksi Panser 6 Tingkat Kecepatan



Grafik 4.12 Grafik karakteristik traksi Panser ANOA APC 3 6x6 6 tingkat kecepatan hasil *redesign*

Hasil *redesign* rasio transmisi dengan menggunakan 6 tingkat kecepatan seperti terlihat pada grafik 4.12 menunjukkan bahwa pada tingkat gigi pertama, berbeda dengan kondisi mobil standar, kecepatan maksimum yang mampu dicapai sebesar 11,942 km/jam serta traksi maksimum 58,82 kN pada 1700 rpm. Traksi maksimum pada tigkat gigi kedua sebesar 35,339 kN, tingkat gigi ketiga 17,628 kN, tingkat gigi keempat 10,572 kN, tingkat gigi ke lima sebesar 6,346 kN, sedangkan tingkat gigi keenam sebesar 4,207 kN. Kecepatan maksimum yang mampu dicapai berbeda seperti kondisi standar yaitu sebesar 116,3 km/jam dengan percepatan hasil perhitungan seperti grafik 4.13 berikut

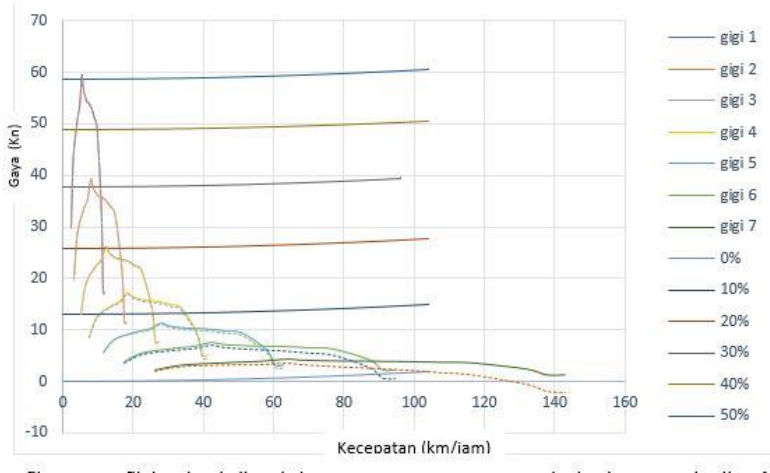


Grafik 4.13 percepatan Panser ANOA APC 3 6x6 6 tingkat kecepatan hasil *redesign*

Jika dibandingkan dengan kondisi standar maupun hasil *redesign* dengan 5 tingkat, distribusi traksi pada range kecepatan 0 sampai 117 km/jam terlihat lebih merata. Selain itu, loses traksi antara tingkat gigi pertama menuju tingkat gigi kedua, begitu seterusnya, memiliki nilai yang lebih besar dibandingkan dengan kondisi mobil standar namun lebih kecil jika dibandingkan dengan hasil *redesign* 5 tingkat kecepatan. Hal ini dapat dilihat dari kecilnya jarak antara grafik saat melakukan perpindahan tingkat kecepatan. Pada kecepatan 6,6 km/jam, dari tingkat gigi pertama menuju tingkat gigi kedua loses traksi sebesar 22,11 kN, nilai loses traksi ini lebih kecil jika dibandingkan hasil *redesign* 5 tingkat kecepatan.

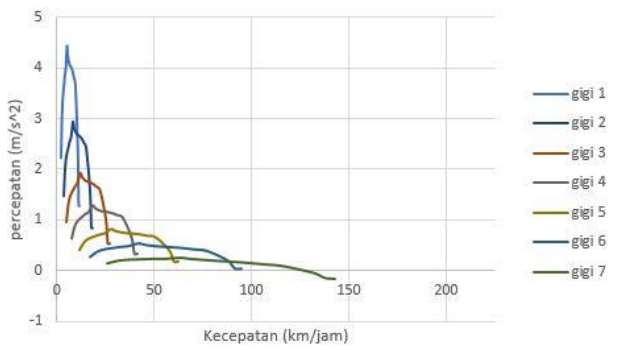
Sedangkan pada tingkat gigi akhir, untuk semua hasil *redesign* nilai traksi nya sama. Serta, tingkat gigi akhir dapat bekerja optimal ditinjau dari besarnya traksi yang mampu dihasilkan tingkat gigi terakhir mampu melawan gaya hambat kendaraan pada kecepatan $\pm 116,3$ km/jam.

4.4.3 Karakteristik Traksi Panser 7 Tingkat Kecepatan



Grafik 4.14 Grafik karakteristik traksi Panser ANOA APC 3 6x6 7 tingkat kecepatan hasil *redesign*

Hasil *redesign* rasio transmisi dengan menggunakan 7 tingkat kecepatan seperti terlihat pada grafik 4.14 menunjukkan bahwa pada tingkat gigi pertama, berbeda dengan kondisi mobil standar, kecepatan maksimum yang mampu dicapai sebesar 11.942 km/jam serta traksi maksimum 59,468 kN pada 1700 rpm. Traction maximum pada tigkat gigi kedua sebesar 39,32 kN, tingkat gigi ketiga 25,99 kN, tingkat gigi keenam sebesar 7,506 kN, sedangkan pada tingkat gigi ketujuh 4,201 kN. Kecepatan maksimum yang mampu dicapai berbeda seperti kondisi standar yaitu sebesar 116,3 km/jam dengan percepatan hasil perhitungan seperti grafik 4.14 berikut



Grafik 4.15 percepatan Panser APC 3 6x6 7 tingkat kecepatan hasil *redesign*

Jika dibandingkan dengan kondisi standar, distribusi traksi pada range kecepatan 0 sampai 116,3 km/jam jauh lebih merata. Serta nilai traksi pada tingkat gigi terakhir lebih tinggi jika dibandingkan kondisi standar. Selain itu, loses traksi antara tingkat gigi pertama menuju tingkat gigi kedua, begitu seterusnya, memiliki nilai yang lebih kecil dibandingkan hasil *redesign* dengan 5 dan 6 tingkat kecepatan. Hal ini dapat dilihat dari kecilnya gap antara grafik saat melakukan perpindahan tingkat kecepatan. Pada kecepatan 6,6 km/jam misalnya, nilai loses traksi dari gigi pertama menuju gigi ke dua sebesar 20,827 kN

Sedangkan pada tingkat gigi akhir, untuk semua hasil *redesign* nilai traksi nya sama. Serta, tingkat gigi akhir dapat bekerja optimal ditinjau dari besarnya traksi yang mampu dihasilkan tingkat gigi terakhir mampu melawan gaya hambat kendaraan pada kecepatan $\pm 116,3$ km/jam.

4.5 Hasil Dari Analisis

Berdasarkan data dan analisis yang telah dilakukan, diperoleh beberapa hasil analisis sebagai berikut,

1. Pada kondisi standar, Panser ANOA APC 3 6x6 mampu berjalan mencapai kecepatan maksimum sebesar 102,04 km/jam pada tingkat gigi kelima. Sedangkan, traksi yang dihasilkan oleh tingkat gigi pertama tidak mampu melewati jalanan dengan *gradeability* 40% dan 50%
2. Pada kondisi standar panser mampu menghasilkan traksi maksimum sebesar 847,975 kN pada 1700 rpm pada tingkat gigi pertama, sehingga percepatan maksimum yang dihasilkan sebesar $3,585 \text{ m/s}^2$
3. Antara tingkat gigi pertama menuju tingkat gigi kedua, serta tingkat gigi kedua menuju tingkat gigi ketiga pada kondisi standar, masih terdapat loses traksi yang cukup besar dilihat dari celah yang ada pada grafik karakteristik traksi
4. Hasil *redesign* rasio transmisi pada tingkat gigi pertama (pada 5,6 tingkat kecepatan) menghasilkan traksi kotor yang lebih tinggi dari kondisi standar yaitu sebesar 58,82 kN dan 59,468 kN pada 7 tingkat kecepatan
5. Hasil *redesign* rasio transmisi pada tingkat gigi terakhir (baik pada 5,6 maupun 7 tingkat kecepatan) menghasilkan gaya dorong yang mampu melawan gaya hambat angin sampai kecepatan 116,3 km/jam
6. Besarnya loses traksi pada tingkat gigi pertama menuju tingkat gigi kedua ditinjau pada kecepatan 6,6 km/jam mengalami kenaikan dari kondisi standar sebesar 18,82 kN, hasil *redesign* 5 tingkat sebesar 25,406 kN, hasil *redesign* 6 tingkat kecepatan sebesar 22,11 kN, kemudian pada hasil *redesign* 7 tingkat kecepatan sebesar 20,827 kN, Dari kondisi Standar memang setelah dilakukan *redesign* loses yang terjadi semakin besar tetapi setelah di lakukan penambahan jumlah gigi maka loses yang terjadi pun semakin kecil.Artinya loses traksi dapat di minimalisir dengan penambahan jumlah gigi.
7. Setelah dilakukan *redesign* transmisi terlihat bahwa kendaraan Panser ANOA APC 3 6x6 mampu melewati jalanan dengan *gradeability* 40 tetapi masih belum bias melewati jalanan dengan *gradeability* 50%

BAB V

KESIMPULAN DAN SARAN

5. 1 Kesimpulan

Berdasarkan data dan analisa yang telah dilakukan, diperoleh beberapa kesimpulan penelitian sebagai berikut,

1. Pada kondisi standar, gaya hambat Panser ANOA APC 3 6x6 pada kondisi jalan standar adalah 1,978 kN,pada kondisi jalan dengan *gradeability* 10% sebesar 14,944 kN,pada kondisi jalan dengan *gradeability* 20% sebesar 27,654 kN,pada kondisi jalan dengan *gradeability* 30% sebesar 39,5977 kN,pada kondisi jalan dengan *gradeability* 40% sebesar 50,598 kN dan pada kondisi jalan dengan *gradeability* 50% sebesar 60,524 kN.
2. Karakteristik traksi Panser ANOA APC 3 6x6 kondisi standar adalah gaya traksi terbesar 47975,8072 N pada 1700 rpm di tingkat gigi pertama dan percepatan terbesar 3,858 m/s² pada tingkat gigi pertama
3. Karakteristik traksi Panser ANOA APC 3 6x6 setelah di lakukan *redesign* dengan menggunakan teori progresi geometri yaitu sebesar 58,82 kN pada 1700 rpm di tingkat gigi pertama untuk 5 t dan 6 tingkat kecepatan sedangkan untuk 7 tingkat kecepatan sebesar 59,468 kN pada 1700 rpm di tingkat gigi pertama.Untuk percepatan dari 5,6,dan 7 tingkat kecepatan adalah sama yaitu tertinggi pada tingkat gigi pertama yaitu 4,4 m/s²

5.2 Saran

1. Perlu dilakukan analisa lebih lanjut mengenai desain detail susunan planetary gear agar rasio hasil *redesign* dapat dipertimbangkan untuk dapat diproduksi
2. Perlu dilakukan tinjauan mengenai berat optimal sistem transmisi untuk kendaraan
3. Perlu dilakukan tinjauan volume transmisi yang sesuai ruang yang tersedia pada mobil

DAFTAR PUSTAKA

- [1] Jazar, Reza N., “*Vehicle Dynamic Theory*”, Springer, Melbourne, 2009
- [2] Rizki, Mohamad Fikki., “Analisa Kinerja Sistem Transmisi pada Kendaraan Multiguna Pedesaan untuk Mode Pengaturan Kecepatan Maksimal Pada Putaran Maksimal Engine dan Daya Maksimal Engine”, Tugas Akhir 2013
- [3] Sutantra, I. Nyoman., Sampurno, Bambang., “Teknologi Otomotif Edisi Kedua, Institut Teknologi Sepuluh Nopember”, Guna Widya, Surabaya, 2010
- [4] Taborek, Jaroslav J. ,“Mechanics of Vehicles”, Penton Publishing Co., Ohio, 1957.
- [5] Tenaya, I G N P, Atmika, I Ketut Adi., “Karakteristik Traksi dan Kinerja Transmisi pada Sistem *Gear Transmission Dan Gearless Transmission*”, Tugas Akhir 2004.
- [6]Bowers, Ben. (2013) Four Wheel Drive Vs All Wheel Drive. Accesed at <http://gearpatrol.com/2013/03/29/four-wheel-drive-vs-all-wheel-drive-everything-you-need-to-know/>
- [7] Dzulqornain, fitroh. (2015) Prinsip kerja 4WD. Accesed at <http://www.insinyoer.com/prinsip-kerja-4wd-four-wheel-drive/>
- [8]Nice,Karim.(2001)HowFourWheelDriveWork.Accesed at <http://auto.howstuffworks.com/four-wheel-drive.htm>
- [9] Yudha,Nico.(2016)Analisi Karakteristik Traksi Serta *Redesign* Rasio Transmisi Mobil Toyota Fortuner 4.0 V6 SR(AT 4x4).Accesed at <http://digilib.its.ac.id>

[10] ZF Friedrichshafen AG .Transmission gear ratio ZF 6HP502S . Accessed at <http://www.webcat.zf.com/>

BIODATA PENULIS



Muhamad Johan Putra Prasetya dilahirkan di Bekasi, 11 juni 1993 dengan keadaan harus menempuh pendidikan formal.

Orang tua penulis merupakan orang tua yang sangat perhatian dan berdemokrasi sehingga penulis di bebaskan untuk bersekolah dimanapun.Riwayat pendidikan diawali di SDN

Banjarsari IV, Bandung pada tahun 1999-2005.Penulis melanjutkan pendidikannya di SMP Negeri 5 Bandung pada tahun 2008-2011.Kemudian melanjutkan pendidikannya di SMA Negeri 3 Bandung pada tahun 2008-2011.Selanjutnya penulis melanjutkan pendidikan jenjang S-1 Jurusan Teknik Mesin Institut Teknologi Sepuluh Nopember(ITS)

Penulis pernah aktif dalam organisasi pencinta alam di SMA Negeri 3 Bandung menjabat sebagai koordinator lapangan.Motto hidup penulis terkini “orang yang mempunyai masa lalu terburuk belum tentu mempunyai masa depan yang buruk”.

Untuk semua informasi dan masukan terkait tugas akhir ini dapat menghubungi penulis melalui email
mjohanputra11@gmail.com

“Halaman ini sengaja dikosongkan”

Lampiran 1 Tabel perhitungan karakteristik traksi rasio gigi standar

Tingkat 1

it	ig	Rpm	Vk [km/jam]	Csr	Ctr	Torsi Konverter	Torsi [Kg-m]	Torque [N-m]	Ft [N]	F [kN]	Rr	Ra	Ft Nett(kN)	a[Percepatan]
6.893	5.428	700	1.116647232	0.264	1.8	0.33	33.97889908	333.333	8574.309009	8.574309	0.12500041	0.0002056	8.449103	0.633128737
6.893	5.428	800	1.455025182	0.301	1.75	0.48	34.9490316	342.85	12471.47484	12.47147	0.1250008	0.00349086	12.346125	0.925149865
6.893	5.428	1000	2.278008694	0.377	1.64	0.51	37.28848114	365.8	13249.27457	13.24927	0.12500245	0.00385562	13.1234165	0.983395763
6.893	5.428	1090	2.706963169	0.411	1.6	0.62	57.16106014	560.75	24088.80907	24.08881	0.12500377	0.001208248	23.9525971	1.795623609
6.893	5.428	1200	3.277432137	0.452	1.55	0.633	78.90927625	774.1	32890.22547	32.89023	0.12500608	0.001771164	32.7634482	2.455110395
6.893	5.428	1300	3.853448086	0.49056	1.5	0.712	81.54943935	800	36999.47951	36.99948	0.12500911	0.002448445	36.872022	2.762984036
6.893	5.428	1430	4.657349499	0.539	1.5	0.766	81.54943935	800	39805.61981	39.80562	0.12501463	0.003576589	39.6770286	2.973175616
6.893	5.428	1500	5.130051409	0.566	1.4	0.798	87.37410805	857.14	41468.37954	41.46838	0.12501863	0.004339451	41.3390215	3.097716108
6.893	5.428	1600	5.829768668	0.603	1.35	0.833	90.61039755	888.888	42872.6912	42.87271	0.12502564	0.005603947	43.1566395	3.233918286
6.893	5.428	1700	6.574200157	0.64	1.29	0.866	101.0907238	991.7	47975.8072	47.97581	0.12503463	0.007126516	47.8436461	3.58513646
6.893	5.428	1770	7.133671841	0.667	1.21	0.8988	98.98063201	971	45730.0882	45.73009	0.12504247	0.008391076	45.5965546	3.416759434
6.893	5.428	1900	8.220167181	0.716	1.208	0.901	95.096833996	932.9	43970.47866	43.97048	0.12506054	0.011141732	43.8342764	3.284696619
6.893	5.428	2000	9.112034776	0.754	1.2	0.923	92.5922528	908.33	43567.33351	43.56733	0.12507832	0.013690589	43.4285646	3.254294837
6.893	5.428	2110	10.14867979	0.796	1.17	0.9405	91.39449541	896.58	42723.62392	42.72361	0.12510254	0.016982847	42.5815385	3.19082342
6.893	5.428	2200	11.03353813	0.83	1.05	0.9405	98.63404689	957.6	41378.8421	41.37884	0.12512637	0.020073402	41.2336423	3.089819582
6.893	5.428	2300	12.04927622	0.867	1.03	0.9405	96.88888889	950.48	39872.49227	39.87249	0.12515749	0.023939403	39.723954	2.976650084
6.893	5.428	2450	13.68633062	0.9245	1.01	0.9405	64.79102956	635.6	26145.58944	26.14559	0.12521655	0.030886269	25.9894866	1.947507427
6.893	5.428	2550	14.24495636	0.9245	1.01	0.9405	34.516831957	338.61	13928.82007	13.92882	0.12523933	0.03459052	13.701217	1.031856252
6.893	5.428	2650	14.80358209	0.9245	1.01	0.9405	34.516831957	338.61	13928.82007	13.92882	0.12526349	0.036134748	13.7674218	1.03165394

Tingkat 2

Tingkat Gigi 2		Torsi Konverter													
it	ig	Rpm	Vk [km/jam]	Csr	Ctr	Konverter	Torsi	Torsi [kg-m]	Torque [N-m]	Ft [N]	Ft [kN]	Rr	Ra	Ft Nett(kN)	a(Percepatan)
4.247	5.428	700	1.812349747	0.264	1.8	0.33	33.97889908	333.333	5282.9088	5.283909	0.12500138	0.000541595	5.15736582	0.38646428	
4.247	5.428	800	2.361546639	0.301	1.75	0.48	34.9490316	342.85	7684.078575	7.684079	0.12500268	0.000919569	7.55815633	0.566366154	
4.247	5.428	1000	3.69772194	0.377	1.64	0.51	37.26898114	355.8	8163.306123	8.163306	0.12500221	0.002254001	8.03604391	0.602176389	
4.247	5.428	1090	4.393477072	0.411	1.6	0.62	57.16106014	560.75	14841.88353	14.84189	0.12501264	0.003182791	14.7136981	1.102562615	
4.247	5.428	1200	5.319364191	0.452	1.55	0.63	78.98927625	774.1	20264.73053	20.26473	0.12502039	0.004655636	20.1350445	1.508808131	
4.247	5.428	1300	6.254254216	0.49056	1.5	0.712	81.54949355	800	22796.57471	22.79657	0.12503057	0.006449744	22.6650944	1.698395983	
4.247	5.428	1430	7.559008735	0.539	1.5	0.76	81.54949355	800	24525.52841	24.52553	0.12504909	0.009421522	24.3910578	1.827730071	
4.247	5.428	1500	8.302621718	0.566	1.4	0.79	87.374110805	857.14	25550.0084	25.55001	0.12506251	0.011431069	25.4135148	1.904347307	
4.247	5.428	1600	9.461877889	0.603	1.35	0.83	90.61039755	888.888	26670.68503	26.67069	0.12508606	0.01476203	26.5308369	1.98807307	
4.247	5.428	1700	10.67011106	0.64	1.29	0.86	101.0907238	991.7	29559.44403	29.55944	0.12511622	0.018772809	29.4155558	2.204237977	
4.247	5.428	1770	11.57814928	0.657	1.21	0.898	98.98063201	971	28175.78475	28.17578	0.12514254	0.022103939	28.0285383	2.10302608	
4.247	5.428	1900	13.34156166	0.716	1.208	0.901	95.096389956	932.9	27091.63251	27.09163	0.12503017	0.023949772	26.9370795	2.018514767	
4.247	5.428	2000	14.78908776	0.754	1.2	0.92	92.5922528	908.33	26843.24175	26.84324	0.12526285	0.036064022	26.6819149	1.999394146	
4.247	5.428	2110	16.47159167	0.795	1.17	0.940	91.39449541	895.58	26323.40502	26.32341	0.1253441	0.044736554	26.1533244	1.959784516	
4.247	5.428	2200	17.90774154	0.83	1.05	0.9405	98.63404689	957.6	25494.84149	25.49484	0.12542408	0.052877757	25.3165396	1.897080528	
4.247	5.428	2300	19.55631293	0.867	1.03	0.9405	96.88888889	950.48	24566.73069	24.56673	0.12552853	0.063061653	24.3781405	1.805762121	
4.247	5.428	2450	22.21239083	0.9245	1.01	0.9405	64.79102956	635.6	16109.14237	16.10914	0.12572675	0.081361225	15.9026544	1.19161142	
4.247	5.428	2550	23.1199653	0.9245	1.01	0.9405	34.51681957	338.61	8581.996063	8.581996	0.12580319	0.088138504	8.36805437	0.627055404	
4.247	5.428	2650	24.02652853	0.9245	1.01	0.9405	34.51681957	338.61	8581.996063	8.581996	0.12589426	0.0951086873	8.36092493	0.626521163	

Tingkat 3

Tingkat Gigi 3										Torsi Konverter					
it	ig	Rpm	Vk [km/jam]	Csr	Ctr	Torsi Konverter	Torsi [Kg-m]	Torque [N-m]	Ft [N]	Ft [kN]	Rr	Ra	Ft Nett(kN)	a(Percepatan)	
2.607	5.428	700	2.952454689	0.264	1.8	0.33	33.97889908	333.333	324.887507	3.242888	0.1250468	0.001437335	3.1164549	0.233529074	
2.607	5.428	800	3.847137928	0.301	1.75	0.48	34.9490316	342.85	4716.833731	4.716834	0.1250097	0.002440433	4.58938423	0.349802902	
2.607	5.428	1000	6.023135377	0.377	1.64	0.51	37.28848114	365.8	5011.005195	5.011005	0.12502782	0.005981865	4.87999551	0.365795993	
2.607	5.428	1090	7.157306147	0.411	1.6	0.62	57.16106014	560.75	9110.623132	9.110623	0.12504283	0.008446768	8.97713354	0.672696406	
2.607	5.428	1200	8.665564629	0.452	1.55	0.633	78.90927625	774.1	12439.40487	12.4394	0.12506908	0.012382071	12.3019537	0.921838919	
2.607	5.428	1300	10.18865273	0.49056	1.5	0.712	81.54943935	800	13933.56493	13.93356	0.12510355	0.017116892	13.8513445	1.037942637	
2.607	5.428	1430	12.31419643	0.539	1.5	0.766	81.54943935	800	15054.87463	15.05487	0.12516629	0.02503658	14.9047047	1.116875585	
2.607	5.428	1500	13.56403896	0.566	1.4	0.798	87.37410805	857.14	15683.7462	15.68375	0.12521175	0.030936769	15.528198	1.163596711	
2.607	5.428	1600	15.41411409	0.603	1.35	0.833	90.61039755	888.888	16371.66844	16.37167	0.12529151	0.039176761	16.2072002	1.214477346	
2.607	5.428	1700	17.38241722	0.64	1.29	0.866	101.0907238	991.7	18144.91939	18.14492	0.12539365	0.04982019	17.9697048	1.34654963	
2.607	5.428	1770	18.86168009	0.667	1.21	0.8988	98.98063201	971	17295.56651	17.29557	0.12548204	0.058661362	17.1114223	1.282234718	
2.607	5.428	1900	21.73441211	0.716	1.208	0.901	95.09683995	932.9	16630.06497	16.63006	0.125568021	0.077890983	16.4264858	1.230939388	
2.607	5.428	2000	24.09354151	0.754	1.2	0.932	92.59225208	908.33	16477.59154	16.47759	0.12559034	0.09570947	16.2559913	1.218139494	
2.607	5.428	2110	26.83346752	0.796	1.17	0.9405	91.39449541	896.58	16158.49232	16.15849	0.12616558	0.118725768	15.913601	1.192476556	
2.607	5.428	2200	29.17306419	0.83	1.05	0.9405	98.63404689	957.6	15649.88268	15.64988	0.1264365	0.140331603	15.3831146	1.152724959	
2.607	5.428	2300	31.85871155	0.867	1.03	0.9405	96.88888889	950.48	15080.16645	15.08017	0.12679028	0.167538513	14.7860177	1.10798184	
2.607	5.428	2450	36.18714113	0.9245	1.01	0.9405	64.79102956	635.6	9888.517578	9.888518	0.12746517	0.215923514	9.54513236	0.715259075	
2.607	5.428	2550	37.6641673	0.9245	1.01	0.9405	34.51681957	338.61	5268.015949	5.268015	0.12772064	0.233909646	4.90638566	0.367657225	
2.607	5.428	2650	39.14119347	0.9245	1.01	0.9405	34.51681957	338.61	5268.015949	5.268015	0.12799526	0.252615223	4.88740546	0.366334954	

Tingkat 4

Tingkat Gigi 4		Torsi Konverter												
it	ig	Rpm	Vk [km/jam]	Csr	Ctr	Konverter	Torsi [kg-m]	Torque [N-m]	Ft [N]	Ft [kN]	Br	Ra	Ft Nettl[kN]	a[Percepatan]
1.554	5.428	700	4.921387068	0.264	1.8	0.33	33.97889908	333.333	1945.483721	1.945484	0.12501679	0.033939317	1.816477331	0.136116397
1.554	5.428	800	6.412716482	0.301	1.75	0.48	34.9493316	342.85	2823.738379	2.829738	0.12503254	0.06780715	2.69792512	0.202167488
1.554	5.428	1000	10.03984266	0.377	1.64	0.51	37.28948114	365.8	3006.12869	3.006219	0.12509981	0.01630543	2.86449334	0.214649557
1.554	5.428	1090	11.93036901	0.411	1.6	0.62	57.16103014	561.75	5465.674944	5.465675	0.12515363	0.02469345	5.31705306	0.398490278
1.554	5.428	1200	14.444559061	0.452	1.55	0.633	78.93927625	774.1	7462.688619	7.462689	0.12524781	0.03440344	7.389303737	0.54724898
1.554	5.428	1300	16.98325937	0.49056	1.5	0.712	81.594943935	800	8395.065422	8.395065	0.12537145	0.04755903	8.22213489	0.616121011
1.554	5.428	1430	20.53628523	0.539	1.5	0.766	81.594943935	800	9031.769822	9.03177	0.12559652	0.069472369	8.83670093	0.662173168
1.554	5.428	1500	22.69661916	0.566	1.4	0.798	87.37418085	857.14	9409.04477	9.40945	0.1257598	0.084290554	9.19899482	0.689321455
1.554	5.428	1600	25.69347534	0.603	1.35	0.833	90.61039755	888.888	9821.745089	9.821745	0.1260457	0.108851271	9.58684722	0.718384955
1.554	5.428	1700	28.97440005	0.64	1.29	0.866	101.0907238	991.7	10885.55961	10.88556	0.12641217	0.138426837	10.6207206	0.759857671
1.554	5.428	1770	31.44015345	0.667	1.21	0.898	98.98063201	971	1076.01305	10.37601	0.12673205	0.162989905	10.0862911	0.755810497
1.554	5.428	1900	36.23865242	0.716	1.08	0.931	95.06839956	932.9	9976.763183	9.976763	0.12746877	0.216419182	9.63287523	0.72184038
1.554	5.428	2000	40.15937066	0.754	1.2	0.933	92.5922528	908.33	9885.290819	9.885291	0.12819387	0.265928685	9.49116826	0.711215306
1.554	5.428	2110	44.72816484	0.796	1.17	0.945	91.3949551	895.58	969.855768	9.698556	0.12918122	0.32978151	9.2347954	0.692042426
1.554	5.428	2200	48.62799126	0.83	1.05	0.945	98.63404689	957.6	9388.729008	9.388729	0.13015307	0.389909711	8.888666323	0.68455847
1.554	5.428	2300	53.19464259	0.867	1.03	0.945	96.88888889	950.49	9046.942971	9.049493	0.13142116	0.46503661	8.45051715	0.63324706
1.554	5.428	2450	60.31961441	0.9245	1.01	0.945	94.72102956	635.6	5931.351934	5.932352	0.13380373	0.599940498	5.19858026	0.389552661
1.554	5.428	2550	62.78163949	0.9245	1.01	0.945	34.5681957	338.61	3160.405425	3.160405	0.13475959	0.649915204	2.37573063	0.178024026
1.554	5.428	2650	65.24366456	0.9245	1.01	0.945	34.5681957	338.61	3160.405425	3.160405	0.13574474	0.701888431	2.32277226	0.17405562

Tingkat 5

Tingkat Gigi 5		Torsi Konverter												
it	ig	Rpm	Vk [km/jam]	Csr	Ctr	Torsi Konverter	Torsi [Kg-m]	Torque [N-m]	Ft [N]	Ft [kN]	Rr	Ra	Ft Nett(kN)	a(Percepatan)
1	5.428	700	7.697049374	0.264	1.8	0.33	33.97889908	333.333	1243.915423	1.243915	0.12505136	0.009768771	1.10909529	0.083109426
1	5.428	800	10.02948858	0.301	1.75	0.48	34.9490316	342.85	1809.295639	1.809296	0.12509955	0.016586279	1.66760881	0.124961394
1	5.428	1000	15.70231393	0.377	1.64	0.51	37.28848114	365.8	1922.134712	1.922135	0.12530532	0.040655443	1.75617395	0.131597088
1	5.428	1090	18.65907113	0.411	1.6	0.62	57.16106014	560.75	3494.677074	3.494677	0.12546998	0.05740803	3.31179907	0.248167783
1	5.428	1200	22.59133972	0.452	1.55	0.633	78.90927625	774.1	4771.540036	4.77154	0.12575806	0.084154116	4.56162786	0.341822994
1	5.428	1300	26.56181766	0.49056	1.5	0.712	81.54943935	800	5367.688889	5.367689	0.1261363	0.116334084	5.1252185	0.384055339
1	5.428	1430	32.1031101	0.539	1.5	0.766	81.54943935	800	5774.788889	5.774789	0.12682481	0.169936085	5.47802799	0.410492918
1	5.428	1500	35.36144436	0.566	1.4	0.798	87.37410805	857.14	6016.01328	6.016013	0.12732367	0.206182301	5.682510731	0.425815459
1	5.428	1600	40.18459543	0.603	1.35	0.833	90.61039755	888.888	6279.888165	6.279888	0.12819889	0.26626286	5.88542642	0.441021088
1	5.428	1700	45.31596168	0.64	1.29	0.866	101.0897238	991.7	6960.076484	6.960076	0.12931994	0.338605332	6.49215121	0.486485666
1	5.428	1770	49.1724	0.667	1.21	0.8988	98.98065201	971	6634.279442	6.634279	0.13029851	0.398688854	6.10529198	0.457496588
1	5.428	1900	56.66161238	0.716	1.208	0.901	95.09683996	932.9	6579.004993	6.379005	0.13255218	0.593982096	5.71707032	0.428405419
1	5.428	2000	62.80925571	0.754	1.2	0.923	92.5922528	908.33	6320.518426	6.320518	0.13477033	0.650487096	5.535261	0.414781641
1	5.428	2110	69.95484982	0.796	1.17	0.9405	91.39449541	896.58	6198.117499	6.198117	0.13779071	0.806913625	5.25341317	0.393661534
1	5.428	2200	76.05417833	0.83	1.05	0.9405	98.63404689	967.6	6003.023661	6.003024	0.14076368	0.953756584	4.90850339	0.367815916
1	5.428	2300	83.05566102	0.867	1.03	0.9405	96.88888889	950.48	5784.490391	5.78449	0.14464595	1.137443395	4.50240084	0.337384851
1	5.428	2450	94.33987693	0.9245	1.01	0.9405	64.79102566	635.6	3793.063896	3.793064	0.15201396	1.467513152	2.17353678	0.162872745
1	5.428	2550	98.19048416	0.9245	1.01	0.9405	34.51681957	338.61	2020.719581	2.02072	0.15485544	1.589754983	2.76109116	0.020690083
1	5.428	2650	102.0410914	0.9245	1.01	0.9405	34.51681957	338.61	2020.719581	2.02072	0.1578691	1.716886483	0.145964	0.01093773

Lampiran 2 Tabel perhitungan karakteristik traksi 5 tingkat kecepatan hasil *redesign*

Tingkat gigi 1	Torsi Konverter								Effisiensi Torsi Konverter	Torsi [kg-m]	Torque [N-m]	F _t [N]	F _t [kN]	fr	R _f [kN]	R _f [N]	F _t Nett [kN]	Percepatan [m/s ²]
	i _t	ig	Rpm	V _k [km/jam]	V _k [m/s]	Csr	Otr											
0.40	5.49	700	0.93936711	0.25276584	0.264	1.8	0.33	33.78859308	333.333	10532.52448	10.52852	0.01	0.13345	0.000136	10.38995798	0.77055405		
0.40	5.49	800	1.185556744	0.32951072	0.301	1.75	0.49	34.9498316	342.85	15816.64111	15.30654	0.01	0.13345	0.000132	15.17295694	1.13697194		
0.40	5.49	1000	1.856065476	0.515573748	0.377	1.64	0.51	37.28848114	355.8	16261.25967	16.26126	0.01	0.13345	0.000158	16.12774558	1.20845592		
0.40	5.49	1090	2.305567036	0.61265751	0.411	1.6	0.62	57.16106204	560.73	29564.98085	29.56497	0.01	0.13345	0.000082	29.43071584	2.205373985		
0.40	5.49	1200	2.670371125	0.741768757	0.452	1.55	0.639	78.93927265	774.1	40367.2287	40.36723	0.01	0.13345	0.000176	40.32386074	3.014807248		
0.40	5.49	1300	3.139564750	0.872151433	0.4956	1.5	0.712	81.54943935	803	45410.648	45.41065	0.01	0.13345	0.000162	45.27552124	3.391695314		
0.40	5.49	1430	3.794948385	1.054081629	0.539	1.5	0.765	81.54943935	803	48854.714	48.85471	0.01	0.13345	0.000374	48.71888927	3.650722313		
0.40	5.49	1500	4.179837591	1.16108666	0.556	1.4	0.798	87.37410805	857.14	50895.47235	50.89547	0.01	0.13345	0.000082	50.75914108	3.830670424		
0.40	5.49	1600	4.749952179	1.319431161	0.609	1.35	0.839	90.61039755	888.888	51127.85387	51.12785	0.01	0.133451	0.00372	52.99068297	3.97083675		
0.40	5.49	1700	5.354956653	1.487915737	0.64	1.29	0.865	101.1807238	997.1	58882.24705	58.88225	0.01	0.133451	0.00473	58.74405515	4.401955177		
0.40	5.49	1770	5.802340405	1.614538007	0.667	1.21	0.898	98.98053201	971	56126.04048	56.12612	0.01	0.133451	0.00357	55.98696249	4.19535275		
0.40	5.49	1900	6.679591116	1.890441659	0.716	1.208	0.901	95.09883395	939.9	53966.37985	53.96638	0.01	0.133452	0.00737	53.82553074	4.033385593		
0.40	5.49	2000	7.49456394	2.062094973	0.754	1.12	0.923	91.39215218	908.33	53471.53583	53.47152	0.01	0.133452	0.00808	53.23094521	3.996181733		
0.40	5.49	2100	8.26894777	2.289915216	0.796	1.17	0.945	91.39449541	886.53	52436.07044	52.43607	0.01	0.133453	0.011274	52.29134716	3.910422417		
0.40	5.49	2200	9.898855355	2.49728211	0.83	1.05	0.945	98.53404689	957.6	50705.58017	50.70558	0.01	0.133453	0.013326	50.53880398	3.795388807		
0.40	5.49	2300	9.017454021	2.727070561	0.867	1.08	0.945	96.88888889	950.48	48936.78871	48.93675	0.01	0.133454	0.015932	48.78442222	3.65555393		
0.40	5.49	2450	11.15128589	3.097579358	0.9245	1.01	0.945	64.79102955	655.6	32089.32055	32.0893	0.01	0.133454	0.025504	31.9353608	2.393958314		
0.40	5.49	2550	11.6364021	3.224011169	0.9245	1.01	0.945	34.51681957	338.61	17095.28765	17.09529	0.01	0.133455	0.022211	16.93981954	1.26955076		
0.40	5.49	2650	12.05159473	3.359442979	0.9245	1.01	0.945	34.51681957	338.61	17095.28765	17.09529	0.000001	0.133457	0.023988	16.93784243	1.26922768		

Tingkat Gigi 2	it	ig	Rpm	Vt [km/m]	Vt(m/s)	Csr	Torsi Konverter		Effisiensi Torsi Konverter	Ctr	Torsi [kg-m]	Torque [N-m]	Ft [N]	Fr [kN]	fr	Rr(kN)	Ra[kN]	Fr Nett[kN]	Percepatan [m/s^2]
450	5483	700	1.67985938	0.46361408	0.254		1.8	0.33	33.9789908		333.333	5588.898838	5.568898	0.01	0.13345	0.00465	5.494984135	0.407267451	
450	5483	800	2.187377513	0.607604865	0.301		1.75	0.48	34.949316		342.85	8100.055888	8.100056	0.01	0.13345	0.004789	7.955816812	0.569133961	
450	5483	1000	3.42459209	0.951275158	0.377		1.64	0.51	37.28848114		365.8	8685.226345	8.655265	0.01	0.13345	0.004954	8.468942264	0.634652822	
450	5483	1090	4.06944972	1.180402422	0.411		1.6	0.62	57.16106014		560.75	1545.3588	15.45456	0.01	0.13345	0.005271	15.50917771	1.162171429	
450	5483	1200	4.92704968	1.386524911	0.453		1.55	0.633	78.98297625		774.1	21361.76784	21.36776	0.01	0.133451	0.004038	21.2243073	1.59043142	
450	5483	1300	5.752989561	1.639163767	0.49056		1.5	0.712	81.54943935		800	24930.66762	24.03607	0.01	0.133451	0.005533	23.89198174	1.793393609	
450	5483	1450	7.001515637	1.944065455	0.539		1.5	0.765	81.54943935		800	25853.23688	25.85322	0.01	0.133452	0.008083	25.7168201	1.936691027	
450	5483	1500	7.712440815	2.142263337	0.566		1.4	0.798	87.37410805		857.14	26933.15699	26.93316	0.01	0.133452	0.008807	26.78989764	2.007485773	
450	5483	1600	8.76404412	2.4344567	0.619		1.35	0.833	90.61039755		888.88	28114.50141	28.1145	0.01	0.133453	0.012665	27.9883946	2.05754939	
450	5483	1700	9.883167499	2.745243305	0.64		1.29	0.866	101.0907238		991.7	31159.64012	31.15964	0.01	0.133454	0.016105	31.0108407	2.323713048	
450	5483	1770	10.7424355	2.97854432	0.667		1.21	0.898	98.98063201		971	25910.07958	29.70108	0.01	0.133455	0.018954	29.54866082	2.24212126	
450	5483	1900	12.35759208	3.492664692	0.719		1.208	0.91	95.09683995		932.9	26558.23686	28.55824	0.01001	0.133457	0.0219	28.39959357	2.128107859	
450	5483	2000	13.6938383	3.85510232	0.754		1.2	0.923	92.5922528		908.33	28295.39949	28.2956	0.01001	0.133459	0.030941	28.1319947	2.10855412	
450	5483	2110	15.25677547	4.237993465	0.795		1.17	0.945	91.39449541		895.58	27748.4214	27.74942	0.01001	0.133462	0.038381	27.57657801	2.05643522	
450	5483	2200	16.53070722	4.607502035	0.83		1.05	0.945	98.62494659		957.6	26875.03951	26.875	0.01001	0.133465	0.045366	26.69617274	2.00462551	
450	5483	2300	18.1339929	5.031664703	0.867		1.03	0.945	96.88888889		950.48	25896.64959	25.89663	0.01001	0.133469	0.054103	25.70937784	1.936495155	
450	5483	2450	20.57501973	5.75283258	0.945		1.01	0.945	64.79102956		635.6	16981.20038	16.9812	0.01002	0.133476	0.069893	16.77791339	1.257244765	
450	5483	2550	21.4481645	5.948561025	0.945		1.01	0.945	34.51682957		338.61	9046.532047	9.046583	0.01002	0.133473	0.075607	8.87496138	0.662232007	
450	5483	2650	22.25461318	6.18363933	0.945		1.01	0.945	34.51682957		338.61	9046.532047	9.046583	0.01002	0.133482	0.081664	8.831496109	0.661778659	

Tingkat Gig 3

it	ig	Rpm	V _k [km/jam]	V _k (m/s)	C _r	Torsi Konverter		Ctr	Efisiensi Torsi Konverter	Torsi [kg-m]	Torque [N-m]	F _t [N]	F _t [kN]	fr	R _f [kN]	R _f [kN]	P _f Nett[kW]	Percepatan [m/s ²]
						C _r	Torsi [kg-m]											
2,442	5,482	700	3,12089891	0,86691593	0,264	1,8	0,35	33,97889908	333,333	2480,025421	2,480023	0,01	0,13345	0,01635	2,35469171	0,17646378		
2,442	5,482	800	4,06663222	1,12917562	0,301	1,75	0,48	34,949316	342,05	3621,783325	3,621783	0,01	0,13345	0,02271	3,48560635	0,26119191		
2,442	5,482	1000	6,365764762	1,788945767	0,377	1,64	0,51	37,28848114	365,8	3847,680548	3,847681	0,01	0,133451	0,03684	3,70752575	0,27782180		
2,442	5,482	1080	7,565541765	2,102567157	0,411	1,6	0,61	57,16106014	560,75	6995,519628	6,99551	0,01	0,133452	0,03948	6,65262947	0,51397995		
2,442	5,482	1200	9,160135931	2,54445475	0,451	1,55	0,63	78,93927625	774,1	9551,498255	9,551498	0,01	0,133453	0,032855	9,49420563	0,70469108		
2,442	5,482	1300	10,76993145	2,993474765	0,4955	1,5	0,71	81,54949355	800	10744,84777	10,74485	0,01	0,133455	0,019215	10,59206685	0,79975504		
2,442	5,482	1450	13,0574070	3,615761329	0,539	1,5	0,76	81,54949355	800	11559,765594	11,55977	0,010001	0,133450	0,027930	11,39836950	0,85413037		
2,442	5,482	1500	14,33788669	3,987746503	0,566	1,4	0,79	87,37410805	857,14	12041,6409	12,04164	0,010001	0,133451	0,038987	11,8753827	0,88987569		
2,442	5,482	1600	16,29351364	4,526976011	0,603	1,35	0,83	90,61089755	888,88	12570,85561	12,57088	0,010001	0,133455	0,045774	12,39361651	0,92870865		
2,442	5,482	1700	18,37411157	5,08935988	0,64	1,29	0,86	101,18977258	991,7	13892,43207	13,89249	0,010001	0,133457	0,055665	13,43424883	1,02849597		
2,442	5,482	1776	19,95776873	5,55826991	0,667	1,21	0,89	98,98063001	971	13280,1654	13,28016	0,010001	0,133474	0,055546	13,08124558	0,98023552		
2,442	5,482	1920	22,91749455	6,381776291	0,715	1,208	0,93	95,09633996	932,9	12769,26394	12,76926	0,010001	0,133464	0,087132	12,54794693	0,94033326		
2,442	5,482	2000	25,46705935	7,07443368	0,754	1,2	0,93	92,5925268	908,33	12652,19702	12,65219	0,010001	0,133464	0,108942	12,41175124	0,93067534		
2,442	5,482	2110	28,35455921	7,87988657	0,795	1,17	0,945	91,39449541	895,58	12407,17003	12,40717	0,010001	0,133508	0,136559	12,14101039	0,90977945		
2,442	5,482	2200	30,83743057	8,569535768	0,83	1,05	0,945	98,16404689	957,6	12016,53015	12,01664	0,010001	0,133521	0,15801	11,72615598	0,87870482		
2,442	5,482	2300	33,67630135	9,35452854	0,867	1,03	0,945	96,88888889	950,48	11579,18986	11,57918	0,010001	0,133539	0,186993	11,2368479	0,945660351		
2,442	5,482	2450	38,25157468	10,63549519	0,9245	1,01	0,945	64,79102956	655,6	7592,819701	7,59282	0,010001	0,133573	0,241264	7,217983046	0,940875462		
2,442	5,482	2550	39,81296752	11,05915765	0,9345	1,01	0,945	34,51682397	338,61	4065,104215	4,065104	0,010001	0,133585	0,261361	3,6505768	0,27515002		
2,442	5,482	2650	41,57426337	11,4928501	0,9345	1,01	0,945	34,51682397	338,61	4065,094215	4,065094	0,010001	0,133599	0,282262	3,629149171	0,27194774		

Tingkat Gigi 4	Rpm	Vt [km/jam]	Vt(m/s)	Sr	Torsi Konverter		Effisiensi Torsi Konverter	Torsi [kg-m]	Torque [N-m]	Ft [N]	Fr [N]	Rt(N)	Rz(N)	Ft Nett(N)	Penggerak (m/s^2)	
					Ctr											
1.331	5.482	700	5.72594356	1.976539738	0.26	1.8	0.33	33.57089908	333.333	1357.76103	1357.76	0.01	0.133451	0.025405	2.12819837	0.0124943
1.331	5.482	800	7.461077316	2.07521477	0.30	1.75	0.49	34.949816	342.05	1974.055053	1974.055	0.01	0.133452	0.025179	1.83140402	0.1372552
1.331	5.482	1000	11.681177121	3.24476992	0.37	1.64	0.51	37.28948114	365.8	2091.48311	2091.48	0.01	0.133454	0.024995	1.94112398	0.1454612
1.331	5.482	1091	13.8807452	3.855767942	0.41	1.6	0.63	57.16101614	580.75	3812.97331	3812.97	0.00001	0.133456	0.024777	3.64764503	0.27334915
1.331	5.482	1200	16.80611458	4.658337412	0.45	1.55	0.63	78.9923765	774.1	505.96767	505.967	0.00001	0.133456	0.024572	5.02959518	0.37661742
1.331	5.482	1300	19.75970855	5.48880041	0.49556	1.5	0.712	81.5494335	800	5856.42607	5856.426	0.00002	0.133474	0.02438	5.659572236	0.4292189
1.331	5.482	1450	23.88195416	6.633076157	0.53	1.5	0.769	81.5494335	800	6300.9514	6300.95	0.00003	0.133488	0.024144	6.07361338	0.45508402
1.331	5.482	1500	26.36367476	7.307187452	0.56	1.4	0.798	87.37410205	857.14	6563.78142	6563.781	0.00004	0.133489	0.024013	6.336180219	0.47329987
1.331	5.482	1600	29.93589453	8.303856813	0.63	1.35	0.839	90.61029755	888.88	6851.80256	6851.80256	0.00005	0.133516	0.023752	6.570814252	0.49328026
1.331	5.482	1700	33.71117799	9.394216639	0.64	1.29	0.864	101.10957238	991.7	7595.80373	7595.80373	0.00007	0.13354	0.023730	7.27276722	0.54998888
1.331	5.482	1770	36.50032849	10.1611218	0.66	1.21	0.889	98.98056201	971	7238.94705	7238.947	0.00008	0.13354	0.023653	6.89414427	0.51530944
1.331	5.482	1800	42.15153689	11.70871352	0.719	1.208	0.912	95.06863395	921.9	6559.82373	6559.82373	0.00012	0.133607	0.023594	6.53325363	0.48956559
1.331	5.482	2000	46.7466864	12.9797098	0.754	1.2	0.923	92.9521528	908.33	6895.022779	6895.022779	0.00015	0.133651	0.023995	6.402374983	0.47975833
1.331	5.482	2110	52.04039459	14.5559516	0.79	1.17	0.9405	91.3944954	896.53	6762.465549	6762.465549	0.00021	0.133715	0.024553	6.18219847	0.46239556
1.331	5.482	2200	56.57771768	15.7694741	0.83	1.05	0.9405	98.6249468	957.5	6545.65926	6545.65926	0.00024	0.133777	0.025087	5.88801595	0.44021521
1.331	5.482	2300	61.76271791	17.16285331	0.867	1.03	0.9405	96.8888888	950.48	6311.17798	6311.17798	0.00031	0.133867	0.025497	5.54705937	0.415765018
1.331	5.482	2450	70.1807385	19.49465514	0.945	1.01	0.9405	64.79102956	655.5	4138.42875	4138.42875	0.00042	0.13407	0.026134	3.152285394	0.29212208
1.331	5.482	2550	73.04527956	20.29055355	0.945	1.01	0.9405	34.51682957	338.61	2204.709524	2204.709524	0.00045	0.134069	0.026134	1.9057531	0.089263623
1.331	5.482	2650	75.91980011	21.0865555	0.945	1.01	0.9405	34.51682957	338.61	2204.709524	2204.709524	0.00051	0.134551	0.026139	1.12043476	0.03895949

Tingkat Gigi 5		Torsi Konverter						Torsi Motor						Penggerak Roda			
r	kg	Rpm	Vk(km/jam)	Vk(m/s)	Csr		Effisiensi Torsi	Torsi [kg-m]	Torque [Nm]	Ft [N]	Ft [IN]	fr	Rr[N]	Rr[IN]	Pt Netti[N]	Percepatan [m/s^2]	
						Ctr	Konverter										
0.707	5.480	700	10.77951488	2.9945416	0.264	1.8	0.33	33.78889508	333.333	720.9341659	0.728904	0.01	0.139451	0.019161	0.588088671	0.042584389	
0.707	5.480	800	14.0624215	3.90174208	0.301	1.75	0.48	34.9480316	342.85	1048.567081	1.048567	0.010001	0.139451	0.032552	0.882574974	0.066152555	
0.707	5.480	1000	21.991035	10.08912112	0.377	1.64	0.51	37.28848114	365.8	1113.982329	1.113982	0.010001	0.139451	0.079741	2.930740594	0.074949485	
0.707	5.480	1090	26.119196208	7.236878355	0.411	1.6	0.60	57.16106014	560.79	2025.320384	2.02532	0.010004	0.139451	0.112399	1.779223708	0.133325125	
0.707	5.480	1200	31.53994603	8.788623898	0.452	1.55	0.63	78.9029765	774.1	2765.15911	2.765159	0.010006	0.139451	0.135538	0.656559	2.465774118	0.184943211
0.707	5.480	1300	37.19967837	10.35324399	0.4956	1.5	0.712	81.54943855	800	3110.8138015	3.110814	0.010009	0.139451	0.228175	2.749073408	0.026030255	
0.707	5.480	1450	44.94922771	12.40895124	0.539	1.5	0.768	81.54943855	800	3346.7462323	3.346745	0.010014	0.139451	0.333333	2.879028286	0.21579557	
0.707	5.480	1500	49.52356787	13.74765365	0.566	1.4	0.798	87.37440865	857.14	3486.5465538	3.486547	0.010018	0.139451	0.404049	1.94895572	0.220941144	
0.707	5.480	1600	56.27938312	15.65286198	0.603	1.35	0.833	90.61039755	888.88	3659.473755	3.659474	0.010024	0.139451	0.52224	2.983457404	0.223563693	
0.707	5.480	1700	63.4647531	17.62939808	0.64	1.29	0.864	101.0907238	991.7	4033.678052	4.033673	0.010033	0.139451	0.644143	3.239651391	0.24462775	
0.707	5.480	1770	68.86567059	19.12935578	0.67	1.21	0.898	58.98066201	971	3844.659125	3.844695	0.01004	0.139451	0.781982	2.928893241	0.219474923	
0.707	5.480	1900	79.3547401	22.04085389	0.716	1.208	0.901	95.050683395	932.5	3656.916125	3.656915	0.010051	0.139451	1.038322	2.542083895	0.189163214	
0.707	5.480	2000	87.9640441	24.45444845	0.754	1.12	0.923	92.5922528	908.33	3665.020795	3.665022	0.010074	0.139451	1.173853	2.257370734	0.168807039	
0.707	5.480	2110	97.9713794	77.21427204	0.795	1.17	0.9405	91.39449541	896.58	3591.094021	3.591094	0.010097	0.139451	1.532669	1.874676983	0.140477656	
0.707	5.480	2200	105.5124551	29.58707087	0.83	1.05	0.9405	98.62404639	957.6	3479.018498	3.479018	0.010119	0.139451	1.876681	1.47329631	0.11040623	
0.707	5.480	2300	116.3109328	31.31083133	0.867	1.03	0.9405	95.88888888	950.48	3532.368774	3.532369	0.010149	0.139451	2.230954	0.955971445	0.073883495	
0.707	5.480	2450	132.1224746	35.7068674	0.9245	1.01	0.9405	64.79102556	655.6	2198.249793	2.198249	0.010204	0.139451	2.878359	0.816281443	-0.061617537	
0.707	5.480	2550	137.5152287	38.19867464	0.9245	1.01	0.9405	34.51682957	338.63	1171.056654	1.171057	0.010225	0.139451	3.118221	-2.0834802	-0.156214631	
0.707	5.480	2650	142.3079208	39.65666188	0.9245	1.01	0.9405	34.51682957	338.63	1171.056654	1.171057	0.010248	0.139451	3.367473	-2.333140688	-0.17482575	

Lampiran 3 Tabel perhitungan karakteristik traksi 6 tingkat kecepatan hasil redesign

Tingkat gigi 1	Torque Converter															
	It	Ig	Rpm	Vk [km/jam]	Vk(m/s)	Csr	Ctr	Effisiensi Torsi Konverter	Torsi [kg-m]	Torque [N-m]	Pt [N]	Ft [kN]	fr	Rt(kN)	Ra(kN)	Pt Nett(kN)
8450	5480	700	0.930854635	0.250237398	0.264	1.8	0.33	33.97089900	333.333	10263.21681	10.62022	0.01	0.13345	0.000134	10.49463305	0.78649337
8450	5480	800	1.173941987	0.336669193	0.301	1.75	0.49	34.9498316	342.05	15458.81979	15.45892	0.01	0.13345	0.000227	15.352401	1.14838214
8450	5480	1000	1.837782452	0.510495126	0.377	1.64	0.51	37.28848114	365.8	18243.03349	16.42303	0.01	0.13345	0.000557	16.2893647	1.22068853
8450	5480	1180	2.183841276	0.56662577	0.411	1.6	0.61	57.16106014	560.75	29859.92654	29.85909	0.01	0.13345	0.000786	29.74956516	2.22745224
8450	5480	1200	2.644065695	0.734463014	0.452	1.55	0.633	78.98937625	774.1	40768.81887	40.76882	0.01	0.13345	0.001153	40.6421577	3.044901893
8450	5480	1300	3.108767448	0.863546513	0.49556	1.5	0.712	81.54949355	800	45862.411	45.86241	0.01	0.13345	0.001594	45.77768821	3.426554381
8450	5480	1450	3.757914538	1.043689483	0.539	1.5	0.768	81.54949355	800	49540.741	49.54074	0.01	0.13345	0.002328	49.20496282	3.687145959
8450	5480	1500	4.138665694	1.149629607	0.566	1.4	0.789	87.37410805	857.14	51401.80163	51.4019	0.01	0.13345	0.002824	51.26552688	3.841553157
8450	5480	1600	4.703165157	1.30949421	0.633	1.35	0.833	90.61038755	888.888	55655.39194	53.65629	0.01	0.133451	0.003847	53.51292889	4.010497909
8450	5480	1700	5.303732813	1.473259143	0.64	1.29	0.865	101.0907238	991.7	59468.02812	59.46803	0.01	0.133451	0.004683	59.32994298	4.4585556
8450	5480	1770	5.755988454	1.59863512	0.657	1.21	0.898	98.98062021	971	56694.3685	56.68437	0.01	0.133451	0.005461	56.54546563	4.237201688
8450	5480	1900	6.631615043	1.842115568	0.716	1.208	0.901	95.096838956	932.9	54503.29883	54.50205	0.01	0.133452	0.007252	54.36255575	4.07927257
8450	5480	2000	7.35112881	2.041980503	0.754	1.2	0.923	92.5921258	908.33	54003.54944	54.00354	0.01	0.133452	0.00891	53.8511801	4.036057016
8450	5480	2110	8.187442694	2.274028967	0.795	1.17	0.945	91.3949541	896.58	52857.7295	52.95773	0.01	0.133452	0.011083	52.8132141	3.957528989
8450	5480	2200	8.901301746	2.477383818	0.83	1.05	0.945	98.64049689	967.6	51290.81623	51.29003	0.01	0.133452	0.013085	51.14428636	3.832468966
8450	5480	2300	9.7074798	2.70027772	0.867	1.03	0.945	95.88888889	950.48	49423.6221	49.42361	0.01	0.133454	0.015581	49.7459739	3.692353986
8450	5480	2450	11.04144005	3.057068902	0.945	1.01	0.945	64.79102956	655.6	31408.55847	31.40855	0.01	0.133451	0.020102	32.259008	2.417010176
8450	5480	2550	11.492119	3.152353306	0.945	1.01	0.945	34.51682957	338.61	17055.33989	17.26535	0.01	0.133451	0.021777	17.11012996	1.282197571
8450	5480	2650	11.9427826	3.31749871	0.945	1.01	0.945	34.51682957	338.61	17055.33989	17.26535	0.010001	0.133451	0.023518	17.10383398	1.282010705

Tingkat Gigi 2		Torsi Konverter														
it	ig	Rpm	Vt [km/cm ²]	Vt(m/s)	Csr	Effisiensi Torsi Konverter		Torsi [kg-m]	Torque [N-m]	Fr [N]	Ft [N]	fr	Rf(kN)	Ra(kN)	Fr Nett(kN)	Percepatan [m/s ²]
						Ctr	Tors									
5149	548	700	1.48013793	0.41114945	0.26	1.8	0.33	33.97088908	333.333	6215.916506	6.3159165	0.01	0.13495	0.000361	6.18201615	0.46252533
5149	549	800	1.92866457	0.53574015	0.30	1.75	0.48	34.9493516	342.35	9105.605179	9.186615	0.01	0.13495	0.000363	9.05254075	0.67847073
5149	549	1000	3.019545455	0.830762625	0.37	1.64	0.51	37.28948114	365.8	9755.539147	9.75954	0.01	0.13495	0.001539	9.624586132	0.72121289
5149	549	1000	3.588133073	0.996703651	0.41	1.6	0.62	57.16106104	560.75	17744.04239	37.74404	0.01	0.13495	0.002123	17.62046919	1.33940564
5149	549	1200	4.344900941	1.26765061	0.45	1.55	0.63	78.9307265	774.1	24277.24814	24.22735	0.01	0.134951	0.003112	24.02968557	1.865211055
5149	549	1300	5.107812443	1.408839329	0.4955	1.5	0.712	81.5494935	800	27254.16516	27.25416	0.01	0.134951	0.004302	27.1164049	2.08195282
5149	549	1400	6.1739406622	1.714835778	0.53	1.5	0.765	81.5494935	800	29521.19239	29.52119	0.01	0.134951	0.005264	29.18145703	2.186859118
5149	549	1500	6.799984327	1.888894535	0.565	1.4	0.798	87.37410085	857.14	30545.99578	30.545	0.01	0.134951	0.007624	30.4952071	2.27835473
5149	549	1600	7.727475355	2.146520376	0.62	1.35	0.833	90.6303975	888.888	31885.80788	31.88881	0.01	0.134951	0.009346	31.7453949	2.37863693
5149	549	1700	8.714232976	2.40613993	0.64	1.29	0.861	101.18971238	991.7	35339.42094	35.33949	0.01	0.134951	0.012521	35.193454	2.65720154
5149	549	1770	9.455822279	2.636617405	0.67	1.21	0.888	98.58065301	971	35685.21129	33.68521	0.01	0.134951	0.014743	33.53701442	2.51307139
5149	549	1900	10.89559373	3.026664916	0.719	1.208	0.901	55.196363995	993.9	32386.05642	32.38807	0.01	0.134951	0.019576	32.23803516	2.415588989
5149	549	2000	12.07818182	3.353505306	0.75	1.2	0.923	92.5927528	908.33	32092.10593	32.09211	0.010001	0.134951	0.024954	31.5955465	2.393800723
5149	549	2100	13.45227524	3.75674121	0.79	1.17	0.945	91.3944551	896.53	31470.62154	31.4762	0.010001	0.134951	0.029369	31.3073265	2.346599515
5149	549	2200	14.62517742	4.062547093	0.83	1.05	0.945	98.630404689	967.13	30480.04266	30.48004	0.010001	0.134951	0.035169	30.31131254	2.271361
5149	549	2300	15.97155323	4.456542532	0.87	1.03	0.945	96.88888889	950.49	29370.45126	29.37045	0.010001	0.134954	0.040621	29.1949539	2.187701519
5149	549	2450	18.149150118	5.039350933	0.945	1.01	0.945	64.79102855	655.5	29259.08697	29.25939	0.010001	0.134951	0.054627	19.071948	1.42810077
5149	549	2550	18.880197061	5.244991837	0.945	1.01	0.945	34.5168057	338.61	10261.09933	10.2601	0.010001	0.134971	0.058768	10.0784657	0.75442783
5149	549	2650	19.62244005	5.45077793	0.945	1.01	0.945	34.5168057	338.61	10261.09933	10.2601	0.010001	0.134971	0.063493	10.06313735	0.75407549

Tingkat Gigi 3		Torque Converter															
it	ig	Rpm	Vk (km/jam)	Vk(m/s)	Csr	Ctr	Effisiensi	Torsi	Torsi	Ft [N]	Ft [kN]	fr	Fr [kN]	Rai [kN]	Ft Neti [kN]	Pengeluaran [m/s^2]	
3.030	5.480	700	2.4665771692	0.685160331	0.26	1.8	0.33	33.97889908	333.338	3150.565335	3.156366	0.01	0.13345	0.00003	3.016112021	0.22610642	
3.030	5.480	800	3.214024826	0.897284674	0.30	1.75	0.48	34.9490216	342.85	4582.546598	4.582595	0.01	0.13345	0.00078	4.447396052	0.333263099	
3.030	5.480	1000	5.03192495	1.397756735	0.37	1.64	0.51	37.28984114	365.8	4868.346258	4.868346	0.01	0.13345	0.001175	4.73072457	0.354463363	
3.030	5.480	1080	5.979447599	1.660957666	0.411	1.6	0.61	57.16001024	567.75	8851.251657	8.851252	0.01	0.13345	0.003895	8.711955067	0.653821561	
3.030	5.480	1200	7.239554026	2.0109905063	0.451	1.55	0.633	78.9392765	774.1	12085.265589	12.08526	0.01	0.13345	0.008642	11.94317194	0.89454581	
3.030	5.480	1300	8.510933655	2.384023015	0.49059	1.5	0.712	81.54943935	803	13955.18387	13.95518	0.01	0.13345	0.011947	13.44978881	1.00785169	
3.030	5.480	1430	10.28783237	2.857895948	0.539	1.5	0.766	81.54943935	803	14626.27551	14.62628	0.01	0.13345	0.017451	14.47539566	1.08470309	
3.030	5.480	1500	11.31384002	3.147733339	0.566	1.4	0.798	87.37410805	857.14	15273.24407	15.27324	0.01	0.13345	0.022173	15.02651472	1.13020773	
3.030	5.480	1600	12.87475495	3.5770082	0.638	1.35	0.833	90.61059755	888.888	15955.53135	15.95553	0.01	0.13345	0.02745	15.74477995	1.17936148	
3.030	5.480	1700	14.52103875	4.038944374	0.64	1.29	0.866	101.1907228	991.7	17528.3494	17.52883	0.01	0.13345	0.034772	17.4601161	1.308363889	
3.030	5.480	1770	15.757669432	4.377128579	0.657	1.21	0.898	98.98063201	971	16803.17885	16.80318	0.01	0.13345	0.040493	16.62877091	1.246057509	
3.030	5.480	1900	18.15763659	5.04378898	0.719	1.208	0.91	95.098833995	932.9	16156.62159	16.15662	0.01	0.13345	0.054934	15.98078865	1.19632114	
3.030	5.480	2000	20.172797	5.591028944	0.754	1.2	0.93	92.5932238	908.33	16008.49891	16.00849	0.01	0.13345	0.0666	15.80821577	1.18475336	
3.030	5.480	2110	22.41755621	6.227708949	0.79	1.17	0.945	91.39449541	895.38	15698.47417	15.69847	0.01	0.13345	0.082864	15.4821275	1.160144436	
3.030	5.480	2200	24.372123178	6.77036605	0.83	1.05	0.945	98.63404689	967.6	15204.34421	15.20424	0.01	0.13345	0.097944	14.97391029	1.121986533	
3.030	5.480	2300	26.615908941	7.38320391	0.867	1.03	0.945	95.88888898	950.48	14650.84729	14.65085	0.01	0.13345	0.116808	14.405402	1.07936305	
3.030	5.480	2450	30.23192102	8.387755339	0.9245	1.01	0.945	64.79120256	635.6	907.000128	9.607	0.01	0.13345	0.13353	0.150708	9.32778805	0.698597123
3.030	5.480	2550	31.46530768	8.740512383	0.945	1.01	0.945	34.51682957	338.61	5118.0414	5.11804	0.01	0.13345	0.163257	4.80125865	0.361278236	
3.030	5.480	2650	31.69983294	9.083289528	0.945	1.01	0.945	34.51682957	338.61	5118.0414	5.11804	0.01	0.13345	0.176312	4.80819492	0.360299359	

Tingkat Gigi 4		Torsi Konverter															
it	ig	Rpm	Vt [km/jam]	Vt[m/s]	Csr	Effisiensi Torsi Konverter		Ctr	Torsi [kg-m]	Torque [N-m]	Ft [N]	Ft [kN]	fr	Rr[kN]	Ra[kN]	Pr Neti[kW]	Percepatan [m/s^2]
						Torsi	Konverter										
1853	5.482	700	4.112914935	1.142476195	0.264	1.8	0.33	33.97888908	333.333	1889.441894	1.889442	0.01	0.13345	0.00728	1.753202158	0.131375309	
1853	5.482	800	5.539251974	1.408681104	0.301	1.75	0.48	34.94993516	342.85	2748.224612	2.748223	0.01	0.133451	0.00736	2.61003784	0.195581704	
1853	5.482	1000	8.39523233	2.330700898	0.377	1.64	0.51	37.28949314	365.8	2919.6212	2.919621	0.01	0.133453	0.01650	2.77450121	0.207910188	
1853	5.482	1090	9.570478788	2.765977441	0.411	1.6	0.62	57.16105014	560.75	5038.23008	5.03823	0.01	0.133454	0.016501	5.158384149	0.385545588	
1853	5.482	1200	12.07167058	3.353241822	0.452	1.55	0.633	78.90276765	774.1	7247.71754	7.247718	0.010001	0.133457	0.024028	7.091232123	0.531302536	
1853	5.482	1300	14.193293337	3.942581491	0.49056	1.5	0.712	81.5494935	800	8152.236207	8.152326	0.010001	0.13345	0.032127	7.986559113	0.598465274	
1853	5.482	1490	17.15480008	4.765077801	0.539	1.5	0.766	81.5494935	800	8771.599562	8.7716	0.010001	0.133467	0.049521	8.538611349	0.64657151	
1853	5.482	1500	18.89536929	5.248713692	0.566	1.4	0.788	87.37410805	857.14	9138.106749	9.138007	0.010001	0.133471	0.0538871	8.945664591	0.670338298	
1853	5.482	1600	21.47261754	5.946455984	0.603	1.35	0.833	91.61039755	888.888	9538.819376	9.538815	0.01002	0.133475	0.076105	9.323913924	0.699865843	
1853	5.482	1700	24.214956041	6.716366781	0.64	1.29	0.866	101.3907238	991.7	10571.98984	10.57199	0.01003	0.133486	0.096682	10.34191803	0.774955054	
1853	5.482	1770	26.27524621	7.298679508	0.667	1.21	0.898	98.98053001	971	10771.12043	10.07712	0.010004	0.133489	0.113837	9.826785011	0.736589356	
1853	5.482	1800	30.27710293	8.410306569	0.716	1.208	0.91	95.05633995	932.9	9689.371402	9.688973	0.01005	0.133518	0.151154	9.404698832	0.704735769	
1853	5.482	2000	33.56209293	9.32280359	0.754	1.2	0.973	92.59202538	908.33	9600.533999	9.600594	0.01007	0.133539	0.185733	9.281262296	0.695468112	
1853	5.482	2110	37.3803374	10.38342705	0.796	1.17	0.9405	91.38449541	886.58	9414.61345	9.414615	0.01008	0.133566	0.230398	9.05650009	0.670205521	
1853	5.482	2200	40.6395104	11.28875269	0.83	1.05	0.9405	98.64049589	967.6	9118.276204	9.118276	0.01011	0.133583	0.272326	8.71257845	0.652855559	
1853	5.482	2300	44.38074901	12.32798584	0.867	1.03	0.9405	95.88888889	950.49	8708.335697	8.708639	0.01003	0.133636	0.324774	8.327934123	0.6204049016	
1853	5.482	2450	50.41046588	14.00293663	0.9245	1.01	0.9405	64.79102556	655.8	5761.463925	5.761464	0.01008	0.133695	0.419108	5.208751033	0.393148012	
1853	5.482	2550	52.46833881	14.57445384	0.9245	1.01	0.9405	34.51601957	338.61	3069.366425	3.069366	0.01002	0.133721	0.453921	2.481724153	0.183955591	
1853	5.482	2650	54.52630379	15.14600105	0.945	1.01	0.9405	34.51601957	338.61	3069.366425	3.069366	0.01002	0.133748	0.490222	2.445391067	0.18324441	

Tingkat Gigi 5		Torsi Konverter															
It	ig	Rpm	Vk [km/sm]	Vk(m/s)	Csr		Effisiensi Torsi Konverter	Ctr	Torsi [kg-m]	Torque [Nm]	Ft [N]	Ft [kN]	fr	Rr[kN]	Ra[kN]	Ft Netti[kN]	Penzepatan [m/s^2]
1112	5482	700	6.851775787	1.933271052	0.264	1.8	0.33	33.570899008	333.333	134.17497	1.34075	0.01	0.133452	0.007745	0.99280292	0.074408554	
1112	5482	800	8.92807149	2.480019855	0.301	1.75	0.49	34.94950316	342.05	169.576208	1.64976	0.01	0.133453	0.013145	1.50307917	0.112653425	
1112	5482	1000	13.97791932	3.882755339	0.377	1.64	0.51	37.28984114	365.8	175.150655	1.75261	0.010001	0.133454	0.032126	1.58684457	0.118912272	
1112	5482	1280	16.69399478	4.613881438	0.411	1.6	0.62	57.161082014	560.75	316.6370886	3.18657	0.010002	0.133455	0.045492	3.077413617	0.225558832	
1112	5482	1200	20.11040685	5.586224127	0.452	1.55	0.633	78.99327625	774.1	436.0586204	4.55588	0.010003	0.133457	0.066688	4.15045837	0.311039804	
1112	5482	1300	23.64485535	6.588015376	0.49058	1.5	0.712	81.54949355	800	484.141734	4.894142	0.010003	0.133457	0.092128	4.650458904	0.349829567	
1112	5482	1450	28.57761485	7.93826546	0.539	1.5	0.765	81.54949355	800	505.3265941	5.265327	0.010004	0.133509	0.134651	4.997155583	0.374459544	
1112	5482	1500	31.47812577	8.743936305	0.566	1.4	0.798	87.37400805	857.14	5485.269783	5.48527	0.010005	0.133525	1.163384	5.188363057	0.38876685	
1112	5482	1600	35.77160865	9.95855795	0.618	1.35	0.833	90.610189755	888.888	5725.865151	5.72588	0.010008	0.133554	0.210995	5.381318176	0.403249612	
1112	5482	1700	40.33945918	11.201504533	0.64	1.29	0.864	101.0907238	997.1	6346.046039	6.340494	0.01011	0.133559	0.288319	5.944136743	0.445420513	
1112	5482	1770	45.77239185	12.15889578	0.667	1.21	0.898	98.98063201	971	6048.991394	6.048992	0.01013	0.133622	0.335951	5.599438621	0.419390175	
1112	5482	1900	50.43915465	14.01086529	0.715	1.208	0.901	95.09863995	932.9	5816.237355	5.816251	0.01018	0.133695	0.419495	5.563047011	0.39438344	
1112	5482	2000	55.91167688	15.53102135	0.754	1.2	0.923	92.5925338	908.33	5762.910389	5.76291	0.01024	0.133767	0.515462	5.113862062	0.383190863	
1112	5482	2110	62.72755704	17.29793251	0.794	1.17	0.949	91.39449541	895.58	5651.307044	5.651309	0.01039	0.133855	0.694916	4.878025352	0.365532061	
1112	5482	2200	67.70207028	18.80613063	0.83	1.05	0.949	98.62494898	967.6	5473.426132	5.474242	0.01039	0.133952	0.75778	4.383594574	0.349475015	
1112	5482	2300	73.94655303	20.53740695	0.867	1.03	0.949	96.88888889	950.48	5274.172259	5.274171	0.01049	0.134088	0.901338	4.239745695	0.317628078	
1112	5482	2450	83.97967235	23.32786677	0.9245	1.01	0.949	64.79102956	635.6	3468.452967	3.468453	0.01066	0.134327	1.162869	2.161213145	0.16194820	
1112	5482	2550	87.4741409	24.79392725	0.9245	1.01	0.949	34.51680357	338.61	1842.4407	1.842448	0.01073	0.134419	1.25976	0.44820361	0.023590754	
1112	5482	2650	90.83515582	25.23198773	0.9245	1.01	0.949	34.51680357	338.61	1842.4407	1.842448	0.0108	0.134517	1.36650	0.347420705	0.02629473	

Tingkat Gig 6		Torsi Konverter														
it	ig	Rpm	Vt [km/jam]	Vt[m/s]	Csr	Efisiensi Torsi										
						Ctr	Konverter	Torsi [kg-m]	Torque [N-m]	Ft [N]	Ft [kN]	fr	Fr[N]	Rg[kN]	Ft Netti[kN]	Percepatan [m/s^2]
0.707	5.482	700	10.77957498	2.99458416	0.264	1.8	0.33	33.97889908	333.333	750.94203395	1.05942	0.01	0.133455	0.01916	0.598326545	0.046935245
0.707	5.482	800	14.04628315	3.901734208	0.301	1.75	0.48	34.9993216	342.85	1092.257375	1.082257	0.010001	0.13345	0.01953	0.925265269	0.069401916
0.707	5.482	1000	21.99101036	6.108612112	0.377	1.64	0.51	37.3389114	365.8	1160.377426	1.163877	0.010003	0.133481	0.019741	0.947155691	0.070794754
0.707	5.482	1080	26.13196208	7.25880355	0.411	1.6	0.62	57.150108104	560.75	2109.708733	2.109708	0.010004	0.133497	0.112559	1.863612138	0.135648718
0.707	5.482	1200	31.63904603	8.708623988	0.452	1.55	0.633	78.9392765	774.1	2880.540709	2.880541	0.010005	0.133526	0.165059	2.581955747	0.194777388
0.707	5.482	1300	37.19957837	10.33304399	0.4956	1.5	0.712	81.54949355	802	3240.430105	3.240451	0.010008	0.133565	0.22876	2.870690561	0.215713035
0.707	5.482	1450	44.546022771	12.48885214	0.559	1.5	0.765	81.54949355	808	3486.194038	3.486194	0.010004	0.133634	0.33353	3.01952015	0.226345756
0.707	5.482	1500	49.52391679	13.75552966	0.556	1.4	0.793	87.37410805	857.14	3631.819533	3.631819	0.010003	0.133684	0.494403	3.093732346	0.231822077
0.707	5.482	1600	56.273839312	15.63286198	0.603	1.35	0.833	90.61039755	888.88	3791.119499	3.791119	0.010004	0.133772	0.522244	3.135102224	0.249771016
0.707	5.482	1700	63.4647531	17.63280808	0.64	1.29	0.866	101.09307128	991.7	4201.747773	4.201747	0.010003	0.133885	0.664135	3.403721202	0.255055984
0.707	5.482	1770	68.05567539	19.12935378	0.667	1.21	0.898	98.98053201	971	4006.051629	4.006051	0.010004	0.133984	0.789192	3.089053209	0.231479504
0.707	5.482	1900	79.35427401	22.04285389	0.716	1.208	0.901	95.086833956	932.9	3850.954298	3.850954	0.010005	0.134211	1.088312	2.678421267	0.20705977
0.707	5.482	2000	87.95401441	24.43444945	0.754	1.2	0.923	92.597258	908.33	3815.646654	3.815646	0.010007	0.134435	1.275855	2.405555621	0.180444032
0.707	5.482	2110	97.97137934	27.21472704	0.795	1.17	0.9405	91.39449541	895.58	3741.751199	3.741754	0.010009	0.134779	1.583568	2.024947151	0.15169335
0.707	5.482	2200	106.5124551	29.58707087	0.83	1.05	0.9405	98.63404689	967.6	3623.977602	3.623978	0.010113	0.135099	1.876584	1.610255404	0.121650151
0.707	5.482	2300	116.3189238	32.31082133	0.867	1.03	0.9405	96.88888889	950.48	3492.050008	3.4930051	0.010149	0.13545	2.230054	1.125655483	0.08435043
0.707	5.482	2450	132.1224746	36.7008674	0.949	1.01	0.9405	94.79208556	655.6	2289.849482	2.289842	0.010204	0.136172	2.878559	-0.72487744	-0.054904063
0.707	5.482	2550	137.5152287	38.19857454	0.949	1.01	0.9405	94.51681957	538.61	2219.893237	2.219893	0.010223	0.136459	3.118121	-2.184687507	-0.152468353
0.707	5.482	2650	142.9079828	39.69661388	0.949	1.01	0.9405	94.51681957	538.61	2219.893237	2.219893	0.010248	0.136752	3.357475	-2.284449955	-0.17176036

Lampiran 4 Tabel perhitungan karakteristik traksi 7 tingkat kecepatan hasil *redesign*

Tingkat gigi 1	it	ig	Rpm	V/k [km/m]	V/k [m/s]	Csr	Torsi Konverter		Torsi [kg-m]	Torque [N-m]	Ft [N]	Ft [kN]	fr	Rf [kN]	Ra [kN]	Ft Nett [kN]	Perseptasi [m/s^2]
							Ctr	Effisiensi Torsi Konverter									
8.450	5.482	700	0.90054635	0.250237398		0.264	1.8	0.33	33.97088998	333.333	10638.21687	10.62822	0.01000	0.133450	0.00003	10.494633	0.78640957
8.450	5.482	800	1.176491887	0.336669313		0.310	1.75	0.49	34.9490316	342.85	15458.91793	15.45939	0.01000	0.133450	0.00023	15.335241	1.148389214
8.450	5.482	1000	1.837782452	0.510495126		0.377	1.64	0.51	37.28848114	355.8	16423.03344	16.42308	0.01000	0.133450	0.00056	16.289018	1.220608952
8.450	5.482	1200	2.183841276	0.606622577		0.411	1.6	0.62	57.16106014	567.5	29859.19354	29.85989	0.01000	0.133450	0.00079	29.724856	2.227415324
8.450	5.482	1200	2.544066849	0.734465014		0.452	1.55	0.633	78.93927625	774.1	40768.81867	40.76883	0.01000	0.133450	0.01115	40.654216	3.044910389
8.450	5.482	1300	3.102751448	0.863546513		0.49056	1.5	0.712	81.54949355	800	45862.412	45.86241	0.01000	0.133450	0.01159	45.777368	3.406554381
8.450	5.482	1450	3.757914538	1.144639483		0.538	1.5	0.761	81.54949355	800	45940.741	45.94074	0.01000	0.133450	0.01233	45.204963	3.887149359
8.450	5.482	1500	4.138666538	1.149626507		0.568	1.4	0.789	87.37410805	857.1	51401.81056	51.4018	0.01000	0.133450	0.01282	51.265527	3.841553157
8.450	5.482	1600	4.702616517	1.30549421		0.635	1.35	0.833	90.61039755	888.888	53656.39124	53.65659	0.01000	0.133450	0.01365	53.532924	4.004913939
8.450	5.482	1700	5.303732913	1.473259149		0.64	1.29	0.861	101.0907228	991.7	59468.02122	59.46802	0.01000	0.133450	0.01464	59.539495	4.4458555
8.450	5.482	1770	5.755068434	1.59865512		0.667	1.21	0.888	98.90653201	971	55684.3609	55.68451	0.01000	0.133450	0.01546	55.545457	4.237205689
8.450	5.482	1900	6.636160458	1.842115568		0.716	1.208	0.911	95.06868895	932.9	54503.25882	54.50326	0.01000	0.133450	0.01725	54.362556	4.079627257
8.450	5.482	2000	7.55112981	2.04190503		0.754	1.2	0.933	92.592528	908.33	54030.54344	54.0354	0.01000	0.133450	0.01881	53.861181	4.036157026
8.450	5.482	2110	8.187442694	2.274289567		0.795	1.17	0.905	91.39445541	895.58	5257.729	52.55779	0.01000	0.133450	0.01105	52.83224	3.957520969
8.450	5.482	2200	8.90301746	2.472583818		0.83	1.105	0.945	98.53404688	957.5	51290.86523	51.29083	0.01000	0.133450	0.01306	51.144298	3.852468956
8.450	5.482	2300	9.72074798	2.70207772		0.857	1.03	0.905	95.88888898	950.48	49423.63222	49.42365	0.01000	0.133450	0.01550	49.274597	3.692365986
8.450	5.482	2450	11.04144005	3.067066902		0.945	1.01	0.905	64.79102955	655.5	32408.55046	32.40856	0.01000	0.133450	0.02010	32.255001	2.417010076
8.450	5.482	2500	11.492119	3.192253306		0.9245	1.01	0.945	34.51680597	338.61	17255.55869	17.25559	0.01000	0.133450	0.02278	17.110126	1.282137577
8.450	5.482	2650	11.927895	3.3174971		0.945	1.01	0.945	34.51680597	338.61	17655.55869	17.65559	0.01000	0.133450	0.02352	17.103094	1.282007035

Tingkat Gigi 2		Torsi Konverter														
it	ig	Rpm	Vk [km/jan]	Vk [m/s]	Csr	Ctr	Effisiensi Torsi Konverter	Torsi [kg-m]	Torque [N-m]	Fx [N]	Fz [N]	fr	Rx [kN]	Ry [kN]	Ft Nett [kN]	Peregeratan [m/s^2]
5394	5.482	700	1.362442384	0.378456218	0.264	1.8	0.39	33.57889938	333.333	7027.437289	7.027437	0.01000	0.13450	0.00831	6.893883	0.516574087
5394	5.482	800	1.775397125	0.49313992	0.301	1.75	0.49	34.9493136	342.85	10221.51243	10.22152	0.01000	0.13450	0.00851	10.087555	0.755915171
5394	5.482	1000	2.779441444	0.770367068	0.377	1.64	0.59	37.28848114	365.8	10859.00289	10.859	0.01000	0.13450	0.01217	10.714079	0.803671752
5394	5.482	1090	3.30281693	0.9744914	0.411	1.6	0.69	57.16106014	560.75	19743.01145	19.743	0.01000	0.13450	0.01081	19.607751	1.469295803
5394	5.482	1200	3.998865657	1.110795574	0.452	1.55	0.69	78.99372625	774.1	26955.51423	26.9555	0.01000	0.13450	0.00624	26.820487	2.039777975
5394	5.482	1300	4.701564809	1.30605002	0.49055	1.5	0.712	81.54943935	800	30324.40763	30.32449	0.01000	0.13450	0.00384	30.187591	2.262075039
5394	5.482	1490	5.60252011	1.578477808	0.539	1.5	0.768	81.54943935	800	32624.3773	32.62438	0.01000	0.13450	0.00532	32.495502	2.494290178
5394	5.482	1500	6.239727641	1.73686845	0.566	1.4	0.798	87.37410805	857.14	33907.1529	33.90715	0.01000	0.13450	0.00646	33.847251	2.53624576
5394	5.482	1600	7.112010888	1.973836538	0.603	1.35	0.839	90.61039755	888.888	35.477191072	35.477191	0.01000	0.13450	0.00894	35.336119	2.647891821
5394	5.482	1700	8.021305811	2.22840519	0.64	1.29	0.861	101.0907238	991.7	39320.60024	39.32026	0.01000	0.13450	0.01061	39.176539	2.955671682
5394	5.482	1770	8.703927782	2.417757712	0.667	1.21	0.898	98.90063201	971	37480.02653	37.48003	0.01000	0.13450	0.01249	37.334082	2.797608212
5394	5.482	1900	10.02958127	2.79594798	0.716	1.208	0.901	95.08633936	932.9	36397.86581	36.39786	0.01000	0.13450	0.01659	35.887023	2.68923365
5394	5.482	2000	11.11776577	3.088269821	0.754	1.2	0.921	92.59212528	908.33	35707.44953	35.70745	0.01000	0.13450	0.02038	35.555612	2.664189765
5394	5.482	2110	12.30255954	3.439569985	0.796	1.17	0.945	91.39449541	896.58	35015.95149	35.01595	0.01000	0.13450	0.02058	34.857212	2.61205592
5394	5.482	2200	13.462122882	3.739557866	0.83	1.15	0.945	98.6404688	967.6	33913.77801	33.91378	0.01000	0.13450	0.01988	33.750437	2.529469809
5394	5.482	2300	14.70154955	4.08375076	0.867	1.08	0.945	95.88888888	950.48	32679.18624	32.67918	0.01000	0.13450	0.02554	32.510088	2.496124974
5394	5.482	2450	16.56985555	4.538595734	0.9245	1.01	0.945	64.79102956	655.6	2428.72279	24.28727	0.01000	0.13450	0.04958	21.249277	1.59230525
5394	5.482	2550	17.38054056	4.827930793	0.9245	1.01	0.945	34.516803957	338.61	11415.95312	11.41595	0.01000	0.13450	0.04981	11.232676	0.841714191
5394	5.482	2650	18.06213108	5.012758394	0.9245	1.01	0.945	34.516803957	338.61	11415.95312	11.41595	0.01000	0.13450	0.03379	11.228691	0.841415577

Tingkat Gig 3	Torsi Konverter							Effisiensi Torsi Konverter	Torsi [kg-m]	Torque [N-m]	Ft [N]	Fr [kN]	Rr[kN]	Ra[kN]	Fr Netti[kN]	Percepatan [m/s^2]
	It	Ig	Rpm	Vt [km/jam]	Vk[m/s]	Csr	Ctr									
3.650	5.482	700	2.06119454	0.57551209	0.264	1.8	0.33	33.57889908	333.333	4654.133792	4.645124	0.01000	0.133452	0.00070	4.510932	0.338027954
3.650	5.482	800	2.685785047	0.7465568	0.301	1.75	0.49	34.949316	342.85	6756.42028	6.756424	0.01000	0.133452	0.00119	6.611705	0.49519575
3.650	5.482	1000	4.204953655	1.168029415	0.377	1.64	0.51	37.2884114	365.9	7177.73174	7.177751	0.01000	0.133452	0.00239	7.041421	0.52764571
3.650	5.482	1200	4.995639714	1.303971243	0.411	1.6	0.62	57.16105014	567.75	13650.11762	13.650112	0.01000	0.133452	0.00412	12.912551	0.96795461
3.650	5.482	1300	6.049710763	1.680472122	0.452	1.55	0.639	78.93937165	774.1	17818.26368	17.818289	0.01000	0.133452	0.00683	17.678001	1.24750391
3.650	5.482	1300	7.112630814	1.97502446	0.4955	1.5	0.712	81.5949855	803	20044.47017	20.04448	0.01000	0.133452	0.00834	19.932662	1.491396172
3.650	5.482	1400	8.59857804	2.388016001	0.539	1.5	0.76	81.5949855	803	21564.70329	21.564703	0.01000	0.133452	0.01219	21.419064	1.63505403
3.650	5.482	1500	9.469493462	2.63038885	0.566	1.4	0.798	87.37410085	857.14	2465.30374	22.4655	0.01000	0.133452	0.01479	22.31764	1.672315945
3.650	5.482	1600	10.76098954	2.899163872	0.603	1.35	0.839	90.61039755	888.88	2450.88757	23.45088	0.01000	0.133452	0.01939	23.296338	1.745947768
3.650	5.482	1700	12.13511303	3.37084752	0.64	1.29	0.869	101.0807238	991.7	25991.90411	25.9993	0.01000	0.133452	0.02426	25.833165	1.955793589
3.650	5.482	1770	13.16782454	3.657729568	0.667	1.21	0.898	98.98063201	971	24774.20534	24.774249	0.01000	0.133452	0.02859	24.612236	1.944303968
3.650	5.482	1900	15.17335723	4.24800203	0.716	1.208	0.901	95.03683395	952.9	28821.01648	23.821202	0.01000	0.133452	0.03796	23.649592	1.772160741
3.650	5.482	2000	16.819672559	4.67217761	0.754	1.2	0.923	92.5922538	908.33	28602.61251	23.602651	0.01000	0.133466	0.04665	23.422501	1.75515774
3.650	5.482	2100	18.7311346	5.20864852	0.795	1.17	0.9405	91.39449541	895.53	23195.53236	23.19553	0.01000	0.133471	0.05786	22.954198	1.730359763
3.650	5.482	2200	20.36646729	5.65755102	0.83	1.05	0.9405	98.62404688	967.6	22416.39681	22.417	0.01000	0.133471	0.06839	22.215127	1.64677936
3.650	5.482	2300	22.4433868	6.178663016	0.867	1.03	0.9405	96.38888888	950.48	21601.93146	21.60093	0.01000	0.133482	0.08157	21.385883	1.60253988
3.650	5.482	2450	25.263105	7.017548611	0.9245	1.01	0.9405	64.79102556	635.6	14154.37983	14.15458	0.01000	0.133494	0.10584	13.925649	1.04310573
3.650	5.482	2550	26.294292	7.3097167	0.945	1.01	0.9405	34.51681957	338.61	7545.94341	7.545941	0.01000	0.133498	0.11401	7.298440	0.54694493
3.650	5.482	2650	27.325475	7.59349722	0.945	1.01	0.9405	34.51681957	338.61	7545.94341	7.545941	0.01000	0.133503	0.12112	7.289219	0.546220973

Tingkat Gigi 4		Torsi Konverter															
it	ig	Rpm	Vk [km/jam]	V(m/s)	Csr		Effisiensi Torsi Konverter	Ctr	Torsi [kg-m]	Torque [N-m]	Ft [N]	Ft [kN]	fr	Rf(kN)	Ra(kN)	Ft Netti(kN)	Perekatan (m/s^2)
2445	5.482	700	3.117322655	0.859529355	0.264		1.8	0.33	33.97889908	333.333	3071.370795	3.071379	0.01000	0.139450	0.0160	2.996326	0.220031399
2445	5.482	800	4.061965767	1.128328024	0.301		1.75	0.49	34.9490316	342.85	4467.371045	4.467371	0.01000	0.139450	0.0272	4.331200	0.32455045
2445	5.482	1000	6.359479892	1.766502073	0.377		1.64	0.51	37.20848114	365.8	4745.984887	4.745988	0.01000	0.139450	0.0367	4.605865	0.345137873
2445	5.482	1080	7.556976927	2.091650257	0.411		1.6	0.62	57.16106014	560.75	8628.70365	8.628704	0.01000	0.139450	0.0394	8.485915	0.653887228
2445	5.482	1200	9.149544153	2.541540493	0.452		1.55	0.633	78.9092765	774.1	11781.31394	11.781313	0.01000	0.139450	0.0380	11.634257	0.871808442
2445	5.482	1300	10.7575678	2.988223238	0.49355		1.5	0.712	81.54949355	800	13253.47812	13.25345	0.01000	0.139450	0.0298	13.100941	0.98171581
2445	5.482	1480	13.01013287	3.611620241	0.539		1.5	0.765	81.54949355	800	14258.65764	14.258656	0.01000	0.139450	0.0287	14.097325	1.056375068
2445	5.482	1500	14.32146558	3.97818912	0.566		1.4	0.79	87.37410805	857.14	14854.27008	14.854271	0.01000	0.139461	0.0393	14.686691	1.103561265
2445	5.482	1600	16.749485287	4.520793045	0.6103		1.35	0.833	90.51039755	888.88	15505.80931	15.505809	0.01000	0.139464	0.0467	15.338671	1.149545227
2445	5.482	1700	18.35506792	5.080014422	0.64		1.2	0.864	101.0907738	991.7	17185.77170	17.185771	0.01000	0.139470	0.0554	16.959627	1.273653238
2445	5.482	1770	19.91495404	5.521936178	0.657		1.1	0.898	98.50065201	971	16580.84457	16.580844	0.01000	0.139474	0.0640	16.161975	1.21250101
2445	5.482	1900	22.9480235	6.374467319	0.716		1.08	0.901	95.09883995	932.9	15750.53085	15.750530	0.01000	0.139484	0.0683	15.500223	1.165748426
2445	5.482	2000	25.4378193	7.066080392	0.754		1.2	0.923	92.5922528	908.33	15905.13038	15.905130	0.01000	0.139494	0.1067	15.363939	1.15145789
2445	5.482	2100	28.32103355	7.869956959	0.796		1.7	0.945	91.33494541	895.58	15939.90715	15.939907	0.01000	0.139500	0.1326	15.030044	1.12667299
2445	5.482	2200	30.80211583	8.556145205	0.83		1.05	0.945	98.63404689	967.6	14822.19711	14.822197	0.01000	0.139521	0.1564	14.532234	1.088946704
2445	5.482	2300	33.67772219	9.348945156	0.867		1.03	0.945	96.88888889	950.48	14282.61183	14.282611	0.01000	0.139539	0.1865	13.962501	1.046277124
2445	5.482	2450	38.2078655	10.61326957	0.9245		1.01	0.945	64.79102556	655.6	9865.537094	9.865537	0.01000	0.139572	0.2471	8.991253	0.67375447
2445	5.482	2500	39.76737021	11.04648173	0.9245		1.01	0.9405	34.51681357	338.61	4989.402945	4.989402	0.01000	0.139585	0.2676	4.595055	0.344202748
2445	5.482	2650	41.32650492	11.47956748	0.9245		1.01	0.9405	34.51681357	338.61	4989.402945	4.989402	0.01000	0.139599	0.2862	4.574185	0.342764219

Tingkat Gig 5	it	ig	Rpm	Vt [km/jam]	Vt[m/s]	Sr	Torsi Konverter		Effisiensi Torsi Konverter	Torsi [kg-m]	Torque [N-m]	Ft [N]	Fr [N]	fr	Rf [kN]	Ra [kN]	Ft Netto [N]	Percepatan (m/s^2)
							Ctr	Tors										
1.616	5.482	700	471245401	1.30405389		0.264	1.8	0.36	33.97889908	333.333	2029.553491	2.028594	0.01000	0.133451	0.00367	1.82463	0.14181056	
1.616	5.482	800	5.146991553	1.707497931		0.301	1.75	0.46	34.9493356	342.85	2951.061039	2.953061	0.01000	0.133451	0.00363	2.812381	0.210744206	
1.616	5.482	1000	9.62921397	2.6750283721		0.377	1.64	0.51	37.28848114	365.8	3136.17256	3.136172	0.01000	0.133454	0.01527	2.977447	0.228626263	
1.616	5.482	1050	13.46303994	3.176659182		0.411	1.6	0.65	51.16106104	560.75	5701.946683	5.701947	0.01000	0.133456	0.02158	5.546205	0.41555761	
1.616	5.482	1200	13.84604957	3.846124908		0.452	1.55	0.659	70.90827625	774.1	7785.207835	7.785208	0.01000	0.133460	0.03616	7.620217	0.57010652	
1.616	5.482	1300	16.27952553	4.52208987		0.4955	1.5	0.712	81.54949355	800	8757.95688	8.757957	0.01000	0.133465	0.04370	8.580805	0.642997815	
1.616	5.482	1450	19.67573692	5.4465402477		0.539	1.5	0.765	81.54949355	800	9422.197719	9.422198	0.01000	0.133473	0.06383	9.224890	0.691261912	
1.616	5.482	1500	21.67274568	6.020205677		0.561	1.4	0.798	87.37410205	857.14	9015.718653	9.815782	0.01000	0.133480	0.07745	9.614952	0.719741518	
1.616	5.482	1600	24.62681401	6.841337226		0.603	1.35	0.839	90.61039755	888.888	10246.32265	10.24626	0.01000	0.133491	0.10000	10.012813	0.750304486	
1.616	5.482	1700	27.77378655	7.719402819		0.64	1.29	0.861	101.1907238	991.7	11356.12861	11.35612	0.01000	0.133515	0.12779	11.05425	0.831429448	
1.616	5.482	1770	30.19735665	8.371490792		0.67	1.21	0.899	93.98063201	971	10244.55027	10.24455	0.01000	0.133518	0.14976	10.541270	0.789941121	
1.616	5.482	1910	34.77244464	9.646512399		0.716	1.208	0.931	95.108683996	932.9	10403.04152	10.40204	0.01000	0.133546	0.19988	10.107564	0.75010255	
1.616	5.482	2000	38.49520559	10.6312489		0.754	1.2	0.939	93.5925258	908.33	10912.61496	10.31261	0.01000	0.133575	0.24435	9.934684	0.744453619	
1.616	5.482	2110	42.87476251	11.90855525		0.795	1.17	0.945	93.13944541	896.58	10112.9045	10.1129	0.01000	0.133513	0.30311	9.676105	0.725079429	
1.616	5.482	2200	45.6129317	12.94065525		0.83	1.05	0.946	93.63404689	987.6	9794.50764	9.794588	0.01000	0.133551	0.35827	9.302671	0.697093339	
1.616	5.482	2300	50.90414589	14.14003997		0.867	1.03	0.945	96.88888808	950.48	9481.025779	9.480027	0.01000	0.133701	0.42777	8.877061	0.665197497	
1.616	5.482	2450	57.8201497	16.06151542		0.9345	1.01	0.946	64.79102956	655.6	6188.79358	6.188797	0.01003	0.133795	0.55125	5.539751	0.41240449	
1.616	5.482	2550	60.18015477	16.7676956		0.9245	1.01	0.945	34.51682057	338.61	3297.04935	3.297024	0.01003	0.133831	0.59717	2.566023	0.192284985	
1.616	5.482	2650	62.54016394	17.3722689		0.9345	1.01	0.945	34.51682057	338.61	3297.04935	3.297024	0.01003	0.133870	0.64493	2.518229	0.18870293	

Tingkat Gigi 6		Torsi Konverter															
it	ig	Rpm	Vt [km/jam]	Vt(m/s)	Csr	Ctr	Efisiensi Torsi Konverter		Torsi [kg-m]	Torque [N-m]	Ft [N]	Ft [kN]	fr	Rf(kN)	Ra(kN)	Ft Nett(kN)	Percepatan (m/s^2)
							Torsi	Konverter									
1.088	5.482	700	7.136853059	1.930458935	0.264	1.8	0.33	33.97889908	333.333	1241.554941	1.344555	0.01000	0.153452	0.00840	1.199704	0.08989371	
1.088	5.482	800	9.239554501	2.533203028	0.301	1.75	0.48	34.949326	342.05	1951.315793	1.951514	0.01000	0.153454	0.01426	1.803610	0.15151577	
1.088	5.482	1000	14.5594715	4.04301987	0.377	1.64	0.51	37.28848114	365.8	2073.010014	2.07301	0.01000	0.153461	0.04955	1.904556	0.14271929	
1.088	5.482	1090	17.30107334	4.805853076	0.411	1.6	0.62	57.16108604	560.75	3768.986909	3.768897	0.01000	0.153467	0.04955	3.586164	0.26872108	
1.088	5.482	1200	20.9471422	5.82645618	0.451	1.55	0.633	79.93927165	774.1	5146.07546	5.146073	0.01000	0.153477	0.07235	4.940248	0.37019475	
1.088	5.482	1300	24.6262765	6.84128458	0.49356	1.5	0.712	81.54943955	800	5789.018293	5.789163	0.01000	0.153491	0.1002	5.555511	0.41629309	
1.088	5.482	1430	29.76652046	8.568505684	0.539	1.5	0.765	81.54943955	800	6228.072942	6.228073	0.01000	0.153516	0.14610	5.949457	0.45744289	
1.088	5.482	1500	32.78781059	9.077725165	0.566	1.4	0.791	87.57419085	857.14	6488.231908	6.488231	0.01001	0.153514	0.17725	6.177456	0.46291267	
1.088	5.482	1600	37.35993893	10.34998035	0.603	1.35	0.833	90.61039755	888.89	6772.215926	6.772215	0.01001	0.153555	0.22891	6.410339	0.48035591	
1.088	5.482	1700	42.01783813	11.67161953	0.64	1.29	0.865	101.09072238	991.7	7506.388045	7.506389	0.01001	0.153605	0.29111	7.081682	0.530366103	
1.088	5.482	1770	45.593594	12.65498722	0.667	1.21	0.898	98.98632011	971	7155.020161	7.155021	0.01001	0.153646	0.34277	6.67621	0.50495639	
1.088	5.482	1900	52.55773561	14.59381545	0.716	1.28	0.91	95.06983955	932.9	6879.715721	6.87915	0.01001	0.153721	0.45513	6.230865	0.47140451	
1.088	5.482	2000	58.22794962	16.17770795	0.754	1.2	0.913	92.59225238	908.33	6816.630761	6.816633	0.01003	0.153801	0.55925	6.122359	0.45886779	
1.088	5.482	2110	64.65349076	18.01763354	0.796	1.17	0.945	91.39495451	895.58	6684.630145	6.684631	0.01003	0.153910	0.69573	5.856938	0.43893083	
1.088	5.482	2200	70.51889354	19.58853024	0.83	1.05	0.945	98.63040489	957.6	6474.222881	6.474222	0.01004	0.154017	0.81998	5.520228	0.41365152	
1.088	5.482	2300	77.0108046	21.59189107	0.867	1.08	0.945	95.63888888	950.48	6238.53595	6.238538	0.01005	0.154156	0.97791	5.126473	0.38144811	
1.088	5.482	2450	87.4731464	24.29826129	0.9245	1.01	0.945	64.79102955	655.6	4090.785192	4.090785	0.01007	0.154421	1.26167	2.694701	0.201939	
1.088	5.482	2550	91.04403339	25.29002872	0.9245	1.01	0.945	34.51681957	338.61	2179.333165	2.179333	0.01008	0.154521	1.36677	0.678041	0.650380645	
1.088	5.482	2650	94.61446139	25.29179455	0.9245	1.01	0.945	34.51681957	338.61	2179.333165	2.179333	0.01009	0.154521	1.47607	0.568634	0.04261033	

Tingkat Gigi 7	tg	Rpm	Vt [km/jam]	Vt[m/s]	Gsr	Torsi Konverter		Effisiensi Konverter	Torsi [kg-m]	Torque [Nm]	F1 [N]	F2 [N]	fr	Fy[N]	Ra[N]	Fz Netto[N]	Pengapuran [m/s^2]
						Ctr	Konverter										
0.707	5.482	700	10.77957493	2.9945945	0.264	1.8	0.33	33.97089908	333.333	750.9419335	0.73945	0.01000	0.133455	0.01916	0.598328	0.04835345	
0.707	5.482	800	14.04619515	3.910794208	0.301	1.75	0.48	34.949316	342.65	1082.25737	1.092125	0.01000	0.133455	0.02525	0.926265	0.05949162	
0.707	5.482	1000	21.9910036	6.108621212	0.377	1.64	0.51	37.28848114	365.8	1160.37745	1.169377	0.01000	0.133491	0.07914	0.947155	0.07674574	
0.707	5.482	1050	26.13956303	7.258878356	0.411	1.6	0.62	57.16160124	567.75	2109.708733	2.087075	0.01000	0.133497	0.11265	1.865612	0.13964712	
0.707	5.482	1200	31.63914933	8.788623988	0.452	1.55	0.633	78.99327825	774.1	2880.540739	2.88514	0.01000	0.133525	0.16506	2.501955	0.193477388	
0.707	5.482	1300	37.19967837	10.33304959	0.49556	1.5	0.712	81.54943855	800	3140.43057	3.140491	0.01000	0.133555	0.22818	2.878691	0.21571305	
0.707	5.482	1450	44.96022771	12.48895214	0.539	1.5	0.766	81.54943855	800	3486.194083	3.486194	0.01000	0.133624	0.33351	3.019251	0.22645756	
0.707	5.482	1500	49.52359679	13.75652966	0.566	1.4	0.798	87.37410085	857.14	3631.819331	3.631929	0.01000	0.133694	0.40440	3.095732	0.23082707	
0.707	5.482	1600	56.27831312	15.63085159	0.639	1.35	0.839	90.61039755	888.888	3791.118495	3.791118	0.01000	0.133772	0.52224	3.135102	0.234927105	
0.707	5.482	1700	63.4647531	17.62939088	0.64	1.29	0.866	101.18072238	991.7	4201.747773	4.201747	0.01000	0.133885	0.65414	3.405722	0.25555598	
0.707	5.482	1770	68.89567339	19.12835578	0.667	1.21	0.8988	98.99055201	971	4005.065691	4.005662	0.01000	0.133894	0.78198	3.089095	0.23475604	
0.707	5.482	1900	79.35474701	22.04935389	0.716	1.208	0.910	95.19953395	952.9	3850.195429	3.850195	0.01000	0.134211	1.03852	2.578421	0.20570597	
0.707	5.482	2000	87.96101441	24.43444905	0.754	1.2	0.923	92.5922528	908.33	3815.646664	3.815647	0.01000	0.134453	1.27586	2.405357	0.18024403	
0.707	5.482	2110	97.97137944	27.21427204	0.795	1.17	0.9405	91.3949541	895.58	3741.754959	3.741754	0.01000	0.134739	1.50267	2.029347	0.151693305	
0.707	5.482	2200	106.5314951	29.58707087	0.83	1.05	0.9405	98.65494698	957.6	3623.977603	3.623975	0.01000	0.135039	1.87068	1.610255	0.12163051	
0.707	5.482	2300	116.3389539	32.3108153	0.867	1.03	0.9405	96.88888889	950.48	3492.05086	3.492051	0.01000	0.135493	2.23095	1.125555	0.08455045	
0.707	5.482	2450	132.121745	36.708374	0.945	1.01	0.9405	64.7910255	655.6	2286.849492	2.286849	0.01000	0.136772	2.87856	-0.774688	-0.05430465	
0.707	5.482	2550	137.5152207	38.19867464	0.945	1.01	0.9405	34.51681957	338.61	1219.893237	1.21983	0.01000	0.136459	3.11802	-2.094688	0.152468053	
0.707	5.482	2650	142.9079329	39.69665108	0.945	1.01	0.9405	34.51681957	338.61	1219.893237	1.21983	0.01000	0.136762	3.35747	-2.204345	0.17176956	

Tabel Hasil perhitungan Gaya Hambat Udara

Kecepatan Kendaraan (Va) [km/h]	Kecepatan Kendaraan (Va) [m/s]	Hambatan Aerodinamis (Ra) [N]	Hambatan Aerodinamis (Ra) [kN]
0	0	0	0
5	1.388888889	4.122222222	0.004122222
10	2.777777778	16.48888889	0.016488889
15	4.166666667	37.1	0.0371
20	5.555555556	65.955555556	0.065955556
25	6.944444444	103.05555556	0.103055556
30	8.333333333	148.4	0.1484
35	9.722222222	201.9888889	0.201988889
40	11.11111111	263.8222222	0.263822222
45	12.5	333.9	0.3339
50	13.88888889	412.2222222	0.412222222
55	15.277777778	498.7888889	0.498788889
60	16.666666667	593.6	0.5936
65	18.055555556	696.65555556	0.696655556
70	19.444444444	807.95555556	0.807955556
75	20.83333333	927.5	0.9275
80	22.22222222	1055.288889	1.055288889
85	23.61111111	1191.322222	1.191322222
90	25	1335.6	1.3356
95	26.38888889	1488.122222	1.488122222
100	27.77777778	1648.888889	1.648888889
105	29.166666667	1817.9	1.8179

Tabel Hasil Perhitungan Gaya hambat *rolling*

Kecepatan Kendaraan (Va) km/jam	Dari grafik		
	fr (grafik)	Rrr [N]	Rrr [kN]
0	0.01	125	0.125
5	0.010001398	125.0174693	0.125017469
10	0.010007906	125.0988212	0.125098821
15	0.010021786	125.2723191	0.125272319
20	0.010044721	125.559017	0.125559017
25	0.010078125	125.9765625	0.125976563
30	0.010123238	126.5404697	0.12654047
35	0.01018118	127.2647493	0.127264749
40	0.010252982	128.1622777	0.128162278
45	0.010339603	129.2450353	0.129245035
50	0.010441942	130.5242717	0.130524272
55	0.01056085	132.0106251	0.132010625
60	0.010697137	133.7142125	0.133714213
65	0.010851576	135.6446997	0.1356447
70	0.011024909	137.8113567	0.137811357
75	0.011217848	140.2231028	0.140223103
80	0.011431084	142.8885438	0.142888544
85	0.01166528	145.8160027	0.145816003
90	0.011921084	149.013546	0.149013546
95	0.01219912	152.4890059	0.152489006
100	0.0125	156.25	0.15625
105	0.012824316	160.3039476	0.160303948

Tabel Gaya tanjak kendaraan pada kemiringan tertentu

Gradeability (%)	Sudut Tanjak(degree)	Gaya hambat tanjakan (kN)
0	0	0
10	5.71059	13.02646752
20	11.30993	25.67443042
30	16.69992	37.61946933
40	21.8014	48.62038601
50	26.56505	58.54671948

Tabel Kinerja Torsi Konverter

Kinerja Torsi Konverter							
Ne	Me	Ke	Ktc		Efisiensi	Nilai Csr	Nilai Ctr
			Nilai Ktc	Skala Ktc			
700	333.333	38.3405982	38.340598	19.86618	0.33	0.264	1.8
800	342.85	43.20538805	43.205388	22.38687	0.48	0.301	1.75
1000	365.8	52.28512485	52.285125	27.09154	0.51	0.377	1.64
1090	560.75	46.03009347	46.030093	23.85049	0.62	0.411	1.6
1200	774.1	43.13032317	43.130323	22.34798	0.633	0.452	1.55
1300	800	45.96194078	45.961941	23.81518	0.712	0.49056	1.5
1430	800	50.55813485	50.558135	26.1967	0.766	0.539	1.5
1500	857.14	51.23483922	51.234839	26.54733	0.798	0.566	1.4
1600	888.888	53.66565829	53.665658	27.80686	0.833	0.603	1.35
1700	991.7	53.98321738	53.983217	27.9714	0.866	0.64	1.29
1770	971	56.80200313	56.802003	29.43196	0.8988	0.667	1.21
1900	932.9	62.2065412	62.206541	32.23232	0.901	0.716	1.208
2000	908.33	66.3602734	66.360273	34.38458	0.923	0.754	1.2
2110	896.58	70.46734873	70.467349	36.51266	0.9405	0.796	1.17
2200	967.6	70.72529229	70.725292	36.64631	0.9405	0.83	1.05
2300	950.48	74.60300902	74.603009	38.65555	0.9405	0.867	1.03
2450	635.6	97.17938361	97.179384	50.3535	0.9405	0.9245	1.01
2550	338.61	138.5767241	138.57672	71.80353	0.9405	0.9245	1.01
2650	338.61	144.0111054	144.01111	74.61935	0.9405	0.9245	1.01

v

